

Casopis České vědeckotechnické společnosti – komitétu pro techniku prostředí

# ZTV

ZDRAVOTNÍ TECHNIKA A VZDUCHOTECHNIKA

nositel Čestného uznání České vědeckotechnické společnosti

Ročník 18

Číslo 6

Redakční rada:

Doc. Ing. Dr. L. Oppl, CSc. (vedoucí redaktor) — Ing. V. Bašus (výkonný redaktor) —  
Doc. Ing. Dr. J. Cihelka — V. Fridrich — Prof. Ing. L. Hrdina — Ing. arch. L. Chalupský — Doc. Ing. J. Chyský, CSc. — Ing. B. Jelen — Ing. L. Kubíček — Ing. Dr. M. Lázňovský — F. Máca — Doc. Ing. Dr. J. Mikula, CSc. — Ing. Dr. J. Němec, CSc. —  
**Doc. Ing. J. Valchář, CSc.**

Adresa redakce: Dvorecká 3, 147 00 Praha 4

## O B S A H

Ing. V. Berounský, CSc.:	Ověření teplotních poměrů v místnostech při elektrickém akumulačním vytápění historických budov . . . . .	317
Ing. V. Hladký:	Charakteristiky zatopeného vzdušného proudu za čtverhrannou výstupi . . . . .	329
Ing. K. Mrázek:	Vytápění elektrickou energií (smíšené velkoplošné otopné soustavy) . . . . .	341
Ing. R. Nový, CSc.:	Hodnocení dopravního hluku pomocí ekvivalentní hladiny hluku . . . . .	351

## C O N T E N T S

Ing. V. Berounský, CSc.:	Temperature conditions in rooms of ancient buildings by electric accumulation heating . . . . .	317
Ing. V. Hladký:	Characteristic curves of a throw of air from rectangular openings . . . . .	329
Ing. K. Mrázek:	Electric heating by combined great-surface systems . . . . .	341
Ing. R. Nový, CSc.:	Valuing the traffic noise by equivalent noise level . . . . .	351

## A C A D E M I A

## СОДЕРЖАНИЕ

Инж. В. Бероунски, К. Т. Н.:	Удостоверение температурных условий в помещениях при электрическом аккумуляционном отоплении исто- рических зданий . . . . .	317
Инж. В. Гладки:	Характеристики проникающего воздушного потока за четырехгранным выпуском . . . . .	329
Инж. К. Мразек:	Отопление электрической энергией (смешанные боль- шеплощадные отопительные системы) . . . . .	341
Инж. Р. Новы, К. Т. Н.:	Оценка транспортного шума с помощью эквивалентной уровня шума . . . . .	351

## SOMMAIRE

Ing. V. Berounský, CSc.:	Vérification des conditions thermiques dans les locals au chauffage électrique par accumulation des bâtiments historiques . . . . .	317
Ing. V. Hladký:	Caractéristiques d'un courant d'air pénétré derrière la bouche quadrangulaire . . . . .	329
Ing. K. Mrázek:	Chauffage par l'énergie électrique. Les systèmes de chauffage mixtes en grandes surfaces . . . . .	341
Ing. R. Nový, CSc.:	Évaluation du bruit de transport à l'aide d'un niveau de bruit équivalent . . . . .	351

## INHALT

Ing. V. Berounský, CSc.:	Wärmeverhältnisse in Räumlichkeiten von historisch wertvollen Gebäuden bei elektrischer Akkumulations- beheizung . . . . .	317
Ing. V. Hladký:	Charakteristiken des versenkten aus rechteckigen Öff- nungen strömenden Luftstrahles . . . . .	329
Ing. K. Mrázek:	Elektrische Beheizung — kombinierte grossflächige Heiz- systeme . . . . .	341
Ing. R. Nový, CSc.:	Auswertung des Straßenverkehrslärmes mittels äquivalen- tes Lärmpegels . . . . .	351

# OVĚŘENÍ TEPLITNÍCH POMĚRŮ V MÍSTNOSTECH PŘI ELEKTRICKÉM AKUMULAČNÍM VYTÁPĚNÍ HISTORICKÝCH BUDOV

ING. VÁCLAV BEROUNSKÝ, CSc.

Fakulta strojní ČVUT — Praha

Zprávou o výsledcích měření teplotních poměrů v místnostech historických budov, ve kterých bylo experimentováno s akumulačním vytápěním jednak při použití moderních akumulačních kamen s regulovatelným odběrem tepla, jednak při použití historických kachlových kamen přizpůsobených pro elektrické akumulační vytápění. Závěry z měření jsou zajímavé jak z hlediska dosažených výsledků, tak také jako podklad pro řešení podobných případů.

Recenzoval: Doc. Ing. Dr. J. Cihelka

## 1. ÚVOD

Vytápění historických budov má mnoho zvláštností jak vlivem stavebního pro vedení, tak i požadavků na zachování původnosti památky. Při rekonstrukcích těchto objektů bývá jako nevhodnější uvažováno elektrické akumulační vytápění, které předpokládá jak využití stávajících kachlových kamen, tak i dodatkové vytápění elektrickými akumulačními kamny. Vzhledem k objektivnímu navržení velikosti potřebných příkonů bylo provedeno dlouhodobé experimentální ověření teplotních poměrů ve vytápěných místnostech.

Pro dosažení optimálních teplotních poměrů ve vytápěných prostorech je nutné, aby okamžitá tepelná ztráta místnosti byla kompenzována energií z otopného systému.

Podle platných norem pro výpočet tepelných ztrát budov (ČSN 06 0210) je uvažován setrvačný stav sdílení tepla, pro který je určována i hodnota součinitele průstupu tepla  $k$  ve vztahu

$$Q_{\text{místn.}} = k S_{\text{ST}}(t_v - t_o). \quad [\text{W}]$$

Současně jsou předepsány i definiční teploty jak vytápěného prostoru, tak i průměrné venkovní teploty (teploty okolí) v daných oblastech.

Uvedené předpoklady vycházejí ze skutečnosti, že tepelný tok z otopné soustavy do vytápěného prostoru je regulován ve vztahu ke změnám venkovní teploty, jak vyjadřuje rovnice

$$Q = \underbrace{k S_{\text{L}}}_{\text{těleso}} \Delta t = \underbrace{\sum_1^n k_{\text{ST}} S_{\text{ST}}(t_v - t_o)}_{\text{místnost}} \dots k, \Delta t = f(t_o),$$

přičemž se předpokládá, že tepelná setrvačnost je zanedbatelná. Kvalita vytápění je zásadně určena obsluhou zařízení.

Při vytápění elektrickými akumulačními kamny nastávají odlišné podmínky. Časová závislost tepelného toku z povrchu kamen je určena jednak zvoleným reži-

mem jejich ohřevu (teplota, čas), jednak teplotou místnosti a tím i celkovými tepelnými ztrátami, které jsou určeny vztahem

$$Q_{\text{místnosti}} = \sum_{x=1}^{x=6} k_x S_{\text{ST}x} \cdot \Delta t'_x.$$

Vzhledem k povaze stavebního provedení budovy lze očekávat, že teploty sousedních prostorů budou kolísat pouze v malém rozmezí a jejich absolutní teploty budovány způsobem využití.

Tepelný tok z povrchu akumulačních kamen při setrvačném provozu (s vnějším povrchem  $S_L$ ) lze vyjádřit vztahem

$$Q_c = \alpha_L S_L (t_{\text{pm}} - t_v) \cdot \tau_2 = N_w \cdot \tau_1,$$

kde druhá strana rovnice vyjadřuje příkon a čas ohřevu.

Pro praktickou potřebu je účelné volit čas  $\tau_2 = 24$  hodin, tj. denní cyklus a tuto hodnotu porovnávat s denní tepelnou ztrátou místnosti určenou pro střední hodnoty teplot místnosti venkovní i okolních prostorů pro příslušné zvolené hodnoty součinitelů prostupu tepla, tudíž

$$Q_{\text{místnosti 24 hod.}} = Q_{\text{celk. přivedené 24 hod.}}$$

Z případných rozdílů lze usuzovat při vyloučení setrvačnosti stavby na nesprávnost volby hodnot součinitelů prostupu tepla především kamenného zdíva vnějšího i vnitřního (pro podlahu, strop, dveře a okna jsou hodnoty již dosti prověřené) a provést jejich opravu. Všechny ověřené hodnoty budou získány za podmínek, které se liší od normou předepsaného stavu, tj.

oblastní teplota (průměrná) okolí  $t_0 = -15^\circ\text{C}$

teplota vytápěného prostoru  $t_v = 20^\circ\text{C}$

teploty sousedních prostorů podle účelu využití

a které není možno s ohledem na klimatické poměry vůbec realizovat.

Při respektování základních okrajových podmínek:

- volby vytápěcího zařízení — el. akumulačních kamen, tj. zákonité změny teploty místnosti  $t_v$  v čase,
- teploty sousedních místností by si zachovaly zjištěné teploty,

lze s dobrou přibližností stanovit tepelnou ztrátu místnosti pro normované podmínky přepočtem podle vztahu

$$Q_N = kS(t_v - t_0) \text{ kde } S \text{ — ekvivalentní okenní stěna}$$

$$Q_{\text{měř}} = k'S(t'_v - t'_0) \text{ kde } k \equiv k'$$

$$Q_N = Q_{\text{měř}} \frac{kS(t_v - t_0)}{k'S(t'_v - t'_0)} = Q_{\text{měř}} \left( \frac{t_v - t_0}{t'_v - t'_0} \right),$$

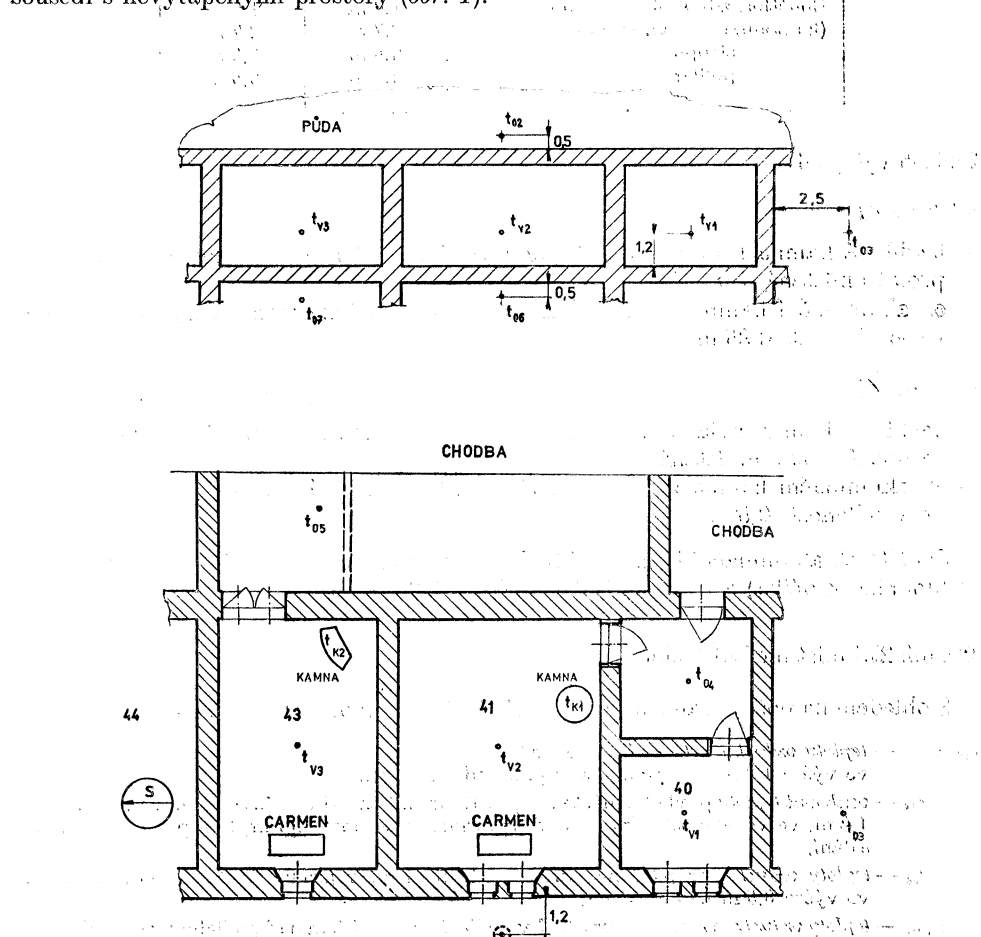
přičemž se předpokládá (podle normy), že součinitel prostupu zdíva není proměnný se změnou teplotního rozdílu ( $t_v - t_0$ ).

## 2. METODIKA OVĚŘENÍ

### Popis budovy a místnosti

Budova je z kamenného zdi; tloušťka v obvodovém pláště je  $\sim 1,0$  m s mohutnými výklenky, kde jsou okna buď dvojitá nebo zdvojená. Stropy a podlahy jsou z dřevěných trámů, podlahy dřevěné.

Místnosti jsou v posledním podlaží a mají různou velikost; všechny mají jednu (okenní stěnu) v obvodovém pláště; směrem do dvora sousedí s předsíňkami a chodbou. Nad stropem je půda, pod podlahou místnosti nevytápěné; krajní místnosti sousedí s nevytápěnými prostорami (obr. 1).



Obr. 1. Rozmístění míst měření teplot (výřez z měřicího plánu)

Místnost	41	43
rozměry místnosti: výška hloubka šířka	3,5 m 9,0 m 7,2 m	3,5 m 9,0 m 5,7 m
rozměry okna: výška (dvojité) šířka	2,4 m 2,6 m	2,4 m 1,2 m
rozměry dveří: výška šířka	2,0 m 1,0 m	2,5 m 1,2 m
tlušťka: zdiva obvodového (kamenné) vnitřního stropu podlahy	1,0 m 0,7 m 0,5 m 0,5 m	1,0 m 0,7 m 0,5 m 0,5 m

### Způsob vytápění

#### místnost 41

- kachlová kamna kruhová s el. topnou vložkou  $\sim 6 \text{ kW}$  provozovanou na noční proud umístěná u dveří,
- el. akumulační kamna zn. CARMEN  $4,4 \text{ kW}$ , umístěná symetricky před oknem ve vzdálenosti  $0,85 \text{ m}$ .

#### místnost 43

- kachlová kamna zvláštního tvaru s el. topnou vložkou  $\sim 6 \text{ kW}$  provozovanou na noční proud, umístěná u dveří
- el. akumulační kamna zn. CARMEN  $4,4 \text{ kW}$ , umístěná symetricky před oknem ve vzdálenosti  $0,5 \text{ m}$ .

Použitá el. akumulační kamna CARMEN mají rozměry  $0,7 \times 0,45 \times 1 \text{ m}$  (výška  $\times$  hloubka  $\times$  délka) a přestupní plochu  $S_L = 2,93 \text{ m}^2$ .

### Rozmístění míst měření teplot

S ohledem na požadované údaje tepelné ztráty je vhodné provést měření

- $t_{v1, 2, 3}$  — teploty vzduchu vytápěných prostorů  
ve výšce  $1,2 \text{ m}$  nad podlahou, uprostřed místnosti,
- $t_{01}$  — venkovní teploty před okenní stěnou prostřední místnosti ve výšce  $1,2 \text{ m}$ , ve vzdálenosti  $1,2 \text{ m}$ , ve vzdálenosti  $1 \text{ m}$  od budovy. Čidlo bude opatřeno krytem proti slunečnímu sálání,
- $t_{02}$  — teploty vzduchu na půdě nad prostřední místnosti v prodlouženém středu místnosti ve výšce  $0,5 \text{ m}$  nad stropem,
- $t_{03, 04, 05}$  — teploty vzduchu sousedních prostorů v podlaží ve výši  $1,2 \text{ m}$  nad podlahou ve vzdálenosti  $2,5 \text{ m}$  od stěn,
- $t_{06, 07}$  — teploty vzduchu sousedních prostorů pod podlahou pod střední a velkou místností v prodlouženém středu místnosti ve vzdálenosti  $0,5 \text{ m}$  pod podlahou,
- $t_{k 1,2}$  — povrchové teploty kachlových kamen budou měřeny ve velké a střední místnosti; čidla budou umístěna  $\sim 150 \text{ mm}$  nad koncem topné vložky na povrchu situovaném do místnosti.

Pro měření teplot místností, okolí a povrchových teplot kamen byla použita Pt čidla ( $100 \Omega$ ) a k registraci hodnot byly použity 2 přístroje se šírkou záznamového pásu 0,2 m.

Pro podrobné ověření teplotních poměrů ve vytápených prostorech byly použity termočlánky Cu-ko se studeným spojem  $0^{\circ}\text{C}$ , zapojené na dva 6ti bodové registrační přístroje eKt. Šířka záznamového pásu 0,12 m při použitém rozsahu  $0 \div 2 \text{ mV}$ .

Kontrolní body byly ještě sledovány rtuťovými teploměry rozsahu  $0 \div 50^{\circ}\text{C}$  s dělením po  $0,1^{\circ}\text{C}$ .

### 3. VÝSLEDKY MĚŘENÍ A JEJICH ZHODNOCENÍ

#### 3.1 Příkon akumulačních kamen

Při nabíjení akumulačních kamen byla provedena kontrola příkonu jednotlivých zdrojů s těmito hodnotami:

Místnost	Kamna		Nabíjení (denní doba)
	kachlová	akumulační	
40	6460 W	—	$22 \div 6; 14 \div 16;$
41	6140 W	4200 W	$22 \div 6; 14 \div 16;$
43	6030 W	4200 W	$22 \div 6$

a na základě těchto hodnot byly stanoveny celkové příkony sledovaných místností:

41	$(6 \cdot 140 + 4 \cdot 200) \cdot 10 = 103 \cdot 400 \text{ W}$
43	$(6 \cdot 030 + 4 \cdot 200) \cdot 8 = 81 \cdot 840 \text{ W}$

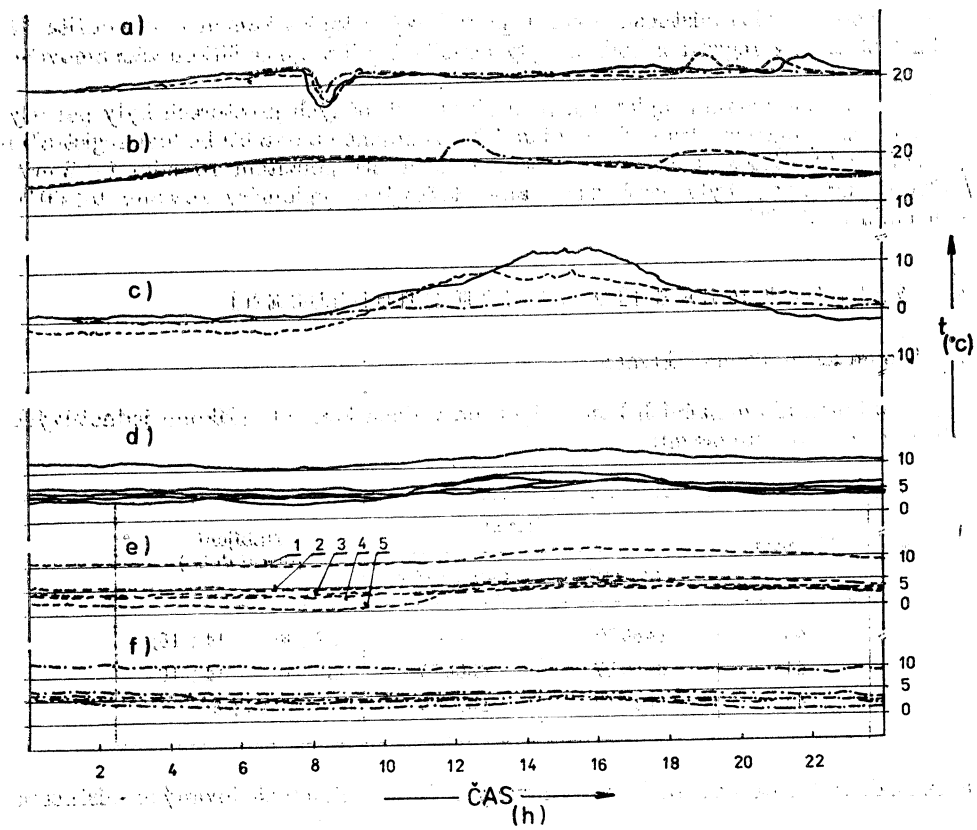
#### 3.2 Denní průběh teplot

Základním dokladem o změnách jak teplot místnosti, tak i kamen v čase, jsou jejich záznamy pořízené regulačními přístroji — hodnoty uvedené ve  $^{\circ}\text{C}$  (obr. 2). Odečtem těchto hodnot lze určit především:

— střední denní venkovní teplotu podle vztahu

$$t_{\text{om}} = \frac{t_7 + t_{14} + 2t_{21}}{4},$$

- maximální a minimální teplotu místnosti,
- časovou změnu teploty místnosti pro zvolenou denní dobu pobytu v místnosti,
- dobu větrání (prudký pokles teploty) místnosti,
- dobu spuštění ventilátoru el. akumulačních kamen (náhlé zvýšení teploty místnosti).



Obr. 2. Denní průběh teplot vzduchu: a) místnosti č. 41; b) místnosti č. 43; c) teplota okolí; d) e) f) okolních prostorů. Rozšíření čar představuje vybrané tři dny

Ve vybraných dnech měření byly dosaženy tyto hodnoty:

Den	5. 3.		6. 3.		7. 3.		
Místnost	41	43	41	43	41	43	
teplota místnosti [°C]	max. min.	23 19	20,5 14,5	23,3 20,5	21 15,5	24 20,7	21,5 15,8
venkovní teplota stř. [°C]	max. min.	+3,17 +13 0,9	+3,15 +7,1 -3	+1,52 +4 -0,5			

Z uvedených hodnot vyplývá:

1. Střední venkovní teplota denní kolísala v rozmezí  $\pm 1,6^{\circ}\text{C}$ .
2. Maximální teplota  $24^{\circ}\text{C}$  byla v místnosti č. 41 v 7 hodin, která je situována mezi vytápěnými místnostmi a navíc má dobíjení obou zdrojů vytápění ještě odpoledne mezi 14 a 16 hodinou.
3. Časové změny teplot místností jsou podstatně menší, než odpovídající časové změny teplot okolí, což odpovídá charakteru stavby.
4. Minimální teplota  $14,5^{\circ}\text{C}$  byla v místnosti č. 43, která přiléhá jednou stěnou k vytápěné místnosti, ostatní stěny jsou k prostorům nevytápěným; zdroje vytápění jsou nabíjeny pouze mezi 22. a 6. hodinou.
5. Teploty sousedních nevytápěných prostorů byly vyrovnané (nekolísaly) kromě půdy, jejíž teplota (čára 5) se měnila s změnou venkovní teploty; nejvyšší teplota (čára 1) byla v předsíni prostoru 40 a 41, která je oddělena dveřmi od chodby. Teploty sousedního prostoru 39 (čára 2), předsíně 43 (čára 3) a místnosti v I. patře (čára 4) byly na stejně hladině; nejnižší teplota byla v prostoru půdy (čára 5).

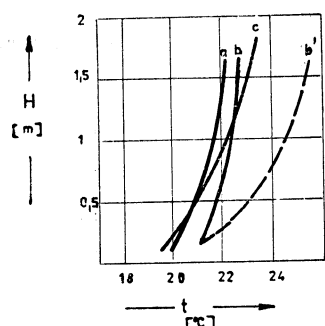
### 3.3 Teplotní gradienty ve vertikálním směru (bez ventilátoru)

Hodnoty naměřené termočlánky v různých bodech prostoru byly vyhodnoceny na údaje ve  $^{\circ}\text{C}$  a jsou přehledně uvedeny na obr. 3. a obr. 4.

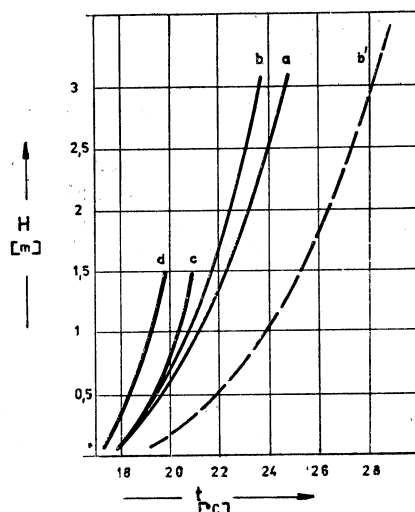
Ze souhrnu výsledků měření v místnosti č. 41 uvedených na obr. 2 lze uvést:

#### *teplotní gradient ve vertikální rovině*

— dosahuje mezi body 0,1 → 1,5 m nad podlahou hodnoty  $1,8 \div 3,6^{\circ}\text{C}$  podle denní doby,



Obr. 3. Teplotní gradienty vzduchu místnosti č. 41: a) v 8 hodin; b) ve 13.30 hodin; c) v 18.30 hodin; d) v 21.30 hodin se spuštěným ventilátorem.



Obr. 4. Teplotní gradienty vzduchu v místnosti č. 43 a) v 8 hodin; b) v 11 hodin; c) po 11 hodině se spuštěnými ventilátory; d) ve 12 hodin; e) v 15 hodin.

— mění se v závislosti na čase

$$\Delta t = f \left( \frac{Q_k}{Q_c} \right) \quad \text{při } Q_c = \text{konst.}$$

— je v půdorysu místoňti jen málo odlišný kromě exponovaných míst (okna, dveře).

#### *teplotní gradient v horizontální rovině*

— dosahuje v hloubce místoňti  $1 \rightarrow 7$  m hodnoty  $0,4 \div 1$  °C,

— má charakter změny obdobný ve všech rovinách v různé výšce nad podlahou.

Vzhledem k tomu, že teplotní gradienty v horizontální rovině neměly značné rozdíly, bylo ověření teplot v místoňti 43 zaměřeno na sledování teplotních gradientů ve vertikální rovině ve větší vzdálenosti od podlahy (až 3,45 m) a výsledky měření jsou uvedeny na obr. 4. Podobně jako v sousední místoňti se teplotní gradient ve vertikální rovině

— zvyšuje ve směru od podlahy a dosahuje hodnoty pro měřící místa

$0,1 \rightarrow 1,5$ m	$3,3$ °C
$0,1 \rightarrow 3$ m	$5,5$ °C

— mění v závislosti na čase (snižuje se při snižování teploty v místoňti),

— nemění v půdorysu místoňti kromě výše 0,1 m nad podlahou.

#### **3.4 Vliv ventilátorů**

Vliv krátkodobého spuštění ventilátorů u elektrických akumulačních kamen CARMEN byl ověřen v obou místoňstech.

V místoňti 41 se při 0,65 hodin provozu ventilátoru zvýšila teplota o 4 °C. Po vypnutí ventilátoru za 1 hodinu opět poklesla teplota přibližně na původní průběh křivky. Průběh teplotního gradientu ve vertikální rovině se změnil úměrně množství cirkulujícího vzduchu — zvýšení bylo ve sledovaných bodech

	$H$	$\Delta t$
bez ventilátoru	$0,1 \rightarrow 1,5$ m	$1,8 \div 2,3$ °C
s ventilátorem	$0,1 \rightarrow 1,5$ m	$4,5 \div 4,6$ °C

V místoňti 43 byl vliv provozu ventilátoru ověřen jak krátkodobě, tak i dluhodobě. Při krátkodobém provozu (0,5 h) se opět zvýšila teplota místoňti o 3 °C; po vypnutí ventilátoru se teplota snížila přibližně na původní průběh křivky za 1 hodinu. Při dluhodobém provozu (1,5 h.) se snižovala teplota místoňti obdobně,

jako bez ventilátoru. V obou případech se průběh teplotního gradientu ve vertikální rovině změnil opět úměrně množství cirkulujícího vzduchu — zvýšení  $\Delta t^\circ$  bylo ve sledovaných bodech:

$\Delta t^\circ$	výška $H$	
	$0,1 \rightarrow 1,5 \text{ m}$	$0,1 \rightarrow 3 \text{ m}$
bez ventilátoru	$3,3^\circ\text{C}$	$5,5^\circ\text{C}$
s ventilátorem	$6,2^\circ\text{C}$	$8,8^\circ\text{C}$

### 3.5 Aplikace výsledků měření

Naměřené teploty vytápěných místností i okolních prostorů budou použity ke kontrolnímu výpočtu tepelných ztrát podle normy ČSN 06 1102 ve sloupci rozdíl teplot pro dané rozměry místnosti i provedení stavby budou zvoleny odpovídající hodnoty součinitelů prostupu tepla.

Pro informativní tepelnou bilanci (určenou pro 24 hodin) byly uvažovány:

- teploty střední stanovené podle vztahu

$$t_m = \frac{t_1 + t_{14} + 2t_{21}}{4} \quad \text{pro všechna měřená místa,}$$

- součinitelé prostupu tepla  $k[\text{W}/\text{m}^2 \text{ }^\circ\text{C}]$

kamenného zdiva tloušťky 1 m (venkovní zed) 0,7 m (vnitřní zdi)	1,4 1,7
podlahy	0,85
stropu	0,9
dveří	2
oken	2,3

## 4. ZÁVĚR

Příspěvek shrnuje výsledky experimentálního ověření jak celkového stavu, tak i podrobného proměření ve vytápěných místnostech při použití elektrických akumulačních kamen. Výsledky měření a jejich zhodnocení jsou podloženy všemi potřebnými technickými podklady.

Z přehledu výsledků měření a jejich zhodnocení vyplývá:

- v období, kdy byly prováděny záznamy byla střední venkovní teplota  $t_{om} = +2,5^\circ\text{C}$ ,
- v této době byly ve sledovaných místnostech následující poměry (uvažujeme-li rozměry podle kap. 2. a teploty podle registračních záznamů)

č. místn.	tepelný příkon 24 h (měřeno)	střední teplota místnosti	tepelná ztráta 24 h (výpočtem)	součinitel $\sigma = \frac{Q_{měr}}{Q_{výpočtem}}$
41	103 . 400 W	21,5 °C	111 . 300 W	0,94
43	81 . 840 W	18,7 °C	84 . 000 W	0,975

- informativní hodnota součinitele  $\sigma$  je v rozmezí přesnosti měření; *zvolené hodnoty součinitelů prostupu tepla zdíva lze proto považovat za reálné*,
- přepočtem na *normované hodnoty* při zachování stávajících okrajových podmínek při měření bude třeba příkon

číslo místnosti	příkon $Q_{N/24\text{ h}}$	měrný příkon	
		[W/m <sup>3</sup> h]	[kcal/m <sup>3</sup> h]
41	190 000 W	35,8	30,8
43	176 000 W	40,7	35

- změna tepelných ztrát bude úměrná změně okrajových podmínek (teplot okolních prostorů) podle rozvahy v úvodu.

Při vytápění elektrickými akumulačními kamny je zachován charakter denního průběhu teploty místnosti — teploty ráno jsou vyšší než večer. Kvalitu vytápění určuje při správně navržené velikosti kamen regulace jejich tepelného výkonu, a to buď termostatem nebo ruční obsluhou při nabíjení ve vztahu ke změně tepelných ztrát.

Uvedený způsob vytápění je proto optimální pro historické budovy využívané jako výstavní síně apod. Celodenním využitím historických budov lze sice očekávat snížení teploty prostoru ve večerních hodinách, ale vzhledem k výsledkům měření lze očekávat, že toto snížení nebude výrazné.

#### SEZNAM ZNAČEK A INDEXŮ

Značka	Význam	Rozměr
$C$	konstanta	—
$H$	výška	m
$k$	součinitel prostupu tepla	W/m <sup>2</sup> °C
$L$	délka	m
$n$	exponent	—
$N$	energie	W
$Q$	tepelný výkon	W
$S$	plocha	m <sup>2</sup>
$t$	teplota	°C
$\Delta t$	rozdíl teplot	°C
$\alpha$	součinitel přestupu tepla	W/m <sup>2</sup> °C
$\sigma$	součinitel stavby	—
$\tau$	čas	h

Index	Význam
$c$	celkový
$L$	vzduch
$m$	střední
$měr$	měřený
$N$	normovaný
$o$	okolí
$p$	povrch
$ST$	stěna místnosti
$V$	vnitřní
$X$	variace stěny
7, 14, 21	denní doba

# УДОСТОВЕРЕНИЕ ТЕМПЕРАТУРНЫХ УСЛОВИЙ В ПОМЕЩЕНИЯХ ПРИ ЭЛЕКТРИЧЕСКОМ АККУМУЛЯЦИОННОМ ОТОПЛЕНИИ ИСТОРИЧЕСКИХ ЗДАНИЙ

Инж. Вацлав Бероунский, к. т. н.

Статья приносит информации о результатах измерения температурных условий в помещениях исторических зданий, где было экспериментировано с аккумуляционным отоплением с одной стороны при применении современной аккумуляционной печи с регулирующим потреблением тепла, и с другой стороны при применении исторической изразцовой печи приспособленной для электрического аккумуляционного отопления. Выходы измерения интересны как с точки зрения достигнутых результатов, так как основание для подобных случаев.

## TEMPERATURE CONDITIONS IN ROOMS OF ANCIENT BUILDINGS BY ELECTRIC ACCUMULATION HEATING

Ing. Václav Berounský, CSc.

The author informs about the results of measurements of temperature conditions in rooms in ancient historically valuable buildings, in which some experiments have been made with modern accumulation heating units with pre-set heat output, or with ancient tile-stoves adapted for accumulation electric heating. The conclusions derived from the measurements are of some interest as to the measured values and may form a basis for future projects in similar cases.

## WÄRMEVERHÄLTNISSE IN RÄUMLICHKEITEN VON HISTORICH WERTVOLLEN GEBÄÜDEN BEI ELEKTRISCHER AKKUMULATIONSBEHEIZUNG

Ing. Václav Berounský, CSc.

Der Verfasser berichtet über Resultate der Temperaturmessungen in Räumlichkeiten von einigen historisch wertvollen Gebäuden, in welchen man mit Akkumulationsbeheizung experimentiert hat, und zwar bei Anwendung von modernen Akkumulationsöfen mit regelbarer Wärmeabgabe oder bei Anwendung von historisch wertvollen Kachelöfen, die für elektrische Akkumulationsbeheizung adaptiert worden sind. Die Schlussfolgerungen sind vom Standpunkt der Messresultate sowie vom Standpunkt deren Verwendung bei analogen Projekten interessant.

## VÉRIFICATION DES CONDITIONS THERMIQUES DANS LES LOCALS AU CHAUFFAGE ÉLECTRIQUE PAR ACCUMULATION DES BÂTIMENTS HISTORIQUES

Ing. Václav Berounský, CSc.

L'article présenté cite les résultats de mesure des conditions thermiques dans les locals des bâtiments historiques dans lesquels on expérimentait le chauffage par accumulation d'une part à l'application des poêles à accumulation modernes avec une consommation réglée de la chaleur, d'autre part à l'application des poêles de faïence historiques modifiés pour le chauffage électrique par accumulation. Les conclusions de mesure sont intéressantes comme au point de vue des résultats obtenus aussi bien que une base pour la solution des cas semblables.

**Ing. Otakar Štorch, CSc. a kolektiv:  
Čištění průmyslových plynů a exhalaci  
odlučovače.**

Vydalo SNTL, Praha 1974, 1. vydání, 312 stran,  
160 obrázků, 51 tabulek, cena vázaného výtisku  
Kčs 35,—.

Recenzovaná publikace šestičlenného autor-ského kolektivu náleží do řady o ochraně životního prostředí, kterou vydávají společně nakladatelství technické literatury tří socialistických zemí: Műszaki Könyvkiadó — MLR, SNTL — ČSSR a VEB Verlag Technik — NDR. Zabývá se fyzikálními vlastnostmi tuhých a kapalných částic specifickými pro prašnou techniku (tvar, hmotnost, granulometrické složení, měrný povrch, elektrický náboj a odpor, sypný úhel, úhel skluzu, lepivost, opotřebení, smácivost, explozivnost), fyzikálními jevy využívanými při odlučování (působení zemské gravitace, setrvačních a elektrických sil, difúzní jevy, síťový úcinek, koagulace tuhých částic), principy, provedení, technickými parametry, výhodami a nevýhodami různých druhů odlučovačů (suché a mokré mechanické, elektrické, látkové, průmyslové vysavače a odsavače, koagulátory), doplňkovými zařízeními odlučovačů (odsun zachycených příměsí, kalové hospodářství, usazovací nádrže), zákonými, hygienickými a provozními hledisky pro volbu odlučovačů, použitím odlučovačů v jednotlivých nejdůležitějších průmyslových odvětvích (zejména v energetice, metalurgii železných a neželezných kovů, slévárnách, průmyslu stavebnin, chemickém a potravinářském průmyslu) a měřením odlučovačů, měření koncentrace prachu v plynu, určení množství tuhých úlétů.

Publikace je určena širokému okruhu konstruktérů, projektantů, výzkumných pracovníků a pracovníků techniků v průmyslových odvětvích využívajících odlučovací zařízení a všem veřejným pracovníkům v oboru čistoty a hygieny ovzduší.

(tes)

#### Omluva strojirenské redakce SNTL:

„V publikaci Štorch: Čištění průmyslových plynů a exhalaci odlučovače, která vyšla v SNTL-Nakladatelství technické literatury v knižnici Ochrana životního prostředí v r. 1975, došlo k politování hodnému omylu, když místo lektorů rukopisu doc. Ing. Jiřího Smolíka, CSc. a Ing. Miroslava Legnera jsou nedopatréním uvedeni letoři osnovy doc. Ing. Dr. Ladislav Oppl. CSc. a Ing. Josef Poláček. Všem uvedeným letorům se cmlouváme.

#### • Okna z PVC

Vedle všeobecných požadavků na okna v průmyslové a bytové výstavbě vystupují jako závažný problém v prašných a vlhkých agresivních provozech, vyskytujících se v chemickém, hutním a jiném průmyslu, také požadavky na dobrou korozní odolnost okenních rámů. Praktické zkušenosti ze závodů ukazují, že odolnost okenných konstrukcí zhotovených ze dřeva a oceli není uspokojivá a že mají necelou poloviční životnost při srovnání se základními stavebními částmi. Poněkud příznivěji vyznívá hodnocení oken z hliníkových profilů, které využívají v celé řadě prostředků a nevyžadují žádné nátery; jejich nevýhodou je však vysoká cena a špatná korozní odolnost v prostředích s obsahem plynných sloučenin chlóru a pevných úlétů chloridů.

Problém okenních rámů z hlediska jejich životnosti ve vlhkých agresivních prostředích by měla vyřešit okna z houževnatého mrazuvzdorného PVC. V ČSSR byly pro celoplastová okna vyvinuty duté T profily o tloušťce stěny 3 mm z tvrdého PVC, které typizované vyrábí n. p. Východočeské dřevařské závody Trutnov podle své podnikové normy a na zakázku jakýkoliv typ podle dodané výkresové dokumentace. Cenově jsou zhruba dvojnásobkou než okna dřevěná. Oproti jiným materiálům mají celoplastová a kovoplastická okna řadu výhod: výborné tepelné vlastnosti, nízkou vzduchovou propustnost, odolnost proti mechanickému poškození, vysokou korozní odolnost vůči většině chemikálií a jejich výparům a nevyžadují žádné nátery. Mimo již četných pozitivních zahraničních zkušeností byly s úspěchem vyzkoušeny i u nás v bytové (Praha, Hradec Králové, Trutnov, Vysoké Mýto aj.) a průmyslové výstavbě (Spolana Neratovice, SCHZ Lovosice).

S dalším rozšířením výroby oken z plastických hmot v naší republice se počítá v souvislosti se zakoupením zahraniční licence pro jejich výrobu (CHZJD Bratislava) a uvedením do výroby u nás vyvinutých profilů kombinace dřevo — plastická hmota.

(tes)

#### • Venkovní hluk a okna

V místnostech s otevřenými okny se čítí během dne 68 % dotázaných při 65 dB(A) podstatně obtěžováno hlukem pronikajícím zvenčí. V noci pak při hladině hluku o 10 dB nižší se takto čítí dobrých 75 % osob.

Z výzkumu venkovního hluku, které byly uskutečněny v Paříži, vyplývá, že kritická hodnota pro vznik obtěžování tímto hlukem leží mezi 60—65 dB(A).  
k-k-t 6/74

(Ku)

# CHARAKTERISTIKY ZATOPENÉHO VZDUŠNÉHO PROUDU ZA ČTVERHRANOU VÝUSTÍ

ING. VRATISLAV HLADKÝ

Výzkumný ústav vzduchotechniky, Praha

Autor zhodnocuje dosavadní způsob výpočtu proudových i tvarových charakteristik volného zatopeného vzdušného proudu za čtverhrannou výustí. Teoreticky propracovává řešení uvedeného vzdušného proudu na základě různých předpokladů a ze srovnání s výsledky experimentálního zkoumání vybírá ten způsob řešení, který odpovídá průběhu skutečného proudu.

Recenzoval: Doc. Ing. Dr. L. Oppl, CSc.

## 1. ÚVOD

Při řešení distribuce vzduchu v klimatizovaných prostorách užíváme pro přívod vzduchu nejčastěji výustí s obdélníkovou výtokovou plochou. Nadále budeme mluvit o čtverhranné výusti. Vzdušný proud za takovou výustí můžeme v současné době určit prakticky trojím způsobem: čtverhrannou výustí převádíme buď na kruhovou o stejně ploše nebo na štěrbinovou výustí o stejné výšce a nebo na výustě složenou ze štěrbinové a dvou půlkruhových [1]. V tomto pojednání probereme jednotlivé způsoby řešení a vybereme ten nejhodnější, který odpovídá výsledkům experimentálního zkoumání.

### *Použité označení*

- $A$  = obecná konstanta,  
 $A_K$  = označení konstanty,  
 $A_p$  = šířka plochého proudu [m],  
 $a$  = šířka proudu za čtverhrannou výustí [m],  
 $a_v$  = šířka čtverhranné výustě [m],  
 $\alpha$  = úhel rozširování vzdušného proudu [ $^{\circ}$ ]  
 $B_K$  = označení konstanty,  
 $b$  = výška vzdušného proudu za čtverhrannou výustí [m],  
 $b_v$  = výška čtverhranné výustě [m],  
 $D_v$  = průměr kruhové výustě [m],  
 $F$  = průřez vzdušného proudu [ $m^2$ ],  
 $F_v$  = celkový průřez čtverhranné výustě [ $m^2$ ],  
 $H$  = objemová hybnost vzdušného proudu [ $m^4/s^2$ ],  
 $k_F$  = součinitel snížení hybnosti ve vzdušném proudu za čtverhrannou výustí,  
 $K_s$  = výtoková konstanta výustě,  
 $\mu_p$  = součinitel volné plochy výustě,  
 $s$  = stranový poměr čtverhranné výustě,  
 $\vartheta$  = konstanta charakterizující určitý rychlostní profil,  
 $u$  = rychlosť zatopeného vzdušného proudu [ $m/s$ ],  
 $V_v$  = objemový průtok vzduchu ve výusti [ $m^3/s$ ],  
 $v_p$  = střední výtoková rychlosť ve výusti [ $m/s$ ],  
 $x$  = vzdálenost za výustí [m],  
 $x_p$  = délka počáteční oblasti vzdušného proudu [m],

$x_{MEZ}$  — mezná vzdálenost za výustí, v níž vzdušný proud za čtverhrannou výustí přechází na kruhový [m],  
 $y$  — označení parametru,  
 $z'$  — vzdálenost od osy vzdušného proudu [m],  
 $z'_k$  — vzdálenost okraje proudu od jeho osy [m],  
 $Z = z/z'_k$  — poměrná vzdálenost od osy proudu,  
 index  $x$  se vztahuje na vzdálenost za výustí,  
 index 1 se vztahuje na kruhový proud,  
 index 2 se vztahuje na plochý proud,  
 index 3 se vztahuje na proud za čtverhranou výustí.

## 2. ZÁKLADY ŘEŠENÍ VOLNÉHO VZDUŠNÉHO PROUDU

Volným vzdušným proudem nazýváme takový proud vzduchu, který se v prostoru šíří zcela neovlivněn okolními stěnami. V podstatě rozlišujeme dva typy volného vzdušného proudu, a to kruhový a plochý, které jsou základními případům volné turbulence. Při našich úvahách se budeme zabývat pouze izotermním, resp. zatopeným vzdušným proudem, který vznikne ve větraném prostoru tehdy, je-li teplota přiváděného vzduchu shodná s teplotou uvnitř prostoru. Je to nejjednodušší případ volného vzdušného proudu, neboť jeho dráha zachovává přímý směr, daný vektorem výsledné počáteční hybnosti proudu.

Volný kruhový či plochý proud byly již řešeny různými autory (Schlichting, Prandtl, Görtler, Abramovič) jako případy volné turbulence. Vychází se při tom ze zjednodušených Navier-Stokesových rovnic pro dvourozměrné proudění (proudění v mezní vrstvě) při konstantním tlaku, v nichž se smykové napětí  $\tau$  vyjadřuje v závislosti na hlavním pohybu ve směru  $x$  pomocí poloempirických předpokladů na základě představy turbulentní viskozity. Základními předpoklady celého řešení jsou:

a) Rozšiřování proudu je úměrné dráze  $x$ ; platí

$$\frac{db}{dx} = \operatorname{tg} \alpha = \text{konst.} \quad (1)$$

b) Hybnost proudu se v závislosti na dráze nemění (v proudu nepůsobí žádné vnější síly); objemová hybnost má proto velikost

$$H_x = u_x^2 \int_0^F \left( \frac{u_{xz'}}{u_x} \right)^2 dF = V_v \cdot v_p = \text{konst.} \quad (2)$$

Úpravou rovnice (2) plyne proto přímo závislost pro osovou rychlosť

$$u_x = \sqrt{\frac{V_v \cdot v_p}{\int_0^F \left( \frac{u_{xz'}}{u_x} \right)^2 dF}}, \quad (3)$$

kterou můžeme považovat za základní rovnici pro řešení volného zatopeného vzdušného proudu v obecně platném tvaru. Abychom jí mohli použít, musíme znát rozložení rychlosti po příčném průřezu proudu, tj. jeho rychlostní profil. Tvar proudu, který může vytékat z různých distribučních orgánů, je v této základní rovnici respektován elementem plochy průřezu proudu  $dF$ .

Pro kruhový nebo plochý proud dosazujeme do rovnice (3) plošný element

$$dF = 2\pi z' dz', \quad \text{resp.} \quad dF = 2dz',$$

takže plyne pro rychlosť v kruhovém proudu

$$u_{x1} = \sqrt{\frac{V_v \cdot v_p}{2\pi z'_K \int_0^1 \left(\frac{u_{xz'}}{u_x}\right)^2 Z dZ}}, \quad (3a)$$

a pro rychlosť v plochém proudu

$$u_{x2} = \sqrt{\frac{V_v \cdot v_p}{2z'_K \int_0^1 \left(\frac{u_{xz'}}{u_x}\right)^2 dZ}}. \quad (3b)$$

Za předpokladu platnosti rovnice (1) můžeme tangentu úhlu rozširování vyjádřit vztahem

$$\tan \alpha = \frac{\vartheta}{K_s}, \quad (4)$$

přičemž veličina  $\vartheta$  závisí na tvaru rychlostního profilu a typu vzdušného proudu. Obecně můžeme psát [2]:

$$\begin{aligned} \int_0^1 \left(\frac{u_{xz'}}{u_x}\right)^2 Z dZ &= \frac{1}{2\pi\vartheta_1^2}, \\ \int_0^1 \left(\frac{u_{xz'}}{u_x}\right)^2 dZ &= \frac{1}{2\vartheta_2}. \end{aligned}$$

Vyjádříme-li dále vzdálenost okraje proudu od jeho osy pomocí úhlu rozširování vztahem

$$z'_K = x \cdot \frac{\vartheta}{K_s},$$

a počáteční hybnost proudu vztahem

$$V_v v_p = \mu_p F_v v_p^2,$$

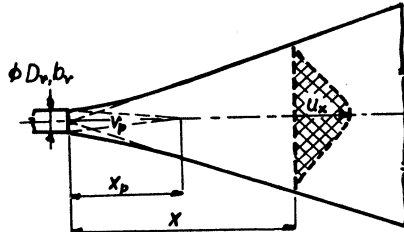
můžeme rovnici (3a), resp. (3b) upravit na výslednou závislost pro určení osové rychlosti; plyne

$$u_{x1} = v_p \frac{K_s \sqrt{\mu_p F_v}}{x}, \quad (5a)$$

$$u_{x2} = v_p \sqrt{\frac{K_s \mu_p b_v}{x}}, \quad (5b)$$

což jsou známé vztahy uváděné v literatuře. Schéma kruhového, resp., plochého proudu, které odpovídá uvedenému způsobu řešení, je uvedeno na obr. 1. Rovnice (5)

platí pro vzdálenosti  $x$  větší než je délka počáteční oblasti proudu  $x_p$ : znamená to, že kruhový proud se chová v hlavní poudové oblasti tak, jako by vytékal z bodového zdroje uprostřed kruhové výstě, a že plochý proud podobně zdánlivě vytéká z přímky proložené středem ploché výstě.



Obr. 1. Schéma kruhového nebo plochého proudu.

Zcela obdobným způsobem můžeme řešit i vzdušný proud za čtverhrannou výstě, jestliže si představíme, že celkový proud bude složen z plochého proudu, který vytéká z úsečky o délce  $a_v - b_v$ , a ze dvou kruhových poloproudů, vytékajících z bodových zdrojů na koncích této úsečky. Do rovnice (3) dosazujeme tedy v tomto případě

$$dF = 2(\pi z' + [a_v - b_v] dz'),$$

takže plyne

$$u_{xz} = \sqrt{\frac{V_v \cdot v_p}{2\pi z'_K \int_0^1 \left(\frac{u_{xz'}}{u_x}\right)^2 Z dZ + 2z'_K (a_v - b_v) \int_0^1 \left(\frac{u_{xz'}}{u_x}\right)^2 dZ}};$$

podle výše uvedeného postupu dostaneme po krátké úpravě závislost

$$u_{xz} = v_p \sqrt{\frac{u_p}{\frac{s-1}{s} \cdot \frac{x}{K_s b_v} + \frac{1}{s} \left(\frac{x}{K_s b_v}\right)^2}}, \quad (5c)$$

která odpovídá řešení podle [1]. Přitom jsme v rovnici (5c) kladli  $\vartheta_1 = \vartheta_2$ , což je s dostatečnou přesností možné, jak vyplývá z tab. 1, v níž jsou uvedeny součinitelé  $\vartheta_1$  a  $\vartheta_2$  pro tři různé rychlostní profily. Je zřejmé, že pro  $s = 1$  přejde rovnice (5c) na závislost pro kruhový proud, tj. na rovnici (5a), a pro  $s \rightarrow \infty$  na závislost pro plochý proud, tj. na rovnici (5b).

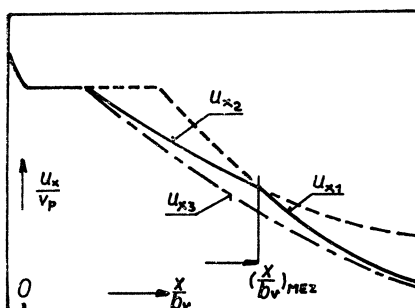
Tab. 1. Velikost součinitelů  $\vartheta$  pro různé rychlostní profily

Rychlostní profil $u_{xz}/u_x$	$\vartheta_1$	$\vartheta_2$
$1 - \operatorname{tg}^2 h(4,7Z - 6Z^2 + 4,29Z^3)$	2,317	2,563
$1 - 1,033 \operatorname{tg}^2 h(2,408Z)$	1,838	1,863
$0,0625Z^2$	1,331	1,330

Vyneseeme-li nyní pro určitou čtverhrannou výust  $(a_v, b_v)$  všechny tři rychlosti  $u_{x1}, u_{x2}, u_{x3}$ , dostaneme diagram na obr. 2, z něhož vyplývá, že vzdušný proud za čtverhrannou výustí se chová nejprve jako plochý a od určité vzdálenosti  $(x_{MEZ})$  jako kruhový. Řešení podle rovnice (5c) dává přijatelné hodnoty pouze na počátku a na konci proudu; uprostřed proudu v oblasti vzdálenosti  $x_{MEZ}$  dává nižší hodnoty osové rychlosti. Je to způsobeno tím, že při odvození rovnice (5c) bylo chybně předpokládáno, že šířka plochého proudu ve složeném proudu za čtverhrannou výustí je konstantní, tj.  $a_v - b_v = (s - 1)b_v$ . Správně bychom měli psát obecně pro element plochy vzdušného proudu za čtverhrannou výustí závislost

$$dF = 2(\pi z' + A_p) dz',$$

jestliže proměnlivou šířku plochého porudu značíme  $A_p$ . Její velikost se mění v rozmezí  $(s - 1)b_v$  až  $0$ , jak asi dokážeme v následujícím odstavci.



Obr. 2. Průběh osové rychlosti v kruhovém ( $u_{x1}$ ) a plochém ( $u_{x2}$ ) proudu a v proudu za čtverhrannou výustí ( $u_{x3}$ ).

### 3. VZDUŠNÝ PROUD ZA ČTVERHRAUNOU VÝUSTÍ

Jak jsme již uvedli, vycházíme při řešení vzdušného proudu za čtverhrannou výustí z představy, že v každé vzdálenosti má složený proud takový tvar (obr. 3), jakoby vytékal z ploché výustě o šířce  $A_p$  a ze dvou půlkruhových výustí o celkové ploše  $F_v' = b_v(a_v - A_p)$ . Osovou rychlosť plochého proudu určíme ze vztahu

$$u_{x2} = v_p \sqrt{\frac{K_s \mu_p b_v}{x}}, \quad (6)$$

maximální rychlosť v kruhových poloproudech ze vztahu

$$u_{x1} = V_p \frac{K_s \sqrt{\mu_p b_v (a_v - A_p)}}{x + \frac{K_s}{2\vartheta} [(a_v - b_v) - A_p]}, \quad (7)$$

jestliže předpokládáme obecně, že rozšiřování proudu je dáno největší šířkou čtverhranné výustě. Protože víme, že v kruhovém proudu klesá osová rychlosť rychleji než v proudu plochém, docházelo by však na rozhraní plochého a půlkruhových proudu

ke skokové změně rychlosti. To však není doslova dobré možné, a proto se půlkruhové proudy musí neustále zvětšovat na úkor plochého proudu tak, jako by vytékal ze zvětšující se kruhové výstřely, neboť se zvyšuje jejich celková hybnost. V každé vzdálenosti  $x$  potom platí

$$u_{x1} = u_{x2}, \quad \text{resp.} \quad du_{x1} = du_{x2},$$

což je obecná podmínka pro určení šířky plochého proudu. Další postup řešení rozdělíme na dvě části, které se budou lišit základními předpoklady:

1. Předpokládáme, že v každé vzdálenosti  $x$  je počátek rozširování proudu dán šířkou  $a_v - b_v$ ; proto poloměr kruhového poloproudou má velikost

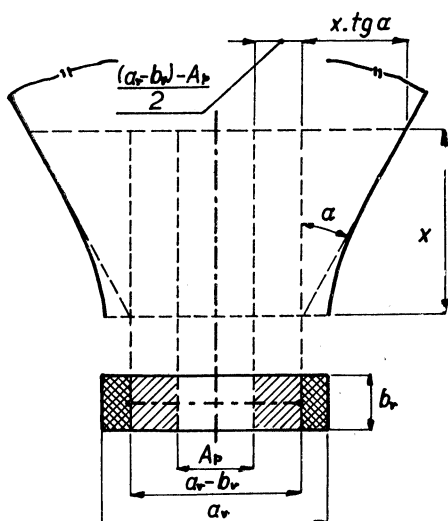
$$x \operatorname{tg} \alpha + \frac{(a_v - b_v) - A_p}{2}.$$

2. Předpokládáme, že v každé vzdálenosti  $x$  se počátek rozširování proudu ztotožní se středem kruhových poloproudů; proto jejich poloměr bude mít velikost

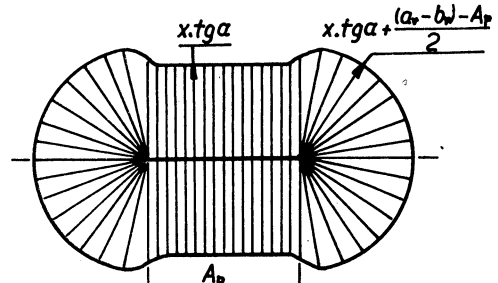
$$x \cdot \operatorname{tg} \alpha.$$

### Řešení 1.

Podle uvedeného předpokladu, který je znázorněn na obr. 3, je rozširování kruhových poloproudů určeno největší šířkou plochého proudu, pro níž platí  $A_p = a_v - b_v$ .



Obr. 3. Schéma náhradní čtverhranné výstřely.



Obr. 4. Průřez vzdušného proudu za čtverhrannou výstří ve vzdálenosti  $x$ .

Ve vzdálenosti  $x$  se tedy vytvoří proud, který se skládá podle obr. 4 ze dvou kruhových poloproudů a z plochého proudu o šířce  $A_p$ . Je proto zřejmé, že na přechodech mezi plochým a kruhovým proudem dochází k deformaci okrajových oblastí, která zakončí v okamžiku, kdy celý plochý proud bude pohlcen okrajovými kruhovými poloproudami.

proudů. Nastane to ve vzdálenosti  $x_{MEZ}$  a průřezu proudu bude mít kruhový tvar o poloměru

$$x_{MEZ} \cdot \operatorname{tg} \alpha + \frac{1}{2} (a_v - b_v),$$

neboť šířka plochého proudu  $A_p$  je nulová.

Abychom určili vzdálenost  $x_{MEZ}$ , použijeme rovnici (6) a (7). Podmínka  $du_{x_1} = du_{x_2}$  vede však v tomto případě k nepřehledné a prakticky neřešitelné diferenciální rovnici. Proto klademe  $u_{x_1} = u_{x_2}$  a hledáme souvislost mezi vzdáleností  $x$  a šířkou plochého proudu  $A_p$ . Řešení vede k dílčímu výsledku, který pišeme ve tvaru

$$a_v - A_p = \frac{1}{K_s} \left\{ x + \frac{K_s}{\vartheta} [(a_v - b_v) - A_p] + \frac{K_s^2}{4\vartheta^2} \frac{[(a_v - b_v) - A_p]^2}{x} \right\}. \quad (8)$$

Z rovnice (8) můžeme stanovit přímo okrajové podmínky pro závislost mezi šířkou plochého proudu  $A_p$  a vzdáleností  $x$ . Klademe-li proto nejprve  $a_v - A_p = b_v$ , plyne

$$x = x_p = K_s b_v, \quad (9)$$

eož je délka počáteční oblasti vzdušného proudu za čtverhrannou výstupí. Ve druhém případě klademe  $A_p = 0$ , což je podmínka pro přetvoření vzdušného proudu na kruhový. Dojde k tomu ve vzdálenosti  $x$ , pro níž plyne z rovnice (8) závislost

$$x_{MEZ} = B_K (K_s b_v), \quad (10)$$

přičemž číselný parametr  $B_K$  závisí na stranovém poměru čtverhranné výstupě a na zvoleném rychlostním profilu ( $\vartheta$ ); má velikost

$$B_K = \frac{1}{2} \left[ 1 + \frac{1}{\vartheta} \left( \frac{1}{s} - 1 \right) \right] \left\{ 1 + \sqrt{1 - \frac{(s-1)^2}{[(\vartheta-1)s+1]^2}} \right\}. \quad (10a)$$

Pro stranové poměry  $s > 1$  je parametr  $B_K$  vždy menší než 1.

Řešíme-li rovnici (8) konečně podle  $A_p$ , plyne výsledná závislost pro proměnnou šířku plochého proudu ve tvaru

$$\frac{A_p}{b_v} = s - A_K, \quad (11)$$

jestliže klademe

$$A_K = \left[ 2\vartheta(\vartheta-1) \frac{x}{K_s b_v} + 1 \right] \left\{ 1 - \sqrt{1 - \frac{\left[ 2\vartheta \frac{x}{K_s b_v} - 1 \right]^2}{\left[ 2\vartheta(\vartheta-1) \frac{x}{K_s b_v} + 1 \right]^2}} \right\}. \quad (11a)$$

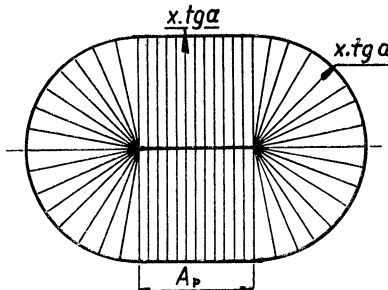
Je zřejmé, že rovnice (11), resp. (11a), platí pro vzdálenosti  $(x/K_s b_v) = 1$  až  $(x_{MEZ}/K_s b_v)$ : v prvním případě plyne  $A_K = 1$  a proto  $A_p = (s-1)b_v$ , ve druhém případě dostaneme  $A_K = s$ , a proto  $A_p = 0$ .

*Řešení 2.*

V tomto druhém případě předpokládáme (viz obr. 3), že v každém okamžiku je počátek rozšiřování proudu totožný se středem kruhového poloproudu. Celé řešení se

značně zjednoduší, neboť ve vzdálenosti  $x$  má vzdušný proud tvar podle obr. 5. Maximální rychlosť v kruhových poloproudech určíme ze vztahu

$$u_{x1} = v_p \frac{K_s \sqrt{\mu_p b_v (a_v - A_p)}}{x}. \quad (7a)$$



Obr. 5. Průřez vzdušného proudu za čtverhrannou výstupí ve vzdálenosti  $x$ .

Použijeme-li nyní společně rovnice (6) a (7a), můžeme řešit podmínu  $du_{x1} = du_{x2}$  za předpokladu, že i šířka plochého proudu  $A_p$  je funkcí vzdálenosti  $x$ . Plyne diferenciální rovnice pro veličinu  $y = a_v - A_p$  ve tvaru

$$y' = 2 \left( \frac{y}{x} \right) - \frac{1}{\sqrt{K_s}} \sqrt{\frac{y}{x}},$$

který není exaktním způsobem řešitelný. Volíme proto obecný integrál

$$y = Ax,$$

kde  $A$  je libovolná konstanta. Má-li být splněna uvedená diferenciální rovnice, musíme volit

$$A = \frac{1}{K_s},$$

takže vzhledem k definiční rovnici  $y = a_v - A_p$  dostaneme pro šířku plochého proudu  $A_p$  a vzdálenost  $x$  závislost

$$A_p = a_v - \frac{x}{K_s}, \quad (12)$$

z které vyplývá, že šířka plochého proudu ubývá lineárně se vzdáleností  $x$ . Rovnice (12) platí přitom od vzdálenosti

$$x_p = K_s b_v \quad (13)$$

až do vzdálenosti

$$x_{MEZ} = K_s a_v = K_s s b_v, \quad (14)$$

která odpovídá analogické vzdálenosti uváděné v literatuře.

V minimální vzdálenosti  $x_p$ , která je v složeném proudu za čtverhrannou výstupí délkom počáteční oblasti (tj. délkou proudového jádra s rychlosťí  $v_p$ ), je plochý proud nejširší, neboť má šířku

$$A_p = a_v - b_v = (s - 1) b_v.$$

Naproti tomu v maximální (mezné vzdálenosti  $x_{MEZ}$ , je šířka plochého proudu nulová ( $A_p = 0$ ), neboť v této vzdálenosti přechází složený proud za čtverhrannou výstupní na proud kruhový.

#### 4. POROVNÁNÍ VÝPOČTU S EXPERIMENTÁLNÍMI VÝSLEDKY

Na základě vývodů, které jsme uvedli v předešlých odstavcích, je tedy zřejmé, že rychlosť vzdušného proudu za čtverhrannou výstupí můžeme řešit teoreticky dvojím způsobem, přičemž vždy pokládáme tento vzdušný proud za složený z proudu plochého a kruhového. Proto pokles osové rychlosti odpovídá nejprve plochému proudu, tj. platí

$$u_{x_2} = v_p \sqrt{\frac{K_s k_F \mu_p b_v}{x}}, \quad (15)$$

a potom proudu kruhovému. Kritickou vzdáleností je vzdálenost  $x_{MEZ}$ , kterou určíme v prvém případě ze vztahu

$$x_{MEZ} = \frac{1}{4} \left[ 1 + \frac{1}{s} \right] \left\{ 1 + \frac{2\sqrt{s}}{s+1} \right\} K_s \cdot s \cdot b_v, \quad (16a)$$

jestliže jsme do rovnice (10) dosadili  $\vartheta = 2$ , a ve druhém případě ze vztahu

$$x_{MEZ} = K_s \cdot s \cdot b_v. \quad (16b)$$

Ve vzdálenostech větších než  $x_{MEZ}$  bude se osová rychlosť měnit v prvém případě podle závislosti

$$u_{x_1} = v_p \frac{K_s \sqrt{k_F \mu_p s} b_v}{x + K_s \frac{(s-1)}{4} b_v}, \quad (17a)$$

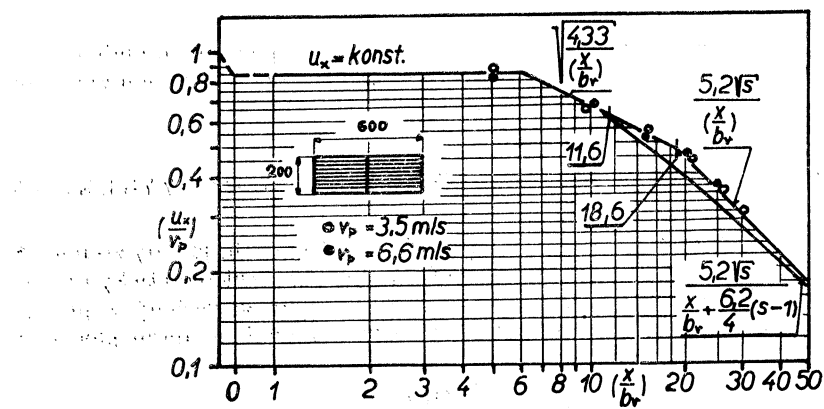
a ve druhém případě podle závislosti

$$u_{x_1} = v_p \frac{K_s \sqrt{k_F \mu_p s} b_v}{x}. \quad (17b)$$

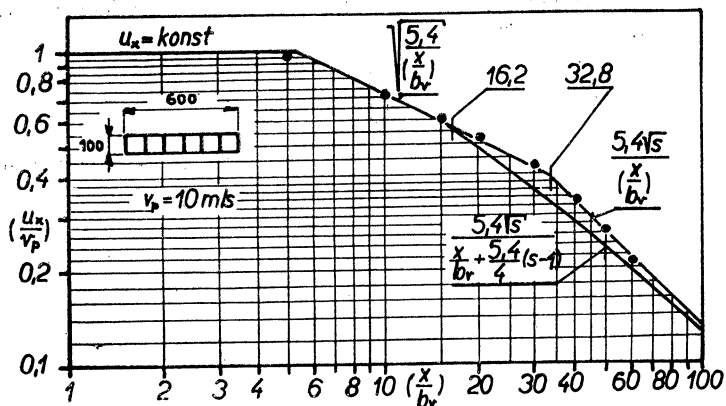
Do uvedených vztahů jsme zavedli ještě součinitel  $k_F$ , jehož velikost závisí na součiniteli volné plochy ( $\mu_p$ ) použité výstupce, a který respektuje snížení hybnosti v počáteční oblasti vzdušného proudu u takových výstupí, jejichž výtokovou plochu tvoří mřížka nebo děrovaný panel.

Otázku, které řešení odpovídá skutečnému tvaru proudu, je možno zodpovědět pouze při porovnání teorických výsledků experimentálního zkoumání. Proto jsme podle rovnic (15) až (17) zpracovali proměření průběhu osových rychlosťí tří různých čtverhranných výstupí:

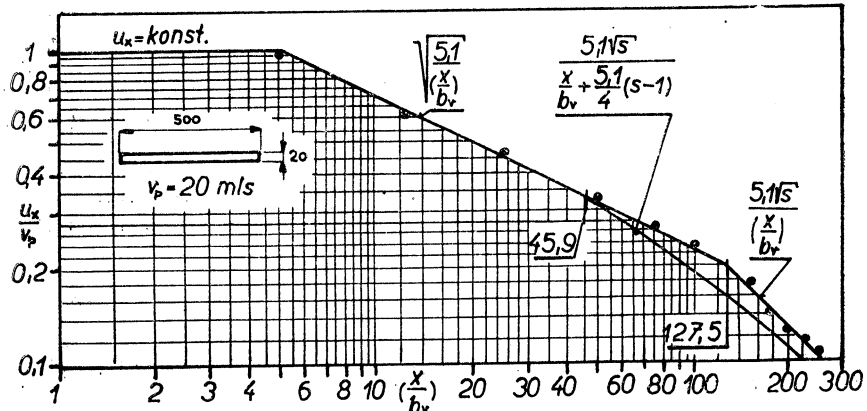
- a) Čtverhranná výstupka  $600 \times 200$  se žaluziovou mřížkou ( $\mu_p = 0,733$ ;  $s = 3$ ) a s výtokovou konstantou  $K_s = 6,2$  (obr. 6).
- b) Čtverhranná výstupka  $600 \times 100$  s volnými otvory ( $\mu_p = 1$ ;  $s = 6$ ); s výtokovou konstantou  $K_s = 5,4$  (obr. 7).
- c) Štěrbinová výstupka  $500 \times 20$  s volnou štěrbinou ( $\mu_p = 1$ ;  $s = 25$ ); s výtokovou konstantou  $K_s = 5,1$  (obr. 8).



Obr. 6. Průběh rychlosti ve vzdušném proudu za čtverhrannou výustkou o stranovém poměru  $s = 3$  ( $\mu_p = 0,733$ ).



Obr. 7. Průběh rychlosti ve vzdušném proudu za čtverhrannou výustkou o stranovém poměru  $s = 6$  ( $\mu_p = 1$ ).



Obr. 8. Průběh rychlosti ve vzdušném proudu za čtverhrannou výustkou o stranovém poměru  $s = 25$  ( $\mu_p = 1$ ).

Provedená měření, která jsou graficky zpracována na obr. 6 až 8, jednoznačně prokazují, že pro řešení vzdušného proudu za čtverhrannou výstří je správný předpoklad 2, který říká, že složený vzdušný proud se v každé vzdálenosti  $x$  skládá z plochého proudu o šířce  $A_p$  a z okrajových kruhových poloproudů, jejichž průměr je shodný s výškou plochého proudu. Znamená to tedy, že složený proud se chová tak, jako by vytékal z proměnlivé úsečky o délce  $A_p$ , přičemž ve vzdálenosti  $x_{MEZ}$  ( $A_p = 0$ ) přejde na kruhový proud.

Tab. 2. Směrné veličiny vzdušného proudu za čtverhrannou výstří  
(platí od vzdálenosti  $x_p = K_s \cdot b_v$  za výstří).

$x$	$x_p < x < x_{MEZ}$	$x_{MEZ}$	$x > x_{MEZ}$
$\frac{u_x}{v_p}$	$\sqrt{\frac{K_s k_F \mu_p b_v}{x}}$	$\sqrt{\frac{k_F \mu_p}{s}}$	$\frac{K_s \sqrt{k_F \mu_p s} b_v}{x}$
$a_x$	$s b_v + \frac{(2\vartheta - 1)x}{K_s}$	$2\vartheta s b_v$	$\frac{2\vartheta x}{K_s}$
$b_x$	$\frac{2\vartheta x}{K_s}$	$2\vartheta s b_v$	$\frac{2\vartheta x}{K_s}$

Nakonec uvádíme v tab. 2 hlavní směrné veličiny vzdušného proudu za čtverhrannou výstří, tj. poměrnou osovou rychlosť ( $u_x/v_p$ ) a velikost příčného průřezu proudu ( $a_x, b_x$ ) podle obr. 5. V závislostech pro rozměry proudu je ponechána obecná konstanta  $\vartheta$ , která respektuje volbu rychlostního profilu podle tab. 1. Ze známé osové rychlosti a průřezu proudu můžeme stanovit libovolnou jinou směrnou veličinu uvažovaného vzdušného proudu, jako jsou např. střední rychlosť, objemový průtok apod.

## 5. ZÁVĚR

Teoretické vývody obsažené v tomto pojednání a doložené výsledky experimentálního zkoumání jednak umožňují projektantovi vzduchotechnikovi volit správný postup při řešení proudových parametrů vzdušného proudu za libovolnou čtverhrannou výstří, charakterizovanou stranovým poměrem  $s$ , výškou  $b_v$  a výtokovou konstantou  $K_s$ , a jednak jsou podkladem pro správnou aplikaci základních případů volné turbulencie při řešení složitějších vzdušných proudu.

Všeobecně platné zákonitosti, které z uvedeného teoretického rozboru vyplývají, můžeme shrnout do těchto bodů:

1. Za dlouhou štěrbinovou výstří se vytvoří stabilní plochý proud pouze v takovém případě, kdy boční okraje vzdušného proudu mohou přilnout ke stěnám větraného prostoru.

2. Za krátkou štěrbinovou, resp. za čtverhrannou výstří, která je volná ve větraném prostoru, vytvoří se složený proud, který se vyznačuje nestabilním plochým proudem a okrajovými kruhovými poloproudami. Nestabilní plochý proud zanikne ve vzdálenosti  $x_{MEZ}$  za výstří.

3. Přeměna složeného proudu za čtverhrannou výstí na kruhový proud není provázena výraznou změnou turbulence, neboť výtoková konstanta  $K_s$  zůstává po celé dráze proudu konstantní.

4. Řešení vzdušného proudu za čtverhrannou výstí potvrzuje možnost existence volných poloproudů ve větraném prostoru.

Uvedené poznatky mají význam pro řešení složených proudů, které vznikají při interakci vzdušných proudů za distribučními orgány ve větraném prostoru. Představíme-li si totiž soubor distribučních orgánů (např. kruhových, plochých nebo obdélníkových), je zřejmé, že jej můžeme nahradit vhodně volenou čtverhrannou výstí.

## LITERATURA

[1] Hladký V.: Volný zatopený vzdušný proud za čtverhrannou výstí; Strojírenství 10, č. 10, s. 747—757.

[2] Hladký V.: Volný zatopený vzdušný proud; VÚV, Z-60-229.

## ХАРАКТЕРИСТИКИ ПРОНИКАЮЩЕГО ВОЗДУШНОГО ПОТОКА ЗА ЧЕТЫРЕХГРАННЫМ ВЫПУСКОМ

Инж. В. Гладки

Статья оценивает бывший способ вычисления струйных и профильных характеристик проникающего свободного потока за четырехгранным выпуском. Автор теоретически разрабатывает решение приведенного воздушного потока на основании различных предположений и по сравнению с результатами экспериментального исследования автор выбирает способ решения, который отвечает течению реального потока.

## CHARACTERISTIC CURVES OF A THROW OF AIR FROM RECTANGULAR OPENINGS

Ing. V. Hladký

The author evaluates the existing method for computing the flow and/or form curves of a free immersed throw of air from a rectangular opening. Theoretically explained solutions of the above-mentioned questions under various assumptions have been compared with experimental results and the most satisfying method has been chosen.

## CHARAKTERISTIKEN DES VERSENKTEN AUS RECHTECKIGEN ÖFFNUNGEN STRÖMENDEN LUFTSTRAHLES

Ing. V. Hladký

Der Verfasser beurteilt die bisherige Berechnungsmethode für Bestimmung der Strömungs- und Formcharakteristiken des freien versenkten Luftstrahles aus rechteckigen Öffnungen. Die Lösung von diesem Problem wird aufgrund verschiedener Voraussetzungen theoretisch bearbeitet und diesbezügliche Resultate mit Messergebnissen konfrontiert. Die den wirklichen Verhältnissen am besten entsprechende Berechnungsmethode wurde dann ausgewählt.

# VYTÁPĚNÍ ELEKTRICKOU ENERGIÍ (SMÍŠENÉ VELKOPLOŠNÉ OTOPNÉ SOUSTAVY)

ING. KAREL MRÁZEK

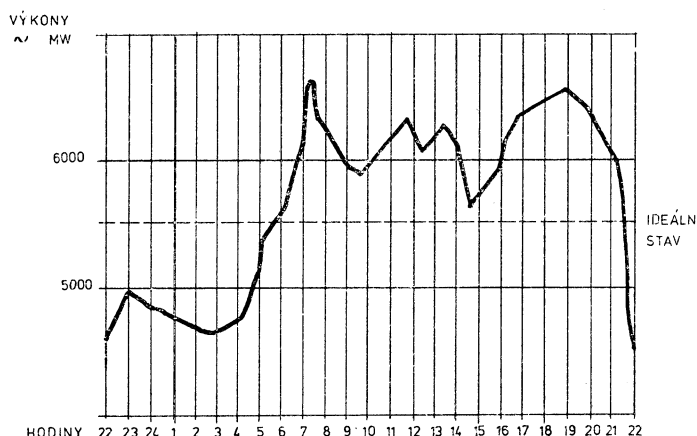
*Studijní a typizační ústav, Praha*

V článku je podána všeobecná informace o nové možnosti pro elektrické akumulační vytápění, o které se začíná uvažovat především ve vyspělých státech západní Evropy. Jde o velkoplošné elektrické vytápění s topnými kabely vloženými do konstrukce stropní desky. Teplo je při tom akumulováno přímo do stavební konstrukce. V článku je také popsáno tzv. smíšené vytápění, při kterém je základní velkoplošná soustava doplněna ještě přímo-topnými elektrickými topidly. Dále jsou tručně uvedeny hlavní zásady pro provoz popsaného způsobu vytápění a uvedena schéma pro automatickou regulaci.

*Recenzoval: Doc. Ing. Dr. J. Cihelka*

## I. ÚVOD

Vytápění elektrickou energií vyvolává řadu protichůdných názorů, které jsou vždy samy o sobě oprávněné. Na jedné straně lze uvést přednosti, z nichž některé jsou přímo hospodářsky vyčíslitelné, jako zlepšení čistoty ovzduší, zvýšení komfortu bydlení, možnost dokonalé regulace soustavy s volbou teplot v jednotlivých místnostech a využitím tepelných zisků atd. Oproti tomu hlavním argumentem proti rozvoji otopu el. energií nyní je nízká účinnost výroby el. energie. Je však třeba užít elektrické energie pro vytápění posuzovat zejména podle možností čs. energetiky. Jestliže se připustí jisté zjednodušení, pak hlavním kritériem je typický diagram zatížení jednoho zimního dne (obr. 1). Ideálním diagramem by byla horizontální přímka. Čím větší jsou odchylky od ní, tím obtížnější je vyrovnané diagramu ve výrobě i v rozvodu. Rozsah a složitost energetických soustrojí (kotel,



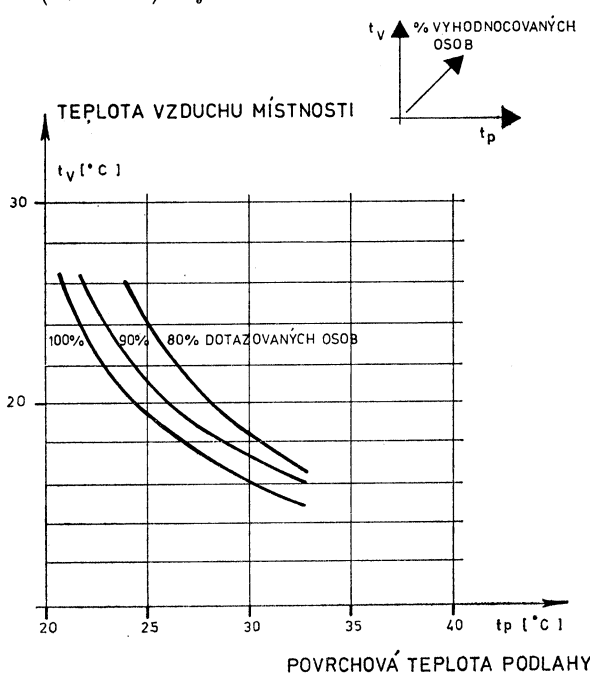
Obr. 1. Diagram zatížení v průměrném zimním dni

turbina) velkých výkonů působí, že soustrojí nelze vyřadit z provozu v noci při sníženém odběru, běží naprázdno. Energetické závody výrobní a rozvodné mají proto zájem noční vyrobenou elektřinu prodat zájemcům za nízkou cenu, alespoň takovou, která by kryla výrobní náklady. Naopak, výrobní i rozvodné energetické podniky nemají zájem, aby denní odběr elektřiny, zejména ve špičkách, byl v oblasti nevýrobní (neprůmyslové) zvyšován, neboť při podstatnějším zvýšení denního odběru by mohlo být ohroženo zásobování průmyslu elektřinou. Současné tempo rozvoje našeho národního hospodářství pak nedovoluje (resp. neumožňuje), aby tempo výstavby dalších energetických zdrojů bylo podstaně zrychleno.

Bude tedy v nejbližších letech rozvíjeno převážně elektrické vytápění akumulační s odběrem v nočních hodinách mezi 22 a 6 hodinou. Perspektivní soustavou je však kombinované vytápění s odběrem energie v nočních hodinách a s řízeným odběrem v denních hodinách. V následujícím článku je popsána kombinovaná velkoplošná otopná soustava a uvedeny zásady pro její navrhování.

## 2. KRITÉRIA, KTERÁ JE TŘEBA RESPEKTOVAT PŘI NÁVRHU VELKOPLOŠNÉ OTOPNÉ SOUSTAVY

Velkoplošné vytápění elektrickou energií je realizováno otopními stropními panely, kde topný prvek pokrývá celou plochu panelu. Dále je třeba mít na zřeteli akumulační formu otopu. Proto je nutné posoudit některé veličiny určující tepelnou pohodu prostředí a tepelné fyzikální vlastnosti budovy, zejména tepelnou setrvačnost (inertnost) objektu.



### 2.1. Teplota podlahy a stropu

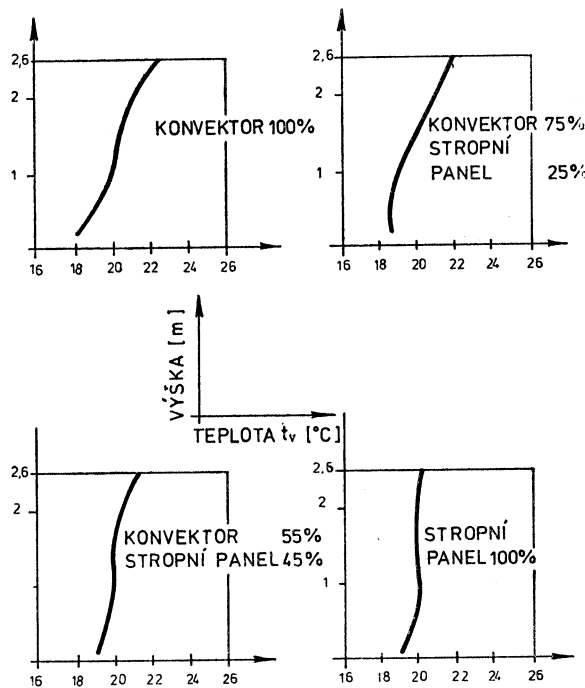
Studijní práce a experimenty Missenarda a Marechala určují kritérium maximální teploty podlahy vzhledem k teplotě vzduchu v místnosti (obr. 2). Z diagramu vyplývá, že při stálém obývání místnosti nesmí být teplota podlahy vyšší či  $25^{\circ}\text{C}$ . V chodbách a koupelnách se může tato teplota zvýšit o  $3^{\circ}\text{C}$ . Teplota stropu je omezena Chrenkovými kritérii a při konstrukční výšce místnosti  $2,8\text{ m}$  ji lze uvažovat  $30^{\circ}\text{C}$ .

Obr. 2. Průběh maximální povrchové teploty podlahy v závislosti na vnitřní teplotě místnosti

## 2.2 Teplota vzduchu v místnosti

Teplota vzduchu různých bodů obytného prostoru by se měla pohybovat v rozmezí  $2^{\circ}\text{C}$ . Nejdůležitějším kritériem je však rozdíl teplot mezi oblastí hlavy ( $1,8\text{ m}$ ) a oblastí chodidel ( $0,1\text{ m}$ ). Zkoumáme-li z tohoto hlediska otopnou stropní soustavu zjistíme, že patří mezi soustavy s nejpříznivějším rozdělením teplot. Na obr. 3. jsou znázorněny průběhy teplot vzduchu v místnosti.

V této souvislosti je třeba upozornit na vztah mezi svislým teplotním polem a tepelnými ztrátami. Nejslabší tepelné části pláště jsou tvořeny okny, která jsou v horní části místnosti. Přehřátí této oblasti, ke kterému u klasických otopných soustav dochází, vede k vyšším tepelným ztrátám. Podle měření prováděných v EdF (Electricité de France) činí ztráty tohoto druhu asi  $10\%$  roční potřeby tepla.



Obr. 3. Vertikální průběh teploty vzduchu v místnosti

## 2.3 Změna teploty v průběhu času

Je třeba respektovat následující požadavky:

1. Požadovanou teplotu vnitřní dodržet s postačující přesností, řádově  $\pm 1^{\circ}\text{C}$ .
2. Umožnit volbu teploty v jednotlivých místnostech.

Druhý požadavek má povahu luxusního provedení, zejména v občanských stavbách, kde většinu uživatelů uspokojí teploty  $21$  až  $22^{\circ}\text{C}$  a nemožnost výběru omezuje rozepře.

V obytných budovách je volba teploty znakem komfortu, neboť se budou vyskytovat požadavky nastavení teplot v pásmu 15 až 24 °C podle okamžitého využití místnosti a pocitů přítomných osob.

## 2.4 Tepelná setrvačnost budovy (tepelná inertnost)

Tepelná setrvačnost budovy je charakterizována dobou, která je zapotřebí ke změně z jednoho rovnovážného stavu do jiného, způsobeného náhlou změnou

- a) oslunění,
- b) venkovní teploty,
- c) vytápěcího příkonu (zahřátím místnosti na požadovanou teplotu, přerušením vytápění, změnou požadované vnitřní teploty).

Je nutné při návrhu velkoplošného vytápění posoudit architektonický návrh, a to:

- velikost zasklených ploch,
- celkovou tepelnou setrvačnost budovy (těžká konstrukce, tedy s větší setrvačností, se ohřívá pomaleji a akumuluje část tepla od oslunění; změny vnitřní teploty ve dnech následujících po dni oslunění jsou velmi pomalé),
- volbu krytiny podlahy, stěn a stropu, na které závisí rychlosť změny vnitřní teploty. Je třeba si uvědomit, že u budovy těžké se sice prostor ohřívá pomalu, ale je-li vyložen krytinou s dobrými izolačními vlastnostmi, pak vnitřní teplota dosáhne velmi rychle své maximální hodnoty.

Pro vlastní návrh kombinované soustavy, zejména pro určení poměru základní otopné plochy sálavé a doplňkové otopné plochy konvekční je významná rychlosť změny vnitřní teploty při náhlé změně venkovní teploty.<sup>1)</sup> Tato změna je úměrná poměru

$$\frac{M \cdot c}{G \cdot V},$$

kde  $M \dots [\text{kg}]$  je hmotnost místnosti,

$c \dots [\text{J/kg K}]$  — měrné teplo,

$G \dots [\text{W/m}^2 \text{K}]$  — měrná tepelná ztráta,

$V \dots [\text{m}^3]$  — objem místnosti.

Lze odvodit z proměných místností, že:

- při rovnosti hmotností místností jsou místnosti dobře izolované mnohem inertnější než místnosti slabě izolované,
- místnost v provedení lehkém a izolovaná, je stejně inertní jako místnost v provedení těžkém a neizolovaná.

Jako místnost izolovaná byla označena místnost s  $G = 0,8$ ; jako neizolovaná s  $G = 1,6$ .

<sup>1)</sup> Doba ochlazení nebo ohřátí homogenního a izotermního tělesa je dána rovnicí

$$t = t_{\max} \cdot (1 - e^{-(G \cdot V / M \cdot c) \cdot T}),$$

kde  $t \dots [\text{°C}]$  je rozdíl teploty požadované a okamžité,

$t_{\max} \dots [\text{°C}]$  — rozdíl teploty vnitřní a oblastní,

$T \dots [\text{s}]$  — doba změny.

## **3. VELKOPLOŠNÁ OTOPNÁ SOUTAVA**

### **3.1 Provedení**

Otopné plochy jsou zahřívány topnými kabely, které jsou zabudované v betonové vrstvě. Podle stavebního provedení rozlišujeme tři základní druhy vytápěných ploch:

a) topné kabely jsou zalité v krycí vrstvě nosného stropu nebo konstrukce. Kabely jsou položeny na nosnou stropní konstrukci a zality hubeným betonem tak, aby nedošlo k jejich poškození při vlastním dokončovacím procesu.

b) topné kabely jsou zabudovány v betonové hmotě podlahy. Toto řešení je použito u tzv. „pllovoucích podlah“. Na nosnou stropní konstrukci se položí vrstva betonu. Po jejím zatvrdenutí se uloží kabely a podlaha se dokončí nanesením vrchní vrstvy betonu. Tento druh otopných podlah realizuje např. fa. Callidec (v ČSSR realizace vytápění rodinného domku v Roztokách u Prahy).

c) topné kabely jsou zabudovány přímo ve stropní konstrukci. Toto provedení je vhodné pro technologii prefabrikace. Tyto otopné plochy budou dále nazývány stropními otopnými panely.

### **3.2 Topné kabely**

Topné kabely lze v podstatě rozdělit do dvou základních skupin, a to podle druhu izolace a ochranného obalu kolem topného drátu. První skupinu tvoří kabely s kovovým ochranným obalem. Kabel se tedy sestává z topného drátu (měď, kumanál, slitina Ni-Cr, atd.), izolace vyplňující prostor mezi drátem a obalem, ochranného obalu (měď, olovo, slitina inconel atd.) a pláště (PVC), který chrání chemicky obal zejména v okamžiku výroby panelu. Provozní teplota je omezena tepelnou odolností pláště z umělé hmoty. Tyto kabely jsou vhodné k osazení do stropních panelů.

Do druhé skupiny patří topné kabely s ochranným obalem z plastické hmoty. Sestávají se z topného drátu, izolace a ochranného pláště (Butyl, Hypalon, Polychlóren, PVC atd.).

Problémy činí připojení topného kabelu k elektrické síti. Spojení musí být tak provedené, aby nedošlo k porušení izolační vrstvy na konci topného kabelu. Provádí se zpravidla s speciálními spojkami.

Při návrhu by měly být dodrženy následující zásady:

- a) připojovat otopné panely k síti 220 V,
- b) volit lineární příkon v rozsahu 5 až 30 W/m kabelu,
- c) omezit instalovaný příkon pro 1 panel 25 A u sítě 220 V.

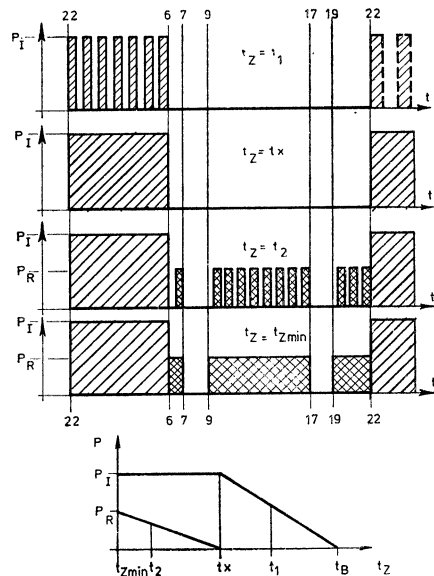
## **4. PŘÍKLADY OTOPNÝCH SOUTAV**

V odstavci 3.1 otopné plochy uvedené pod bodem a a b vyžadují použití mokrého procesu. Je zřejmé, že pracnost přímo na stavbě je veliká. Nelze též opominout hledisko požadované kvality provedení. Jelikož se v současné době, nejen v naší republice, ale i v cizině prosazuje požadavek maximální prefabrikace, tzn. továrního zhotovení dílců a omezení stavebních prací na montáž a s tím nekompromisní vyloučení mokrých procesů ze staveb, nelze předpokládat realizaci podlahových soustav v hromadné bytové výstavbě. Zdá se, že podlahové soustavy budou realizovány

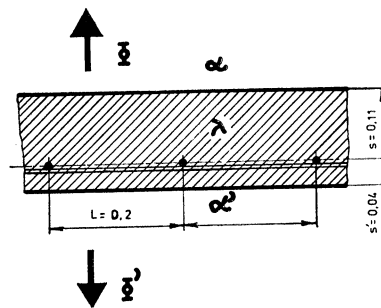
v rodinných domcích stavěných svépomocí a v některých stavbách občanské vybavenosti. Je však vždy třeba pečlivě dbát na dodržení tepelné pohody prostředí. Splnění kritérií tepelné pohody při podlahovém vytápění bývá však zpravidla velmi obtížné. Pod bodem  $c$  je uvedena vytápěcí soustava sestavená ze stropních otopných panelů. Zde je vytvořen předpoklad pro tovární výrobu prefabrikací, a proto jí budeme nadále věnovat pozornost.

Soustava je navrhována pro objekty s plnými stropními panely, zpravidla o tloušťce 15 cm, z armovaného betonu. Topný kabel je připevněn k výztuži, se kterou je zaformován.

Z hlediska tepelných poměrů je vhodné umístit topný kabel v jedné třetině tloušťky stropního panelu na straně stropu. Rozdělení toků tepla je téměř rovnoramenné, asi 50 % tepla je sdíleno stropem a zbytek podlahou. Je třeba zdůraznit, že v případě omezení toku tepla podlahou (nevhodná izolační krytina) nedojde k lokálnímu přehřátí kabelů, neboť je více tepla sdíleno stropem. Otopná soustava je připojena k síti v nočních hodinách mezi 22 až 6 hodinou a v denních hodinách podle možnosti a potřeby. Průběh připojení k síti během 24 hodin je znázorněn na obr. 4, přičemž v nočních hodinách je připojen plný instalovaný příkon  $P_I$  a v denních příkon redukován  $P_R$ . Návrh poměru  $P_I$  a  $P_R$  je výsledkem pečlivého rozboru, neboť určuje velikost provozních nákladů. Je však třeba poznamenat, že příkon redukováný  $P_R$  je fiktivní výpočtovou hodnotou, umožňující výpočet soustavy. Ve skutečnosti je instalován pouze  $P_I$ , který je v denních hodinách využit v poměrně krátkém časovém úseku.



◀ Obr. 4. Průběh připojení otopného stropního panelu k elektrické síti  
 $t_{Zmin}$ ... oblastní teplota,  $t_B$ ... výpočtová vnitřní teplota,  $t_Z$ ... okamžitá venkovní teplota



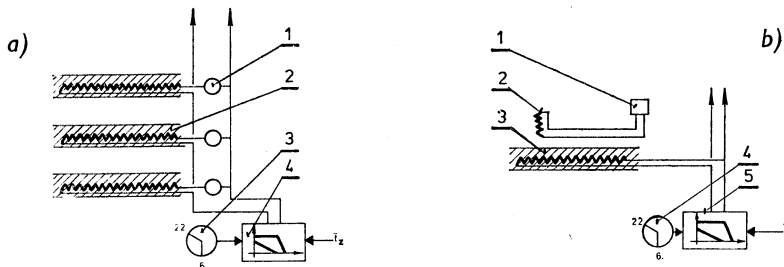
Obr. 5. Schematický řez stropním otopným panelem

Pro názornost jsou uvedeny teplotní poměry při optimálním řešení otopného stropního panelu: Stropní otopný panel o tloušťce 15 cm, viz obr. 5, kde je

$$\begin{aligned} s' &= 0,04 \text{ m} && \dots \text{tloušťka spodní vrstvy}, \\ s &= 0,11 \text{ m} && \dots \text{tloušťka horní vrstvy}, \end{aligned}$$

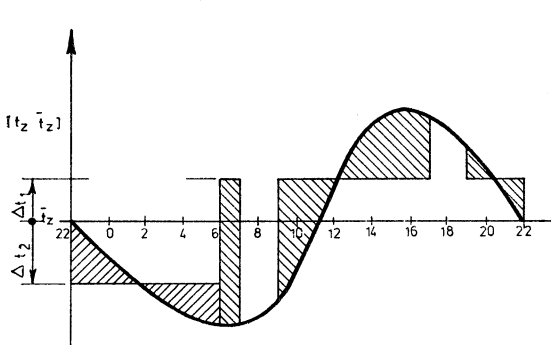
$L = 0,2 \text{ m}$  ... rozteč topných kabelů,  
 $\alpha' = 7,7 \text{ W/m}^2\text{K}$  ... součinitel přestupu tepla stropem,  
 $\alpha = 10,4 \text{ W/m}^2\text{K}$  ... součinitel přestupu tepla podlahou,  
 $\lambda = 1,4 \text{ W/mK}$  ... součinitel tepelné vodivosti,  
 $\Phi = 57 \text{ W/m}^2$  ... měrný tepelný tok podlahou,  
 $\Phi' = 63 \text{ W/m}^2$  ... měrný tepelný tok stropem.

Otopná soustava je řízena ústředním regulátorem a omezovačem vnitřní teploty (obr. 6a). Nabíjení řídí ústřední regulátor podle venkovní teploty. Snímání průměrné venkovní teploty není snadné, neboť se vlastně jedná o předpověď, i když krátkodobou. Jsou v podstatě dvě metody. V prvém případě čidlo snímá venkovní teplotu v průběhu dne, regulátor vyhodnotí průměrnou hodnotu, která je v následujícím dni řídící veličinou nabíjení podle regulační křivky. Nevýhodou je nemožnost zachytit prudké změny venkovní teploty, takže při náhlé změně počasí dochází k přetopení nebo nedotopení místnosti. Druhá metoda, kterou vypracovali technici

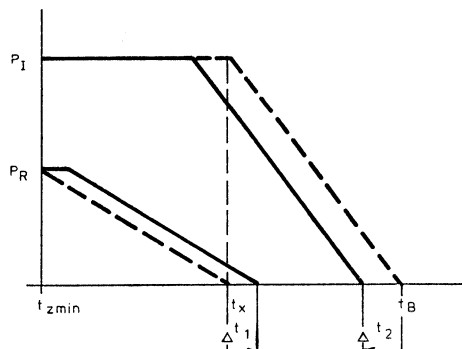


Obr. 6a. Otopná velkoplošná soustava s ústředním regulátorem a omezovacími termostaty, schéma (1... omezovací prostorový termostat, 2... stropní otopný panel, 3... spínací hodiny, 4... ústřední regulátor,  $\bar{t}_z$ ... průměrná teplota za 24 hodin)

Obr. 6b. Otopná soustava složená ze smíšené soustavy velkoplošné a doplňkové soustavy přímo-topné, schéma (1... prostorový termostat, 2... přímotopné topidlo, 3... stropní otopný panel, 4... spínací hodiny, 5... ústřední regulátor)



Obr. 7. Amplituda venkovní teploty v zimním období  $t_z$  ... okamžitá venkovní teplota,  $\bar{t}_z$  ... průměrná venkovní teplota za 24 hodin



Obr. 8. Regulační křivka ( $t_{zmin}$  ... oblastní teplota,  $P_1$  ... instalovaný příkon,  $P_R$  ... redukovaný příkon (výpočtová hodnota pomocná),  $t_B$  ... vnitřní teplota,  $\Delta t_1$  ... odchylka průměrné teploty denní,  $\Delta t_2$  ... odchylka průměrné teploty noční)

EdF je založena na jevu, že v zimním období je poměrně malá amplituda venkovní teploty během 24 hodin oproti letním měsícům. Tato amplituda může pro určité období a oblast být téměř konstantní (obr. 7). Upraví-li se vhodně regulační křivka (obr. 8), lze regulovat průběh nabíjení podle okamžité venkovní teploty.

Prostorový termostat je připojen v sérii ke každému stropnímu panelu. Ústřední regulátor řídí nabíjení soustavy k dosažení maximální předpokládané vnitřní teploty 24 °C. Prostorový termostat má funkci omezovací a umožňuje obyvateli nastavit v jednotlivých místnostech různé teploty, zpravidla v rozmezí 15 až 24 °C. Současně však umožní využít vnitřních zisků zejména tepla od oslunění, takže nedochází k přetápění v časovém údobí následujícím po oslunění.

Je zajímavé, že při zřejmých nedostatečných soustavách, zejména tepelné setrvačnosti a ne úplně přesné regulaci vnitřní teploty, bylo realizováno řádově tisíce m<sup>2</sup> otopné plochy v obytných budovách, přičemž byly oceňovány dosažené příznivé provozní náklady, slušné využití odběru energie v nočních hodinách a dosažená pohoda prostředí.

Nejdokonalejší a nejperspektivnější velkoplošnou soustavou je soustava sestávající ze soustavy základní a doplňkové (viz obr. 6b). Soustava základní jsou stropní otopné panely. Jejich nabíjení je řízeno podle okamžité venkovní teploty ústředním regulátorem. Důležité je, že tato základní soustava vytápí místo do zvolené vnitřní teploty  $t_B$  v rozmezí 10 až 15 °C (podle intenzity oslunění). Doplňková přímotopná soustava (představovaná např. konvektory, teplovzdušným vytápěním apod.) dotopí místo do požadovanou teplotu 15 až 24 °C. Doplněk je řízen prostorovými termostaty a umožňuje volbu vnitřní teploty v místnosti. Tato soustava je v současné době považována za nejoptimálnější soustavu elektrického vytápění ve Francii, kde byla vyvinuta. Je běžně realizována nejen v bytové a občanské výstavbě, ale i v průmyslových objektech. K přednostem již uvedeným přistupuje velká pružnost, u velkoplošných soustav se značnou akumulací tepla do stavby zatím nedosažená.

## 5. ZÁVĚR

V omezeném rozsahu článku nebylo možné nastínit přesný postup návrhu otopné soustavy. Účelem bylo seznámit odborníky s možnostmi, které poskytuje smíšená velkoplošná soustava.

V československých podmínkách je tato soustava přitažlivá možností úplné prefabrikace. I když začaly první práce na jejím experimentálním ověření, nelze zatím v případě kladných výsledků očekávat její rozsáhlejší aplikaci dříve než po roce 1980, neboť pro seriózní zhodnocení bude zapotřebí soustavy experimentálně ověřovat po několik otopných sezón.

## LITERATURA

- R. Wolf: Chuffage et Conditionnement Electriques — Eyrolles 1971.  
M. Solignac: Planchers chauffants électriques — Výzkumná zpráva EdF — 1971.  
M. J. P. Moreau: Notions de régulation applications au chauffage électrique des locaux — výzkumná zpráva EdF 1969.  
J. Čihelka: Sálavé vytápění — SNTL 1961.  
Rietschel-Raiss: Heiz und Klimatechnik — 15. vydání, Springer V. 1968.  
STÚ Praha: Vyhodnocení soustav elektrického vytápění a podmínek pro jejich užití — 1973.  
STÚ Praha: Velkoplošná otopná soustava — 1974.

## **ОТОПЛЕНИЕ ЭЛЕКТРИЧЕСКОЙ ЭНЕРГИЕЙ (СМЕШАННЫЕ БОЛЬШЕПЛОЩАДНЫЕ ОТОПИТЕЛЬНЫЕ СИСТЕМЫ)**

*Инж. Карел Мразек*

Статья всеобще информирует о новой возможности электрического аккумуляционного отопления, принимаемого прежде всего в передовых западноевропейских странах. Речь идет о большеплощадном электрическом отоплении с нагревательными кабелями встроенными до конструкции перекрытия. тепло аккумулируется прямо в строительную конструкцию. В статье описывается т. н. смешанное отопление, в котором есть основная большеплощадная система дополнена еще прямонагревательными электрическими нагревателями. Дальше описываются главные принципы для эксплуатации этого способа отопления. Статья заключает в себе также схемы автоматического регулирования.

## **ELECTRIC HEATING BY COMBINED GREAT-SURFACE HEATING SYSTEMS**

*Ing. Karel Mrázek*

The author gives a general information about a new solution for electric accumulative heating now being considered as a possibility in Western Europe. The method is based on cables inserted into ceiling plates and thus a great-surface heating system is realised, the heat being accumulate directly in the building construction. The article describes further the so-called combined heating, i.e. the combination of the above- mentioned system and direct electric heating units. Main principles for operating the described systems and outlines for their automatic control have been added.

## **ELEKTRISCHE BEHEIZUNG — KOMBINIERTE GROSSFLÄCHIGE HEIZSYSTEME**

*Ing. Karel Mrázek*

Der Verfasser informiert im allgemeinen über eine neue Möglichkeit der elektrischen Akkumulationsheizung, die man neulich in westeuropäischen Ländern in Erwägung zieht. Dabei handelt es sich um eine grossflächige Beheizung durch die in Deckenplatten eingelegten Kabel. Die Wärme wird direkt in der Baukonstruktion akkumuliert. Der Verfasser beschreibt weiter die sogenannte kombinierte Beheizung, wobei das grossflächige Beheizungssystem durch die direkten elektrischen Heizkörper ergänzt wird. Weiter sind die Hauptgrundsätze für Betrieb eines solchen Beheizungssystems dargelegt und Schemata der automatischen Regelung veröffentlicht worden.

## **CHAUFFAGE PAR L'ÉNERGIE ÉLECTRIQUE. LES SYSTÈMES DE CHAUFFAGE MIXTES EN GRANDES SURFACES**

*Ing. Karel Mrázek*

Dans l'article présenté, on introduit une information de la possibilité nouvelle pour le chauffage électrique par accumulation laquelle on commence considérer dans les pays évolués de l'Europe d'ouest, avant tout. Il s'agit du chauffage électrique en grande surface avec les câbles de chauffage posés dans une construction de la plaque de plafond. La chaleur est accumulée dans la construction, directement. Dans l'article présenté, on décrit aussi le chauffage mixte où on complète le système principal en grande surface avec les appareils de chauffage électrique chauffants directement. Plus loin brièvement, on cite les principes pour l'exploitation du mode de chauffage décrit et on introduit les figures pour la régulation automatique.

## • Revise normy DIN 1946

Německá norma DIN 1946 — vzduchotechnická zařízení, snad první evropská norma z tohoto oboru, má být nyní zcela přepracována. Na revizi se počítá s obdobím 10 až 15 let. V rámci přípravných prací proběhlo již mnoho diskusí, bylo o ní jednáno na konferencích, objevují se i příspěvky v odborném tisku a při této příležitosti se ozývají i hlasy pro vypracování závazné vzduchotechnické terminologie.

V r. 1974 se revizí této normy zabýval podrobně 20. kongres pro vytápění, větrání a klimatizaci. Z tohoto kongresu vyšel pak návrh uspořádání nové verze normy DIN 1946. Předložený návrh členění pamatuje i na dostatek prostoru pro nové poznatky, které se v průběhu revize a platnosti normy objeví. Uvažuje se, že jednotlivé zpracované statě nové normy vyjdou postupně, zatím jako směrnice VDI, ale již v uspořádání, které zapadne do rámce budoucí normy. Členění listů nové normy bylo dohodnuto takto:

- list 1 - 99 základy vzduchotechniky
- list 100 kmenový list vzduchotechnických zařízení
- list 101 a další specifická vzduchotechnická zařízení.

Budiž ještě zdůrazněno, že ani nová norma se nebude dotýkat tzv. výrobní — technologické vzduchotechniky (jako je např. pneumatická doprava, sušárny apod.).

Pro zajímavost předkládáme návrh členění „listů“ nové normy. V závorce jsou uvedena čísla norem nebo směrnic VDI, které dnes o dané problematice nebo její části pojednávají, a které budou po revizi promítnuty do nové normy:

- 1 vzduchotechnická zařízení — základy (DIN 1946/1)
- 2 základní hygienické, fyziologické a technologické požadavky na vzduchotechnická zařízení (DIN 1946/1)
- 3 základní technické požadavky na vzduchotechnická zařízení
  - 3.1 základní technické požadavky na strojovny
  - 3.2 základní technické požadavky na jednotkové přístroje
  - 3.3 základní technické požadavky na systémy rozvodu vzduchu (VDI 2080, VDI 2087)
  - 3.4 základní technické požadavky na regulační ovládací a kontrolní zařízení

- 4 základní bezpečnostní a stavebnětechnické požadavky na vzduchotechnická zařízení (DIN 1946/1)
- 5 garanční a výkonová měření vzduchotechnických zařízení (DIN 1946/1, VDI 2076, VDI 2079)
- 6 provoz a údržba vzduchotechnických zařízení
- 9 výpočet vzduchotechnických zařízení
- 9.1 chladicí zátěž (VDI 2078)
- 9.2 topná zátěž (VDI 4701)
- 9.3 systémy rozvodu vzduchu (VDI 2080 VDI 2087)
- 9.4 útlum hluku (VDI 2081)
- 9.5 hospodárnost a provozní náklady
- 100 nutnost instalace vzduchotechnických zařízení
- 101 vzduchotechnická zařízení pro shromažďovací místnosti (DIN 1946/2)
- 102 vzduchotechnická zařízení pro obchodní domy (VDI 2082)
- 103 vzduchotechnická zařízení pro zdravotnictví (DIN 1946/4)
- 104 vzduchotechnická zařízení pro školy (VDI 1946/5)
- 105 vzduchotechnická zařízení pro byty (VDI 2088)
- 106 vzduchotechnická zařízení pro kuchyně (VDI 2052)
- 107 vzduchotechnická zařízení pro prádelny
- 108 vzduchotechnická zařízení pro lázně a plovárny (VDI 2089)
- 109 vzduchotechnická zařízení pro výpočetní střediska (VDI 2054)
- 110 vzduchotechnická zařízení pro laboratoře (VDI 2051)
- 111 vzduchotechnická zařízení v technice zpracování RA látek
- 112 vzduchotechnická zařízení pro kryty (VDI 2085)
- 113 vzduchotechnická zařízení pro garáže (VDI 2053)
- 114 vzduchotechnická zařízení pro tunely
- 131 vzduchotechnická zařízení pro svařovny a svářecí místa (VDI 2084)
- 132 vzduchotechnická zařízení pro dílenské haly
- 133 vzduchotechnická zařízení pro tiskárny (VDI 2086)
- 134 vzduchotechnická zařízení pro čisté místnosti (VDI 2083)
- 135 vzduchotechnická zařízení pro lakovny a stříkací kabiny
- 162 vzduchotechnická zařízení pro dopravní prostředky (DIN 1946/3)

(Ku)

# HODNOCENÍ DOPRAVNÍHO HLUKU POMOCÍ EKVIVALENTNÍ HLAĐINY HLUKU

Ing. RICHARD NOVÝ, CSc.

ČVUT, Fakulta strojní, Praha

V článku je proveden rozbor problematiky spojené s hodnocením dopravního hluku pomocí ekvivalentní hladiny hluku ve vztahu k čs. hygienickému předpisu č. 32. Pro různé případy dopravních intenzit se porovnává hodnocení hluku podle maximálních a ekvivalentních hladin. Získané výsledky mohou být využity v legislativních předpisech, týkajících se dopravního hluku.

Recenzoval: Ing. L. Louda, CSc.

## 1. ÚVOD

Hluk je jedním z nejrozšířenějších škodlivých faktorů životního prostředí a jeho vliv dále roste v souvislosti s rozvojem techniky. V moderních městech a sídlištích rok od roku se stále zvyšují hladiny hluku tak, jak se rozvíjí doprava. V literatuře [1], [2], [3] je ukázáno, že zejména v okolí hlavních křižovatek a dopravních tepen vzrostly hladiny hluku za posledních 25 let o 10 až 20 dB, což se nepříznivě projevuje na zdraví obyvatelstva. Podrobné fyziologicko-hygienické výzkumy, které již byly provedeny ukazují, že nadměrný hluk nepříznivě působí na centrální i vegetativní nervové systémy člověka a je také přičinou mnohých srdečních a cévních onemocnění i nervových poruch. V současné době již není možno z těchto důvodů opomíjet jeho existenci při vytváření dobrého životního prostředí.

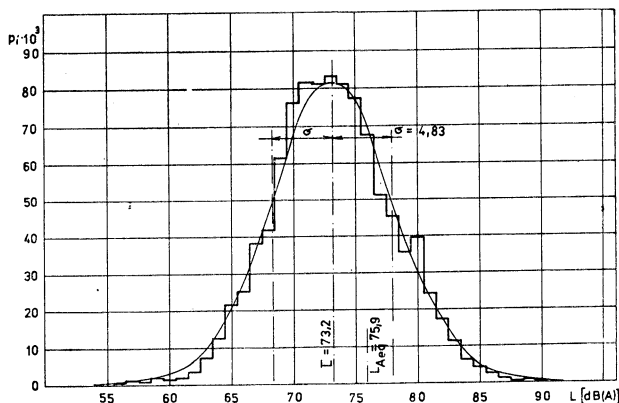
Dopravní hluk je svým časovým průběhem typickým hlukem nepravidelným, jehož hladina kolísá během krátkých časových úseků v rozsahu 15 až 30 dB (A). Tento fakt velmi ztěžuje jeho hodnocení. Jak ukázala praxe, je účelné vyjádřit účinky hluku pouze jednou jednotkou a nevytvářet další jednotky (dBX). Posuzování hlukových situací podle největší a nejmenší hladiny hluku, která se v daném časovém úseku vyskytovala v měřicím místě, popřípadě podle střední hodnoty (aritmetického průměru) bylo již dálno zavrženo, protože dává zkreslené informace. Kolísání hladiny hluku totiž prakticky unikalo zhodnocení, ačkoliv má bezesporu na výsledný účinek značný vliv.

Obecně lze říci, že reakce sluchového orgánu člověka na zvuk či hluk záleží na celém komplexu jak objektivních, tak i subjektivních faktorů. Jedná se zejména o hladinu akustického tlaku, spektrum zvuku a jeho časový průběh, celkovou akustickou energii, kterou byl exponován člověk, rozložení hladin hluku a jeho rozptyl, délku sledovaného časového úseku atd. Je nutno konstatovat, že neumíme dosud přesně vyjádřit vliv většiny faktorů. Vliv akustické energie je však dostatečně znám a byl již v minulosti často uplatněn. Proto také byla pro hodnocení nepravidelných hluků zavedena ekvivalentní hladina hluku [4], [6], která respektuje jak akustickou energii, kterou je exponován člověk, tak i do určité míry časový průběh hladiny hluku. Základní vztah pro ekvivalentní hladinu hluku má tvar

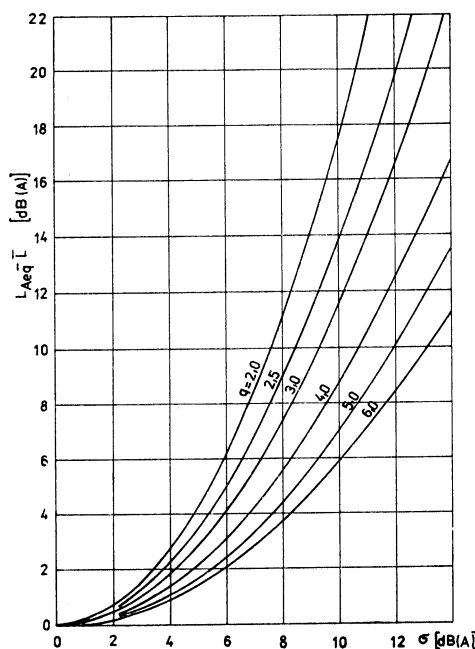
$$L_{\text{Aeq}} = \frac{q}{3} \log \sum_{i=1}^n 10^{\frac{L_i}{10} \cdot \frac{3}{q}} \cdot p_i \quad (1)$$

Velikost faktoru  $q$  byla dlouho diskutována. Pro dopravní hluk byla doporučována v literatuře [6] hodnota  $q = 4$ , přičemž  $q = 3$  odpovídá energetickému průměrování.

Z praxe je známo, že rozložení hladin dopravního hluku se značně blíží Gaussovu pravděpodobnostnímu rozložení, viz obr. 1, kde je znázorněno rozložení hladin hluku na křižovatce Karlovo náměstí—Resslova ulice. Toto rozložení je možno vyjádřit



Obr. 1. Rozložení hladin hluku na křižovatce Karlovo náměstí—Resslova ulice.



Obr. 2. Závislost ekvivalentní hladiny hluku na rozptylu a faktoru  $q$ .

matematickou závislostí

$$p(L) = \frac{1}{\sqrt{2\pi}\sigma} e^{-\frac{(L-\bar{L})^2}{2\sigma^2}}. \quad (2)$$

Upravíme-li vztah (1) do integrálního tvaru a dosadíme-li za relativní četnost hustotu pravděpodobnosti ze vztahu (2), potom dostaneme výraz

$$L_{Aeq} = \frac{q}{3} 10 \log \int_{-\infty}^{\infty} 10^{\frac{L-3}{10q}} \frac{1}{\sqrt{2\pi}\sigma} e^{-\frac{(L-\bar{L})^2}{2\sigma^2}} dL. \quad (3)$$

Řešením, které je uvedeno v literatuře [4], získáme konečný výraz

$$L_{Aeq} = \bar{L} + 0,345 \frac{\sigma^2}{q}. \quad (4)$$

Tato funkční závislost je znázorněna na obr. 2. Rozborem lze dokázat, že při směrodatné odchylce  $\sigma < 5$  dB bude chyba v určení ekvivalentní hladiny hluku menší než 1 dB budeme-li volit hodnotu  $q$  v rozsahu 2 až 4. Vzhledem k tomu, že rozložení hladin dopravního hluku v praxi odpovídá hodnotám směrodatných odchylek asi  $\sigma = 5$  dB, je vhodné volit faktor  $q = 3$ , který je i fyzikálně zdůvodnitelný.

## 2. ZÁVISLOST EKVIVALENTNÍ HLADINY HLUKU NA INTENZITĚ DOPRAVY

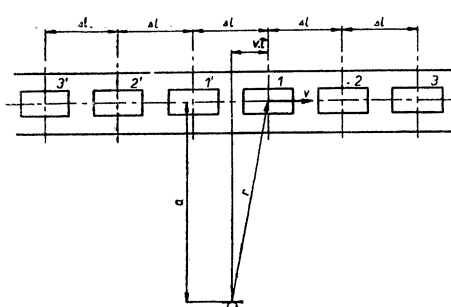
Při boji s dopravním hlukem máme možnost uplatnit několik základních metod, kterými lze úspěšně dosáhnout snížení hlučnosti v životním prostředí. Nejúčinnější opatření mohou provést výrobci automobilů a ostatních dopravních prostředků již v oblasti konstrukce méně hlučných vozidel. Dalším účinným opatřením proti dopravnímu hluku je vhodné situování chráněných oblastí, jako jsou např. sídliště, rozsáhlá zdravotnická a školská zařízení, rekreační oblasti apod. od prostorů, kterými prochází hlučné dopravní tepny. Při uplatňování této metody hrají nejdůležitější roli vzdálenosti mezi hlučným a chráněným prostorem, jakož i konfigurace terénu a akustických překážek.

Při snížování hluku v existujících městských zástavbách je již velmi těžké uplatňovat uvedenou druhou metodu. Ta je především vhodná k použití a může ve velké míře vyřešit vhodné akustické prostředí v nově projektovaných sídlištích. Jak již bylo řečeno v úvodní kapitole, je vhodné hodnotit dopravní hluk pomocí ekvivalentní hladiny hluku. Dosavadní dostupné údaje v literatuře o poklesu hlučnosti v závislosti na vzdálenosti od zdroje neuvažují ekvivalentní hladinu hluku, ale zabývají se hladinami akustického tlaku, pro něž platí základní vztah

$$L = L_1 + 20 \log \frac{r_1}{r}. \quad (5)$$

Základní údaje o poklesu ekvivalentní hladiny hluku v závislosti na vzdálenosti pozorovatele od osy dopravního proudu vyplynou z následujícího odvození. Schéma

uvažovaného případu je na obr. 3. V řešení je uvažována přímá vozovka procházející otevřenou krajinou, po níž projíždějí vozidla o konstantním akustickém výkonu, rychlosti a vzdálenostech mezi sebou. Dopravní prostředky budou pro zjednodušení řešení vyzařovat akustickou energii rovnoměrně do všech stran.



Obr. 3. Schéma dopravního proudu.

Výsledný účinek hluku na pozorovatele bude dán superpozicí účinků jednotlivých vozidel. Ze schématu na obr. 3 je zřejmé, že se bude akustický děj v místě pozorovatele opakovat s periodou

$$T = \frac{\Delta l}{v}. \quad (6)$$

To znamená, že lze ekvivalentní hladinu vypočítávat pro dobu, kterou potřebují vozidla k ujetí vzdálenosti mezi sebou.

Vzdálenost i-tého vozidla od pozorovatele můžeme vyjádřit ve tvaru

$$r_i = \sqrt{a^2 + (v\tau + i \Delta l)^2}. \quad (7)$$

Dosadíme-li tuto vzdálenost do vztahu (5) můžeme určit hladinu akustického tlaku v místě pozorovatele

$$L_i = L_1 + 10 \log \frac{r_i^2}{a^2 + (v\tau + i \Delta l)^2}. \quad (8)$$

Množství energie, kterou bude exponován pozorovatel za dobu  $T$  ode všech vozidel, je úměrné hodnotě

$$E = 2 \sum_{i=0}^{\infty} \int_0^T 10^{\frac{L_i}{10}} \cdot d\tau. \quad (9)$$

Dosazením ze vztahu (7) získáme výraz

$$E = 2 \cdot 10^{\frac{L_1}{10}} \cdot r_1^2 \sum_{i=0}^{\infty} \int_0^T \frac{d\tau}{a^2 + (v\tau + i \Delta l)^2}. \quad (10)$$

Řešením integrálu je rovnice

$$E = 2 \cdot 10^{\frac{L_1}{10}} \cdot r_1^2 \frac{1}{v \cdot a} \sum_{i=0}^{\infty} \left[ \operatorname{arctg} \frac{\Delta l(1+i)}{a} - \operatorname{arctg} \frac{i \Delta l}{a} \right]. \quad (11)$$

Je možno dokázat, že

$$\sum_{i=0}^{\infty} \left[ \operatorname{arctg} \frac{\Delta l(1+i)}{a} - \operatorname{arctg} \frac{i \Delta l}{a} \right] = \frac{\pi}{2}. \quad (12)$$

Potom konečný výraz lze upravit do tvaru

$$E = 10^{\frac{L_1}{10}} \cdot \frac{r_1^2}{v \cdot a} \cdot \pi. \quad (13)$$

Výraz pro ekvivalentní hladinu můžeme napsat ve tvaru

$$L_{\text{Aeq}} = 10 \log \frac{E}{T} = 10 \log \left[ \frac{v}{\Delta l} \cdot \frac{10^{\frac{L_1}{10}} \cdot r_1^2}{v \cdot a} \cdot \pi \right] = L_1 + 10 \log \frac{\pi r_1^2}{\Delta l \cdot a}. \quad (14)$$

Tento výraz lze ještě dále upravit, dosadíme-li za hodnotu

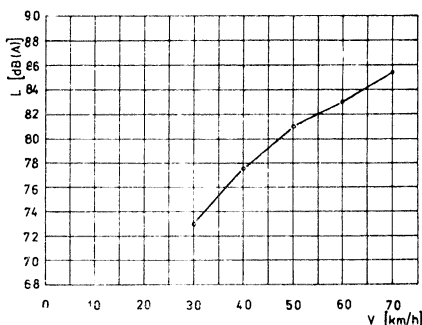
$$\Delta l = \frac{v}{n}, \quad (15)$$

kde  $n$  je počet vozidel, projíždějících kontrolním místem za hodinu.

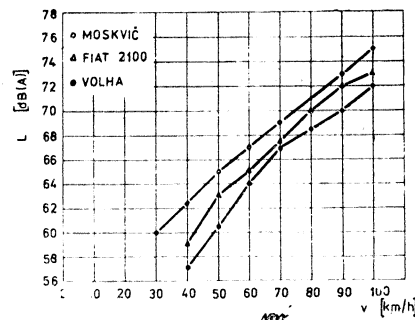
$$L_{\text{Aeq}} = L_1 + 20 \log r_1 + 10 \log \frac{\pi \cdot n}{v \cdot a}. \quad (16)$$

Odrozený vztah je pozoruhodný tím, že ekvivalentní hladina hluku klesá o 3 dB při zdvojnásobení vzdálenosti pozorovatele od osy dopravního proudu.

Budeme-li znát hladiny hluku, které vytvářejí určité druhy vozidel ve vzdálenost  $r_1$ , můžeme vztahy (14) a (16) použít při výpočtu potřebných ochraňných vzdáleností. Takové údaje nám například dávají diagramy na obr. 4 a 5. Z těchto diagramů lze odečítat hladiny hluku při průjezdu automobilů ŠKODA 706 RT, Moskvič a Volha M-21 V, v závislosti na jejich rychlosti. Údaje byly naměřeny ve vzdálenosti  $r_1 = 7,5$  m od osy vozovky.



Obr. 4. Hluk nákladních automobilů ŠKODA 706 RT ve vzdálenosti 7,5 m od osy dopravního proudu.



Obr. 5. Hluk osobních automobilů ve vzdálenosti 7,5 m od osy dopravního proudu.

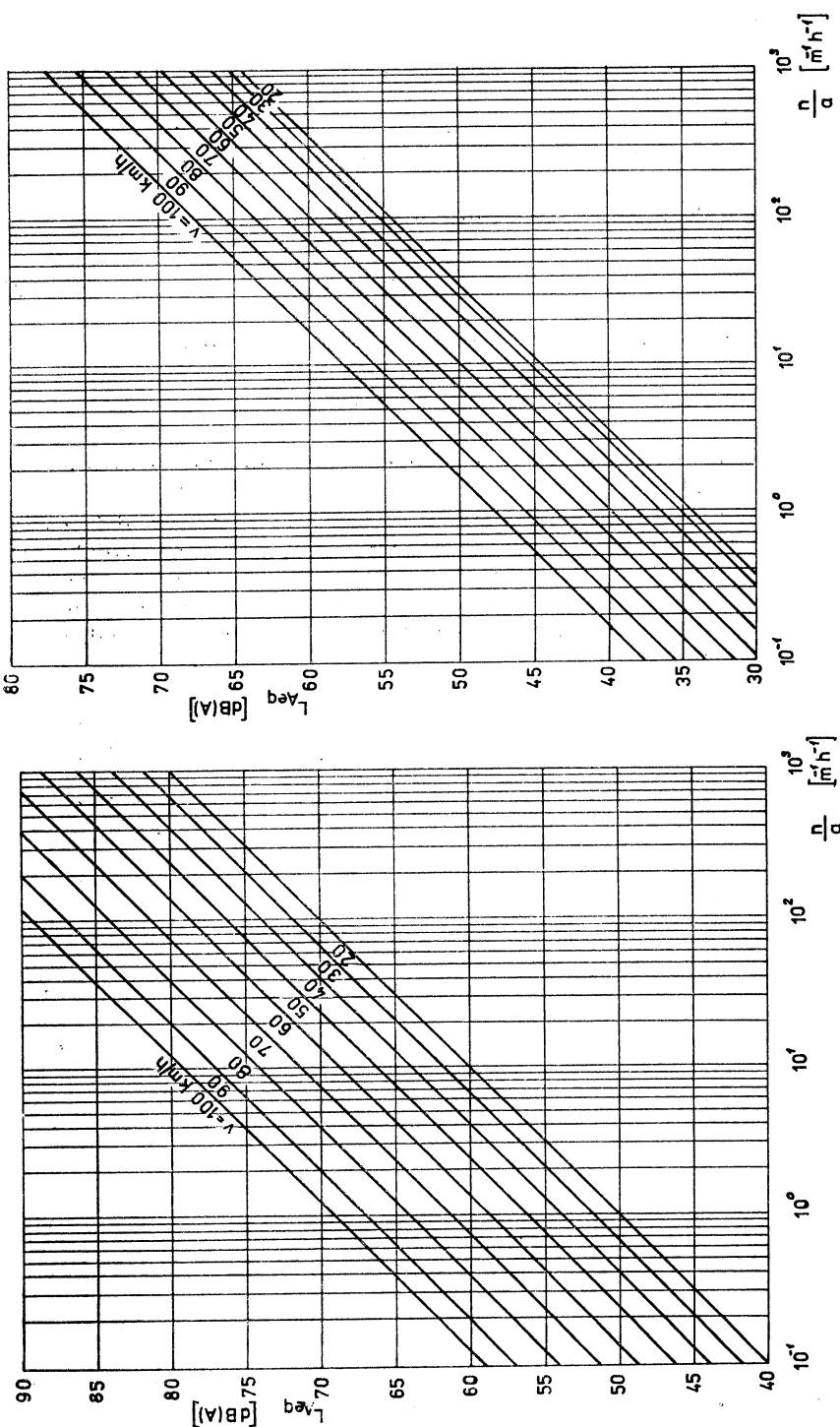
Nabradíme-li průběhy hladin lineární závislostí na rychlosti pohybu, dostaneme pro nákladní vozidla ŠKODA 706 RT výraz

$$L_1 = 64 + \frac{v_{\text{km}}}{3}, \quad (17)$$

a pro osobní automobil Moskvič vztah

$$L_1 = 50 + 0,25 \cdot v_{\text{km}}. \quad (18)$$

Dosazením těchto hodnot do rovnice (16) získáme výrazy pro výpočet ekvivalentní hladiny hluku od uvedených osobních i nákladních automobilů.



Obr. 6. Ekvivalentní hladina hluku vyuvolaná nákladními automobily ŠKODA 706 RT.

Obr. 7. Ekvivalentní hladina hluku od osobních automobilů.

Pro vozidla typu Moskvič platí

$$L_{Aeq} = 42,5 + 0,25 v_{km} + 10 \log \frac{n}{v \cdot a} \quad (19)$$

a pro nákladní auta typu ŠKODA 706 RT

$$L_{Aeq} = 56,5 + \frac{v_{km}}{3} + 10 \log \frac{n}{v \cdot a}. \quad (20)$$

Provedeme-li srovnání těchto dvou posledních vztahů, zjistíme, že při stejně rychlosti pohybu vozidel po vozovce je z hlediska hlučnosti jeden nákladní automobil ŠKODA 706 RT stejně hlučný při rychlosti 50 km/h, jako 65 osobních vozů Moskvič a při 60 km/h již jako 80 těchto vozů.

Vztahy (19) a (20) jsou graficky znázorněny v diagramu na obr. 6. a obr. 7.

### 3. HODNOCENÍ DOPRAVNÍHO HLUKU

V ČSSR je základním kritériem při hodnocení dopravního hluku ve venkovním prostoru hygienický předpis č. 32 „Směrnice o ochraně zdraví před nepříznivými účinky hluku“, který je platný od 1. 6. 1967.

Hodnocení hluku ve venkovním prostoru se provádí podle § 9, kde je stanovována nejvyšší příspustná hodnota hluku základní hladinou hluku  $L_z = 50$  dB (A) s přičtením korekcí přihlížejících k místním podmínekám, k provozu a trvání hluku a k denní době. V tomto hygienickém předpisu není uvažováno hodnocení pomocí ekvivalentní hladiny hluku. Denní praxe si však vynucuje, aby v tomto směru byla provedena úprava hygienického předpisu. Vede k tomu i ta skutečnost, že hodnocení podle maximálních hladin hluku je velmi problematické, neboť v případě dopravního hluku nejsou tzv. maxima srovnatelná.

V případech hodnocení dopravního hluku, kdy nebylo možné se vyhnout použití ekvivalentní hladiny hluku, se ze strany hygienické služby obvykle bere za maximálně příspustnou hodnotu hladiny hluku bez uvažování korekce přihlížející k povaze hluku. Zde se naskytá otázka, jak se od sebe mohou lišit v praxi hodnocení podle maximálních a ekvivalentních hladin hluku.

Pokusme se tento případ analyzovat. Podle schématu na obr. 3 je možno vyjádřit maximální hladinu hluku v místě pozorovatele na základě superpozice všech zdrojů hluku nacházejících se na vozovce ve tvaru

$$L_{max} = 10 \log \left[ 10^{\frac{L_1}{10}} \cdot \left( \frac{r_1}{a} \right)^2 + 2 \sum_{i=1}^{\infty} 10^{\frac{L_i}{10}} \cdot \frac{r_i^2}{a^2 + i^2 \Delta l^2} \right]. \quad (21)$$

Upravíme-li tento výraz, můžeme psát

$$L_{max} = L_1 + 20 \log \frac{r_1}{a} + 10 \log \left[ 1 + 2 \sum_{i=1}^{\infty} \frac{1}{1 + i^2 \left( \frac{\Delta l}{a} \right)^2} \right]. \quad (22)$$

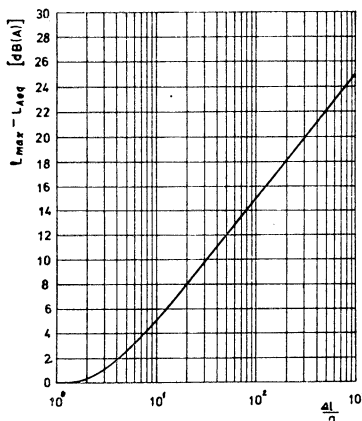
Porovnejme nyní tento vztah se vztahem pro výpočet ekvivalentní hladiny. Upravme nejprve vztah (14) na tvar

$$L_{Aeq} = L_1 + 20 \log \frac{r_1}{a} + 10 \log \frac{\pi \cdot a}{\Delta l}. \quad (23)$$

Odečteme-li nyní od sebe vztahy (22) a (23) získáme rovnici

$$L_{\max} - L_{Aeq} = 10 \log \left[ \frac{1}{\pi} \frac{\Delta l}{a} \left( 1 + 2 \sum_{i=1}^{\infty} \frac{1}{1 + i^2 \left( \frac{\Delta l}{a} \right)^2} \right) \right]. \quad (24)$$

Její grafický průběh je na obr. 8, který názorně ukazuje, jaký je rozdíl mezi maximální a ekvivalentní hladinou při určitém poměru vzdálenosti mezi vozidly  $\Delta l$  a vzdáleností  $a$  pozorovatele od osy dopravního proudu. Dosadme ještě do rovnice (24) z rovnice (15), abychom získali závislost na rychlosti dopravy a počtu vozidel, které projedou kontrolním místem za hodinu.



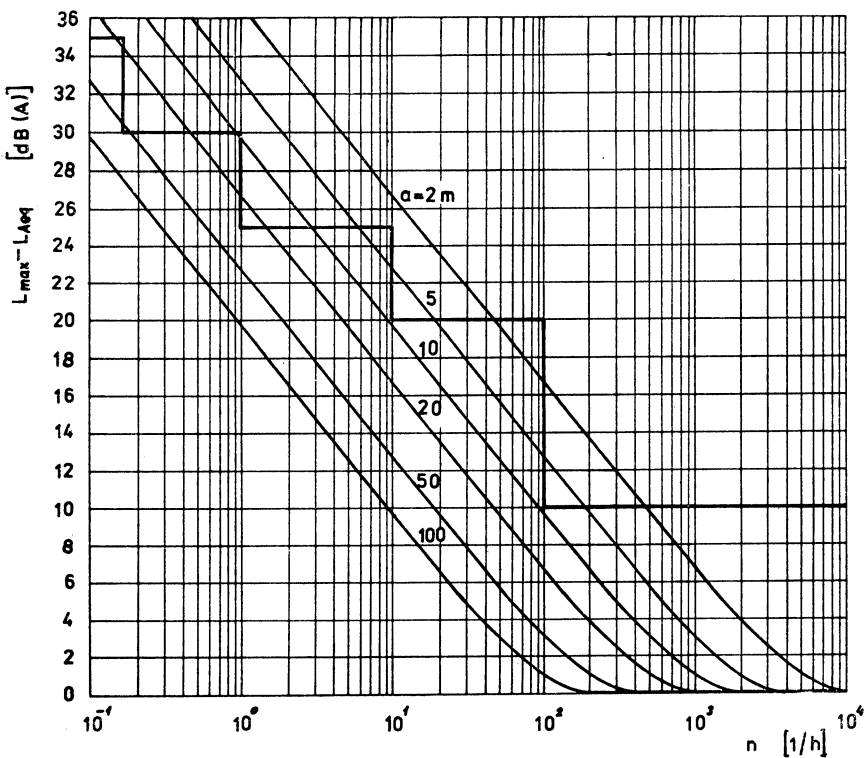
Obr. 8. Rozdíl maximální a ekvivalentní hladiny v závislosti na hustotě dopravy a vzdálenostech pozorovatele od osy dopravního proudu.

$$L_{\max} - L_{Aeq} = 10 \log \left[ \frac{1}{\pi} \frac{v}{a \cdot n} \left( 1 + 2 \sum_{i=1}^{\infty} \frac{1}{1 + i^2 \cdot \left( \frac{v}{a \cdot n} \right)^2} \right) \right]. \quad (25)$$

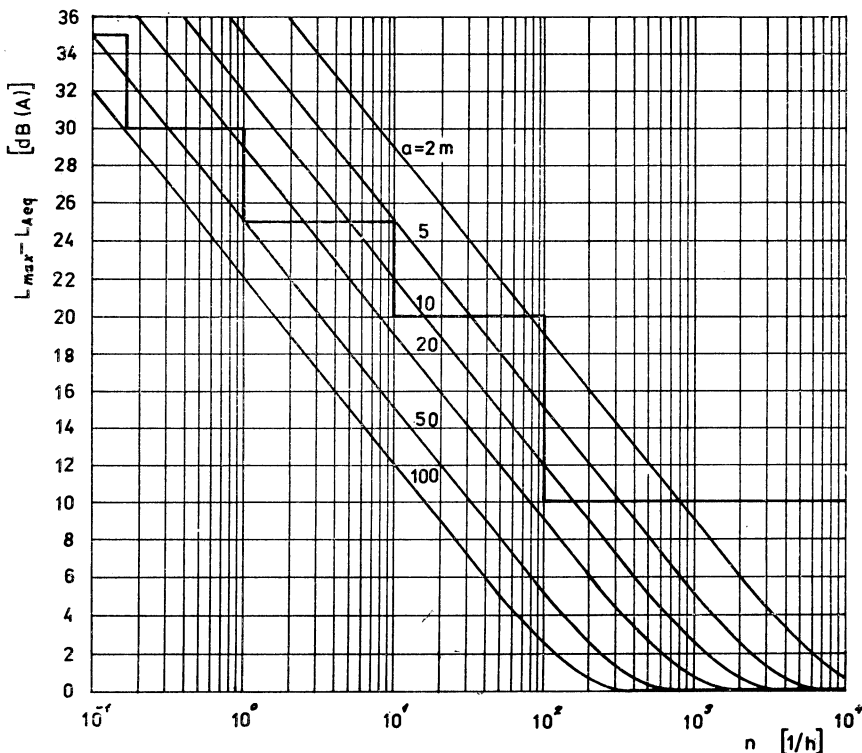
Na základě této rovnice byly sestaveny diagramy uvedené na obr. 9, 10, 11. Jsou v nich vyneseny jednak závislosti mezi rozdílem maximální a ekvivalentní hladiny pro různé rychlosti a vzdálenosti od osy dopravního proudu na intenzitě dopravy, jednak hodnoty korekcí na povahu hluku ve venkovním prostoru podle hygienického předpisu č. 32.

Z diagramů je zřejmé, že pro určité kombinace rychlosti dopravy, vzdálenosti, jakož i průjezdy vozidel vykazuje hodnocení pomocí maximálních hladin příznivější hlukovou situaci, než při hodnocení ekvivalentní hladinou. Jedná se o všechny body pod lomenou čarou vyznačující korekcí na povahu hluku. Naopak tomu je pro body nad touto čarou.

V noční době, zejména mezi 2. hodinou a 4. hodinou ranní, kdy je minimální dopravní ruch v ulicích měst [4], vychází příznivější hluková situace hodnocením přes ekvivalentní hladinu.



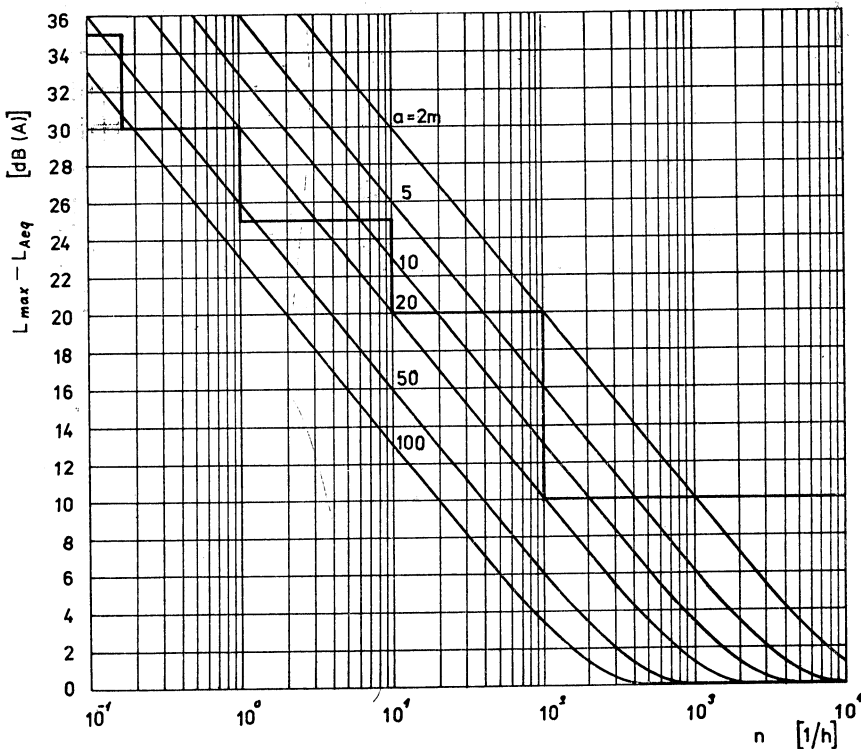
Obr. 9. Rozdíl maximální a ekvivalentní hladiny hluku v závislosti na intenzitě dopravy při rychlosti dopravy  $v = 30 \text{ km/h}$ .



Obr. 10. Rozdíl maximální a ekvivalentní hladiny hluku v závislosti na intenzitě dopravy při rychlosti dopravy  $v = 50 \text{ km/h}$ .

Zvlášť velké rozdíly v hodnocení vycházejí pro malé vzdálenosti od osy dopravního proudu a pro vyšší rychlosti jízdy, které v noční době také vyhláška o dopravních předpisech neomezuje.

V době dopravních špiček, kdy v městských ulicích projíždí velký počet vozidel při poměrně malých rychlostech, se zmenšuje rozdíl mezi maximální a ekvivalentní hladinou hluku, takže je příznivější hodnocení podle maximální hladiny pro kterou platí korekce + 10.



Obr. 11. Rozdíl maximální a ekvivalentní hladiny hluku v závislosti na intenzitě dopravy při rychlosti dopravy  $v = 70$  km/h.

#### 4. ZÁVĚR

Z uvedených poznatků vyplývá především nutnost doplnění hygienického předpisu č. 32 o hodnocení dopravního hluku pomocí ekvivalentní hladiny. Zároveň bude třeba uvést v soulad hodnoty korekcí na povahu hluku s uvedenými závislostmi mezi ekvivalentní a maximální hladinou. To přispěje především k jednotnějšímu posuzování huku jak v ulicích měst, tak i v okolí chráněných oblastí.

## POUŽITÁ OZNAČENÍ

- $a$  — vzdálenost pozorovatele od osy dopravního proudu [m],  
 $i$  — index [—],  
 $\Delta l$  — vzdálenost mezi vozidly [m],  
 $L$  — hladina hluku [dB (A)],  
 $\bar{L}$  — průměrná hladina hluku [dB (A)],  
 $L_{Aeq}$  — ekvivalentní hladina hluku [dB (A)],  
 $n$  — intenzita dopravy [1/h],  
 $p$  — relativní četnost [—],  
 $p(L)$  — hustota pravděpodobnosti [—],  
 $q$  — faktor [—],  
 $r$  — vzdálenost [m],  
 $T$  — perioda [s],  
 $v$  — rychlosť [m/s],  
 $v_{km}$  — rychlosť [km/h],  
 $\tau$  — čas [s],  
 $\sigma$  — směrodatná odchylka [dB (A)].

## LITERATURA

- [1] Zelený: Hlukové poměry hl. m. Prahy.  
[2] Technical Review No 1/64; Statistical Distribution analysis.  
[3] Prukov, B.: Šumozáščita v gradostrojitelství, Moskva 1966.  
[4] Nový, R.: Výpočet ekvivalentní hladiny dopravního hluku. Kandidátská disertační práce, ČVUT, 1971.  
[5] Schreiber, L.: Zur Berechnung des energie-äquivalenten Dauerschallpegels der Verkersgeräusche von einer Strasse. Akustika, s. 21, 1969.  
[6] Lübecke, E.: Zusammenfassung von Schallpegeln verschiedener Höhe zu einem äquivalenten Dauerpegel, VDI-Berichte.  
[7] Hygienický předpis č. 32: Směrnice o ochraně zdraví před nepříznivými účinky hluku.  
[8] Nový, R.: Rozbor hlukové situace v ulicích měst na základě analýzy dopravního hluku. Zdravotní technika a vzduchotechnika, 1974/1.

## ОЦЕНКА ТРАНСПОРТНОГО ШУМА С ПОМОЩЬЮ ЭКВИВАЛЕНТНОЙ УРОВНЯ ШУМА

Инж. Р. Новы, к. т. н.

В статье проводится анализ проблематики соединеної с оценкой транспортного шума по чехословацкому гигиеническому предписанию № 32. Для разных случаев транспортных интенсивностей сравнивается оценка шума по максимальных и эквивалентных уровням. Полученные результаты можно использовать в законодательных предписаниях из области транспортного шума.

## VALUING THE TRAFFIC NOISE BY EQUIVALENT NOISE LEVEL

Ing. Richard Nový, CSc.

The author analyses some problems connected with valuing the traffic noise by equivalent noise level with regard to the Czechoslovak Health Regulation Nr. 32. For various traffic densities the noise valuation by maximal or by equivalent noise levels have been compared. The respective results may be used in legislative regulations concerning traffic noise.

## AUSWERTUNG DES STRASSENVERKEHRS LÄRMES MITTELS EQUIVALENTER LÄRMPEGEL

Ing. Richard Nový, CSc.

Der Verfasser analysiert die Problematik der Auswertung des Strassenverkehrslärmes mittels äquivalenter Lärmpegels, und zwar mit Rücksicht auf die Tschechoslowakische Vorschrift Nr. 32. Für verschiedene Strassenverkehrsichten vergleicht der Verfasser die Lärmabschätzungen nach maximalen oder äquivalenten Pegeln. Die Resultate davon kann man in legislativen Vorschriften bezüglich des Strassenlärmes ausnutzen.

## ÉVALUATION DU BRUIT DE TRANSPORT À L'AIDE D'UN NIVEAU DE BRUIT ÉQUIVALENT

Ing. Richard Nový, CSc.

Dans l'article présenté, on fait une analyse du problème allié avec une évaluation du bruit de transport à l'aide d'un niveau de bruit équivalent à l'égard du règlement hygiénique tchécoslovaque No 32. Pour différents cas des intensités de transport, on compare une évaluation du bruit suivant les niveaux maximaux et équivalents. On peut appliquer les résultats obtenus dans les règlements législatifs concernant le bruit de transport.

---

### • ČSN 03 8211 Měření znečištění atmosféry kysličníkem siřičitým

Charakteristickou agresivní složkou především městské a průmyslové atmosféry je kysličník siřičitý, který je také jedním z rozhođujících činitelů koruze technických materiálů. Sledování jeho obsahu v ovzduší je významné pro získání přehledu o rozložení a časovém průběhu koncentrace, určení stupně agresivity atmosféry ve sledovaných oblastech a prognózy korozní odolnosti materiálu a povrchových úprav. Údajem pro posouzení agresivity atmosféry je okamžitý obsah kysličníku siřičitého v ovzduší, vyjádřený v  $\text{mg} \cdot \text{m}^{-3}$ , jeho střední denní hodnota vyjádřená v  $\text{mg} \cdot \text{m}^{-3}$  a množství kysličníku siřičitého, které se nadsorbuje za určitou dobu na povrchu, vyjádřené v  $\text{mg} \cdot \text{m}^{-2}$  nebo  $\text{mg} \cdot \text{m}^{-2} \cdot \text{d}^{-1}$ .

S účinností od 1. března 1975 byla vydána nová čs. norma pro stanovení obsahu kysličníku siřičitého v ovzduší při posuzování korozní agresivity atmosféry podle ČSN 03 8203. Pro výše uvedené účely se kysličník siřičitý určuje třemi způsoby:

Metoda adsorpčního kumulativního stanovení spočívá v adsorpci kysličníku siřičitého, spadu kyseliny sírové a rozpustných síranů na povrchu porézních papírových desek napojených uhlíčitanem sodným. Silně alkalický povrch desky váže jak síranové ionty, tak i molekuly kysličníku siřičitého pronikající k povrchu, jež se částečně samovolně oxiduje rovněž na síran. Veškeré adsorbované sloučeniny síry se stanovují vážkově jako síran barnatý. Tento postup je vhodný pro dlouhodobé měření kysličníku siřičitého v místech, kde je

nutné sledovat stupeň agresivity atmosféry a vystihuje její bezprostřední vliv na korozní znehodnocení kovových a jiných materiálů. Vzhledem k podstatě měření je tato metoda pracovně nenáročná.

Při metodě krátkodobého kumulativního stanovení se kysličník siřičitý pohlcuje v roztoce chlorortutnatamu sodného s přídavkem chelatonu 3. Vzniklá sloučenina reaguje v kyselém prostředí s fuchsinem a formaldehydem za vzniku červenofialového zabarvení, jehož intenzita je úměrná množství zachyceného kysličníku siřičitého. Stanovení se provádí kolorimetricky. Tato metoda poskytuje obraz o koncentračních změnách kysličníku siřičitého. Vyžaduje každodenní obsluhy a je pracovně náročnější.

Při třetí metodě průběžného měření absolutní koncentrace (coulometrické) se vzduch obsahující kysličník siřičitý uvádí konstantní rychlosťí do styku s elektrolytem, který obsahuje účinnou složku, kterou kvantitativně redukuje. V elektrolytické cele se účinná složka opět oxiduje na původní formu a protékající elektrický proud, úměrný obsahu kysličníku siřičitého ve vzduchu se registruje mikroampérmetrem. Metoda zachycuje okamžité výkyvy v koncentraci kysličníku siřičitého, vyžaduje pravidelnou kontrolu a časté ověřování měřicího systému.

V příloze dvanáctistránkové normy je uveden přehled způsobů vyjadřování koncentrací a převodní vztahy mezi váhovou a objemovou koncentrací a mezi jednotkou ppm a  $\text{mg/l}$ .

Zpracovatelem normy je Státní výzkumný ústav ochrany materiálu v Praze.

(tes)

## STAV A PERSPEKTIVY SPOLUPRÁCE ZEMÍ ŘVHP V OBLASTI MĚŘENÍ A HODNOCENÍ PRAŠNOSTI V PRACOVNÍM OVZDUŠÍ

*Ing. Jaroslav Šimeček, CSc.*

V r. 1973 byla zahájena spolupráce sedmi socialistických zemí v oblasti měření a hodnocení netoxických prachů v pracovním ovzduší. Konečným cílem spolupráce je vypracovat návrh standardních metod měření a sjednocení hodnot NPK (nejvyšších přípustných koncentrací) prachu. Článek uvádí stručný přehled metodiky měření v jednotlivých zemích, hlavní zásady další činnosti a úkoly, které je nutno ještě řešit. Na základě srovnávacích měření celkové koncentrace prachu, obsahu respirabilní frakce a křivek frakční propustnosti se hodnotí funkce každého z pěti zkoušených typů dvoustupňových prachoměrů (čs. DP-20 a DP-50, bulharský přístroj, německý SPG-10 a britský BCIRA) a navrhují se možnosti dalšího postupu spolupráce, navázané v této oblasti.

### 1. Úvod

Z iniciativy Centrálního ústavu pracovního lékařství NDR (Zentralinstitut für Arbeitsmedizin der DDR — dále jen ZAM) byla v květnu r. 1973 svolána do Berlína porada zástupců ústavů hygieny práce socialistických zemí, pracujících v oblasti měření a hodnocení netoxických prachů v pracovním ovzduší. Porady se zúčastnili pracovníci těchto zemí: BLR (2), ČSSR (1), MLR (1), NDR (7), PLR (2) a RSR (2). Pro krátkost termínu se svolané porady nemohly zúčastnit zástupci moskevského Ústavu hygieny práce a nemocí z povolání; později však sovětí zástupci vypracovanou zprávu a usnesení o jednání rovněž schválili a připojili se k navázané spolupráci.

Během čtyřdenní porady byly předneseny dvě tématické skupiny referátů, byla vypracována zpráva o výsledcích jednání a mezi jednotlivými účastníky byly rozděleny konkrétní úkoly do r. 1980, které je nutno řešit dříve, než bude možno přistoupit ke konečnému cíli spolupráce — vypracování návrhu standardních metod měření a hodnocení netoxických pevných aerosolů v pracovním ovzduší ve formě „doporučení“ (Recommended Standards). Dále bylo dohodnuto, aby se další porady uskutečňovaly v pravidelných dvou- až tříletých intervalech (2. porada se má konat v II. pololetí r. 1976 v Sofii).

Přenesené referáty a usnesení porady (bez diskusních příspěvků) byly publikovány v samostatném čísle časopisu [1]. Účelem tohoto příspěvku je seznámit se současným stavem metodiky měření prašnosti na pracovištích v jednotlivých zemích, se směrnicemi o nejvyšších přípustných koncentracích prachu a s dohodnutými zásadami a úkoly. Ve stručné formě chceme kromě toho informovat o výsledcích až dosud uskutečněných experimentálních prací a o dalším vývoji spolupráce v této oblasti.

### 2. Současný stav metodiky měření prašnosti

V první skupině referátů uvedli zástupci přehled o situaci v metodice měření prašnosti na pracovištích, stavu přístrojového vybavení, o způsobech hodnocení prašného rizika a hodnotách NPK ve svých zemích.

Druhá skupina přednášek se zabývala problémy, se kterými se setkáváme při standardizaci metod měření a které bude nutno ještě řešit. Jde zejména o srovnatelnost výsledků stanovení celkové koncentrace prachu, obsahu jemné (respirabilní) frakce, obsahu volného SiO<sub>2</sub>, eventuálně dalších parametrů, potřebných pro posouzení rizikovosti prachu. Neméně důležité jsou otázky strategie odběru vzorků prachu (tj. volba místa odběru, doby odběru a počtu odebraných vzorků), dále chyb měření jednotlivých parametrů prašnosti a celkové koncepce směrnice o NPK pro prachy s fibrogenním účinkem. Protože tyto práce byly publikovány [1], uvedeme jen stručný přehled o současném stavu.

Ve většině zemí ŘVHP se na stanovení koncentrace prahu v pracovním ovzduší používají gravimetrických (váhových) metod, vyjadřujících koncentraci v mg prachu v m<sup>3</sup> vzduchu. Používá se při tom různých druhů filtračních materiálů, především plochých membránových filtrů (čsl. nebo sovětské produkce) a filtrů z organických mikrovláken (čsl. typu AFPC nebo sovětských FPP-15). Výjimečně se používá filtrů papírových, filtrů ze skleněných vláken nebo tvarovaných. Průměry filtrů jsou v jednotlivých zemích standardizovány, vzájemně se však liší. Rovněž

průtoky vzduchu při odběru vzorků se podle zdrojů sání liší a kolísají v rozmezí asi od 10 do 50 l/min. V NDR se prašnost na pracovištích dosud standardně měří konimetricky (konimetrem Zeiss 10) v počtu prachových častic v cm<sup>3</sup> vzduchu. Jakmile bude zajištěna sériová výroba vlastních, v ZAM vyvinutých dvoustupňových přístrojů SPG (Staubprobabenahmegerät), přejde se v NDR rovněž ke gravimetrii. V MLR a RSR se používá jak váhových, tak konimetrických metod, potřebné přístroje se zajišťují dovozem.

Při měření prachů s fibrogenním účinkem se plně uplatňuje tzv. dvoustupňový odběr vzorků prachu, při němž se prach již při odběru vzorků z ovzduší automaticky třídí na dvě velikostní frakce — respirabilní a nerеспirabilní. Metoda umožňuje kromě koncentrace posoudit také velikostní složení polétavého prachu a poskytuje tak další cennou informaci o rizikovosti prachu. V socialistických státech existují v současné době čtyři typy dvoustupňových přístrojů: v ČSSR se při běžném hygienickém dozoru už několik let jako metod „doporučených“ (od r. 1976 mají být metodami standardními) používá dvou typů dvoustupňových prachoměrů DP-20 (průtok 20 l/min) a DP-50 (průtok 50 l/min). Přístroj DP-50 je určen především pro měření v uhelých dolech. Principiálně stejný typ přístroje se několik let používá v BLR (40 l/min). U všech tří typů dvoustupňových přístrojů se k třídění odebíraného vzorku na dvě velikostní frakce používá stejného principu třídění — odstředivého třídění pomocí cyklónu. Vstup vzduchu do cyklónu je radiální, usměrněný vyjmátkovým vývěrkem se čtyřmi naváděcími lopatkami. Čtvrtý typ označený jako SPG-10 (dřívější označení Gravimeter), byl navržen a v několika prototypech vyroben v ZAM. Podle předaného prototypu bude v NDR v nejbližší době zahájena jeho sériová výroba. Přístroj pracuje při průtoku 10 (druhá alternativa 20) m<sup>3</sup>/h, k třídění se používá cyklónu s tagenciálním vstupem; k zachycení jemné (respirabilní) frakce je zde využito kombinovaného účinku filtrace a elektroprecipitace. Jen ve zcela ojedinělých případech používají v MLR anglický dvoustupňový přístroj pro personální odběr vzorků prachu firmy Casella.

Velmi obtížná bude standardizace metod pro stanovení velikostního složení a obsahu fibrogenních složek (křemen, kristobalit, tridymit) v prachu. V různých zemích se používá různých metod a přístrojů, za různých podmínek přípravy a vyhodnocení vzorků. Získané výsledky měření jsou pak těžko srovnatelné.

Kvalita pracovního ovzduší se hodnotí srovnáním výsledků měření s hodnotami NPK. Ke gravimetrickým metodám měření

přísluší NPK rovněž v údajích váhových. Ze srovnání směrnice o NPK tuhých aerosolů jednotlivých zemí vyplývá, že příslušné hodnoty NPK se čím dálé tím více blížují a vzájemně se liší jen zcela bezvýznamně. NPK se přitom týkají celkové koncentrace prachu v ovzduší; pro různé druhy prachu se předepisují různé hodnoty NPK a podle rizikovosti prachu kolísají v rozmezí od 1 do 10 mg/m<sup>3</sup>. Zásadní rozdíl existuje však v pojetí NPK: zatímco v SSSR se předepsané NPK považují za hodnoty maximální a nepřekročitelné, považujeme je u nás, v BLR a PLR za celosměnné průměrné hodnoty.

Pro prachy s fibrogenním účinkem se perspektivně počítá se zavedením dvou hodnot NPK, a to jak pro celkovou koncentraci, tak pro koncentraci respirabilní frakce.

### 3. Hlavní zásady a úkoly

Na závěr porady bylo doporučeno, aby se v další činnosti vycházelo z těchto zásad:

a) Měření prašnosti pro účely hygienického hodnocení netoxických prachů na pracovištích je třeba provádět zásadně gravimetricky. U prachů se specifickými morfologickými vlastnostmi (jako je např. azbest) je možné připustit jisté výjimky.

b) Při hodnocení prachů s fibrogenním účinkem je třeba gravimetrické měření provádět dvoustupňově. Hrubou a jemnou frakci je nutno při odběru zachytit jednotlivě tak, aby se získaly dva samostatné vzorky při současně možnosti vyhodnocení celkové koncentrace prachu.

c) K zajištění vzájemné srovnatelnosti výsledků u měření dvoustupňových přístrojů, musí souhlasit celkové odlučivosti předodlučovačů hrubé frakce. Frakční odlučivosti prvních stupňů musí být voleny tak, aby ležely v pásmu stanovené tolerance. K převodu dosažených výsledků měření je třeba experimentálně určit potřebné převodní faktory. Při všech návrzích je třeba vycházet z příslušných doporučení mezinárodních organizací WHO a ILO.

d) Používat předodlučovačů na principu setrvatnosti (především cyklónů).

e) Systém hodnocení prachu pomocí NPK musí být ve všech zemích stejný. Hodnoty NPK pro fibrogenní prachy by se mely týkat jemné (respirabilní) frakce. Nezávisle na obsahu fibrogenních složek by měla být prašnost omezena také celkovou koncentrací.

f) Obsah fibrogenních složek (křemen, kristobalit, tridymit) stanovovat z respirabilní frakce prachu.

g) K stanovení fibrogenních složek je možno použít různých analytických metod, pokud budou poskytovat s dosud neurčenou

standardní metodou vzájemně srovnatelné výsledky měření.

h) Stanovit jednotné požadavky na strategii měření.

Kromě dohodnutých obecných zásad, je ve zprávě z porady citováno celkem 10 úkolů, které je nutno před definitivním zpracováním návrhu jednotlivých metod řešit. U každého zadaného úkolu jsou uvedeny: cíl úkolu se stručnou anotaci, vedoucí (zodpovědné) pracoviště, spolupracující pracoviště a termíny řešení jednotlivých etap [1]. Jednotlivé úkoly se týkají těchto problémů:

1. Získání podkladů pro stanovení frakční propustnosti cyklónů, odpovídající zachycování prachu v plnicích;

2. Vypracování základních požadavků na způsoby měření a měřicí přístroje;

3. Provedení srovnávacích měření s různými typy dvoustupňových prachoměrů za účelem jejich kalibrace a vypracování zkušebního předpisu;

4. Srovnání různých analytických metod na stanovení obsahu fibrogenních složek v prachu a návrh standardní analytické metody pro rutinní měření těchto složek v respirabilní frakci prachu;

5. Zhodnocení zkušeností, týkajících se režimu a strategie odběru vzorků na pracovištích;

6. Sjednocení hodnot NPK pro netoxicke prachy;

7. Sjednocení způsobů měření a hodnocení vláknitých druhů prachu, zvláště azbestu;

8. Vypracování programu pro dlouhodobý epidemiologický průzkum výskytu prašných onemocnění plic ve vybraných průmyslových provozech;

9. Sledování vývoje a použitelnosti automatických metod na měření prašnosti pro účely hygieny práce;

10. Sledování vhodnosti použití osobních odběrových přístrojů.

Naše laboratoř byla určena jako vedoucí pracoviště pro dva úkoly (č. 3 a 6), na třech dalších úkolech spolupracuje (1, 7, 8).

#### 4. Experimentální zkušenosti

Jedním z úkolů (č. 3), který řešíme v úzké spolupráci s berlínským ZAM, je provedení laboratorních i terénních měření prašnosti se stávajícími typy přístrojů pro dvoustupňový odběr. Zatím byly uskutečněny dvě série srovnávacích měření v laboratorních podmínkách, tj. v pokusné prašné komoře. Účelem až dosud provedených měření bylo zjistit:

a) zda výsledky stanovení celkové koncentrace prachu jsou u všech typů přístrojů vzájemně srovnatelné,

b) zda obsah jemné (respirabilní) frakce nezávisí na koncentraci prachu, tj. zda odlučivost cyklónu zůstává konstantní, na koncentraci nezávislá,

c) jak se liší celkové a frakční odlučivosti (a tím i údaje o obsahu respirabilní frakce prachu) u jednotlivých dvoustupňových prachoměrů,

d) do jaké míry frakční propustnosti jednotlivých zkoušených přístrojů odpovídají mezinárodně požadovaným standardům.

Protože podrobné výsledky experimentálních prací budou publikovány a jsou obsaženy v závěrečné zprávě úkolu [3], uvedeme jen stručné závěry. Z dosažených výsledků srovnávacích měření vyplynula potřeba řešit některé další úkoly a naznačily se možnosti dalšího postupu navázанé spolupráce.

a) V rozmezí celkových koncentrací křemenného prachu od 35 do 300 mg . m<sup>-3</sup> byly srovnávány výsledky stanovení celkové koncentrace při současném a soumístném odběru vzorků pomocí čs. dvoustupňového prachoměru DP-20 [2], bulharského přístroje a německého SPG-10. Ukázalo se, že střední (aritmetické a geometrické) celkové koncentrace prachu byly u všech tří dvoustupňových prachoměrů téměř shodné (při 27 pokusech se lišily maximálně o 6 %). Statistickým zpracováním byla prokázána dobrá srovnatelnost výsledků měření celkové koncentrace prachu, nezávisle na použitém přístroji (koefficienty korelace byly vsemy vyšší než 0,98). Odchyly byly způsobeny jednak nestejným rozdělením koncentrace prachu v horizontální rovině prašné komory (tj. umístěním přístrojů), jednak chybami stanovení průtočného objemu vzduchu (přesnost použitych měřidel průtočného množství byla ± 5 %).

b) Za předpokladu, že disperzní složení prachu v pokusné komoře zůstává konstantní, na vstupní koncentraci nezávislé, mělo by platit, že také odlučivosti nebo propustnosti cyklónů jednotlivých přístrojů se v závislosti na koncentraci nemění. Statistickým využitím této závislosti bylo zjištěno, že propustnosti cyklónů u přístrojů DP-50, SPG-10 a bulharského přístroje skutečně zůstávaly konstantní. Výjimkou byl přístroj DP-20, u něhož se vztýkající celkovou koncentrací prachu hodnota celkové propustnosti mírně klesá (tj. celková odlučivost cyklónu vzrůstá). V rozmezí koncentrací od 30 do 300 mg . m<sup>-3</sup> došlo u DP-20 k poklesu propustnosti z 34 na 31,4 %, tj. o méně než 10 %.

c) Vzhledem ke konstrukčním, materiálovým i rozměrovým rozdílům jednotlivých cyklónů jsme očekávali, že jejich frakční i celkové propustnosti se vzájemně budou lišit. To znamená, že z každého přístroje dostaneme

také rozdílné výsledky o obsahu jemné (respirabilní) frakce prachu (je totožný s celkovou propustností cyklónu).

Celkové propustnosti byly sledovány u pěti dvoustupňových přístrojů: DP-20, DP-50, bulharského, SPG-10 a anglického BCIRA. Přístroj BCIRA je rozměrově malý, firmou C. F. Casella sériově vyráběný, přístroj s bateriovým pohonom pro personální odběr vzorků prachu. K třídění prachu je zde použito cyklónu s tangenciálním vstupem, jehož propustnost podle literárních údajů [4] odpovídá standardní křivce podle Johannesburgské konvence. U jednotlivých přístrojů byly zjištěny tyto aritmetické střední hodnoty obsahu respirabilní frakce prachu (celkové propustnosti): DP-20... 32,9 %, DP-50... 30,1 %, SPG-10... 48,9 %, bulharský... 24,3 % BCIRA... 59,0 %. Celkové propustnosti obou našich přístrojů DP-20 a DP-50 se lišily o méně než 10 %, rozdíly mezi ostatními přístroji jsou však značné.

U všech shora uvedených pěti typů dvoustupňových prachomérů byly zjištěny křivky frakční odlučivosti cyklónů. Pro každý přístroj bylo provedeno po šesti pokusech při různých koncentracích prachu; křivka frakční odlučivosti se počítala pro každý pokus zvlášt, z celkového počtu šesti pokusů byly pak nalezeny aritmetické střední a extrémní hodnoty frakční odlučivosti. Frakční odlučivost se zjišťovala mikroskopickými analýzami hrubého prachu z cyklónu a jemného prachu z filtru.

Ukázalo se, že křivky frakčních odlučivostí cyklónů jednotlivých přístrojů se významně liší. Charakteristickým parametrem odlučivosti cyklónu je tzv. mezní zrno (nebo mezní průměr). Je to velikost částice  $d_m$  v  $\mu\text{m}$ , odpovídající frakční odlučivosti 50 %. Byly zjištěny tyto hodnoty mezních průměrů  $d_m$ : DP-20... 3,7  $\mu\text{m}$ , DP-50... 3,7  $\mu\text{m}$ , B...3,3  $\mu\text{m}$ , SPG-10... 5,55  $\mu\text{m}$  a BCIRA... 6,6  $\mu\text{m}$ . Ze srovnání hodnot  $d_m$  u obou čsl. přístrojů DP-20 a DP-50 vyplývá dobrá shoda výsledků měření.

d) Aby byla zajištěna vzájemná srovnatelnost výsledků měření respirabilní koncentrace prachu u různých typů dvoustupňových prachomérů, byly doporučeny dvě mezinárodní standardní křivky (podle Johannesburgské konvence a podle konvence Los Alamos), které vycházejí z retence prachu v dolních cestách dýchacích a pro technické účely průběh retence approximují. Těmito mezinárodními standardy by měly odpovídat frakční propustnosti navržených prvních stupňů prachomérů.

Požadovaným standardním křivkám propustnosti (přepočteným z měrné hmotnosti  $\varrho = 1 \text{ g/cm}^3$  na  $\varrho = 2,6 \text{ g/cm}^3$  pro křemenný

prach) odpovídaly nejvíce bulharský cyklón pro průtok 40 l/min a oba naše prachoměry DP-20 a DP-50. Rozdíly mezi mezinárodními standardy a středními frakčními propustnostmi cyklónů u přístrojů SPG-10 a BCIRA byly značné. Překvapuje nepříznivý průběh frakční propustnosti britského přístroje BCIRA podle našich měření, neboť podle prospektových podkladů by měl přístroj mezinárodním standardům plně vyhovovat. Protože přístroj SPG-10 je prozatím ve stádiu prototypu, bylo by ještě možno jeho funkci zlepšit, např. zvětšením průtočného množství vzduchu.

## 5. Další postup spolupráce

Na základě provedených srovnávacích měření prašnosti s různými typy dvoustupňových přístrojů a našich dřívějších zkušeností s prachoměrem DP-20 [2] je možno konstatovat, že k mezinárodní standardizaci metod pro je možno konstatovat, že k mezinárodní standardizaci metod pro stanovení celkové koncentrace prachu, a tím i k návrhu jednotných NPK pro celkovou koncentraci, bylo možno přistoupit prakticky okamžitě. Při měření celkové koncentrace prachu různými metodami a přístroji, at už se jedná o jednostupňový nebo dvoustupňový odběr vzorků, docházíme k vzájemně dobře srovnatelným výsledkům měření. To znamená, že v různých státech je možno používat různých metod, bez ohledu na druh filtračního materiálu nebo průtočné množství vzduchu, přičemž jednu metodu je možno nahradit metodou druhou.

Nepoměrně složitější situace nastává při měření obsahu nebo koncentrace respirabilní frakce prachu. Vzhledem k různým frakčním odlučivostem prvních stupňů (cyklónů) zkoušených dvoustupňových prachomérů, dostáváme při měření téze prašnosti různé údaje o respirabilní koncentraci prachu. Výjimku tvoří do jisté míry oba čsl. prachoměry DP-20 a DP-50, které tím, že mají podobné křivky frakční propustnosti a stejně hodnoty mezního průměru ( $d_m = 3,7 \mu\text{m}$ ), poskytují přibližně stejné, vzájemně uspokojivě srovnatelné, výsledky měření obsahu nebo koncentrace respirabilní frakce.

V zájmu mezinárodní srovnatelnosti výsledků měření těchto veličin by bylo možno postupovat těmito způsoby:

1. V další práci experimentálně ověřit možnosti sjednocení frakční propustnosti přístrojů změnou průtočných možností vzduchu. Úspěch tohoto řešení nelze zatím předvídat. Další, a to velmi významnou, nevýhodou tohoto postupu je, že až dosud získané výsledky měření a nashromážděné zkušenosti, by změnou provozních parametrů a tím i změnou funkce přístroje, ztratily smysl. Nevýhoda

by postihla především ty státy, kde se už dvoustupňové měření prašnosti při běžném hygienickém dozoru používá delší dobu (ČSSR a BLR). Reálnější se proto zdají být další dvě možnosti.

2. Navrhnut v různých zemích různé hodnoty NPK pro koncentraci respirabilní frakce (pouze u prachů s fibrogenním účinkem), a to podle používaného typu dvoustupňového přístroje. Stejným způsobem postupovali např. ve švýcarských hygienických směrnících [5], kdy pro dva různé typy dvoustupňových prachoměrů s odlišnými charakteristikami se předepisují dvě různé hodnoty NPK pro respirabilní koncentraci.

3. Navrhnut ve všech zemích jednotné hodnoty NPK pro respirabilní koncentraci prachu s fibrogenním účinkem. Převod výsledků z jednoho typu přístroje na druhý by se prováděl pomocí experimentálně zjištěných prevodních faktorů.

4. Ve všech zemích používat jednotný typ přístroje. Je však třeba si uvědomit, že z existujících dvoustupňových prachoměrů není dosud žádný univerzální; např. DP-20 je vhodný pro krátkodobé, SPG-10 pro celosměnové měření prašnosti. Kromě toho je tento postup nákladný tím, že by bylo nutno vybavit přístrojově všechny hygienické stanice.

Standardizace metod měření a hodnocení

fibrogenních prachů v pracovním ovzduší si ještě vyžádá hodně úsilí. Jedním z nejbližších úkolů naší spolupráce s ZAM v Berlíně, bude sledování změn propustnosti cyklónů v závislosti na průtočném množství vzduchu, tj. experimentální ověření první možnosti postupu.

## Literatura

- [1] Informationen 14 — Staub-Sonderheft. ZAG. Technische Arbeitshygiene der Gesellschaft für Arbeitshygiene und Arbeitsschutz in der DDR. 1974
- [2] J. Šimeček: Zhodnocení dvoustupňového prachoměru DP-20. Zdrav. technika a vzduchotechnika 17 (1974), 3: 153—167.
- [3] J. Šimeček: Zhodnocení dvoustupňového odběru vzorků prachu. Závěrečná zpráva úkolu č. VII-13-2-3. IHE Praha, 1975. Pracovní lékařství, předáno do tisku.
- [4] R. I. Higgins, P. Dewell: A gravimetric size-selecting personal dust sampler. British Cast Iron Research Association, Alvechurch, Birmingham. Reprint BCIRA, report 908, s. 1—8, 1968.
- [5] Arbeitshygienische Grenzwerte — Stand 1971. Merkblatt 8. Schweizer. Unfallversicherungsanstalt, Luzern, 1971.

Recenzoval: Doc. Ing. Dr. Oppl, CSc.

## ● Reproduktory proti hluku

Hlukem proti hluku je nová deviza, s níž vystoupil pracovník laboratoře akustiky Státní pensylvánské univerzity Gerhard Reethov. Podle jeho názoru, který již začal ověřovat pokusy, utlumí se vzájemně dva hluky stejné akustické povahy, jejichž kmity jsou proti sobě vzájemně posunuty. Spolu s týmem spolupracovníků zkoušel tuto novou metodu

na plynových turbinách, tryskových motorech a ventilátorech klimatizačních zařízení.

K vytvoření „protihluku“ používá soustavu reproduktorů „Spinningmode-Synthesizer“, do nichž přivádí vhodné elektrické signály. Největšího úspěchu bylo zatím dosaženo u tryskového motoru, kde se tímto způsobem podařilo snížit hluk o 50 dB.

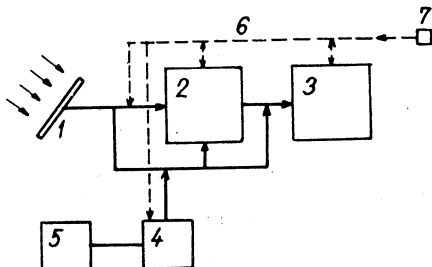
K + Ki 1/74

(Ku)

## VYTÁPĚNÍ S VYUŽITÍM SLUNEČNÍ ENERGIE

(Podle Fischer, A.: Sonnenenergie-Heizsysteme. Schweiz. Blätter für Heizung und Lüftung, 42, 1975 č. 1, s. 1—6).

Při hledání nových zdrojů energie se stále více začíná uvažovat také o přímém využití energie slunečního záření dopadajícího na povrch Země. Tato energie by mohla být za dnešního stavu vědy a techniky používána zejména pro úpravu klimatu budov, tj. pro vytápění a větrání. Zařízení pro vytápění sluneční energií by mělo tyto hlavní části (obr. 1):



Obr. 1. Schéma vytápěcího systému využívajícího energii slunečního záření (1 — kolektor, 2 — akumulátor tepla, 3 — vytápěcí soustava, 4 — pomocný ohřívák, 5 — zásobník na palivo, 6 — regulační systém, 7 — venkovní čidlo).

kolektor — zachycuje sluneční záření a absorbovaným teplem se pak ohřívá teplonosná tekutina (nejčastěji je to voda),

akumulátor tepla — slouží k vyrovnávání rozdílu mezi dodávkou a spotřebou tepla v průběhu časového cyklu,

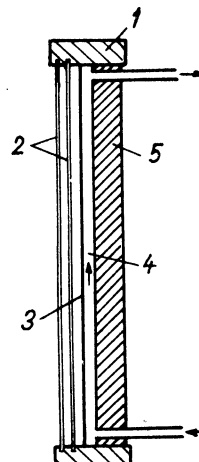
vytápěcí soustava (v podstatě se nelší od normálních otopných soustav),

ohřívák k dotápění — s použitím normálního paliva nebo elektrické energie ohřívá otopné médium v době, kdy je akumulátor prázdný,

regulační systém — řídí provoz zařízení podle zásoby tepla v akumulátoru, podle potřeby tepla pro vytápění a dále podle intenzity slunečního záření.

Kolektory mohou být a) s koncentrací slunečních paprsků, b) bez koncentrace slunečních paprsků. V prvním případě jde o tzv. sluneční pece, ve kterých lze podle stupně koncentrace paprsků dosáhnout teplot až 3 500°C. Pro vytápění se však vystačí s poměrně nízkými teplotami, a proto jsou pro tento účel vhodné kolektory bez koncentrace paprsků, tzv. ploché kolektory podle obr. 2. Přední krycí sklo těchto kolektorů musí dokonale propustět sluneční paprsky (do délky vlny 2 μm) a zadní strana musí být

tepelně izolována, aby teplota kolektoru při běhu naprázdno<sup>1)</sup> byla co nejvyšší, a tím účinnost kolektoru co největší.<sup>2)</sup>



Obr. 2. Plochý kolektor  
(1 — rám kolektoru,  
2 — skleněné desky,  
3 — absorpční plocha,  
4 — dutina se zahřívajoucí tekutinou, 5 — izolace).

Absorbovaný tepelný tok  $Q_{\text{abs.}}$  [W/m<sup>2</sup>] lze počítat z rovnice

$$Q_{\text{abs.}} = Q_{\text{dop.}}(1 - r) - k \cdot \Delta t, \quad (1)$$

kde  $Q_{\text{dop.}}$  je dopadající tepelný tok [W/m<sup>2</sup>];

$r$  — poměrná reflexe krycího skla ( $r \approx 0,1$ ),

$k$  — součinitel prostupu tepla přední strany kolektoru [W/m<sup>2</sup> K],

$\Delta t$  — rozdíl mezi teplotou kolektoru (absorpční plochy) a teplotou okolí [K].

U kolektoru s jedním krycím sklem lze předpokládat, že  $k = 6 \text{ W/m}^2 \text{ K}$  a u kolektoru se dvěma krycími skly  $k = 4 \text{ W/m}^2 \text{ K}$ . Pro tyto dvě hodnoty součinitele  $k$  je závislost užitečného tepelného výkonu kolektoru  $Q_K (= Q_{\text{abs.}})$  na intenzitě slunečního záření  $Q_S (= Q_{\text{dop.}})$  a na rozdílu teplot  $\Delta t = t_K - t_o$  znázorněna v diagramech na obr. 3. Při dané intenzitě slunečního záření  $Q_S$  je užitečný tepelný výkon kolektoru  $Q_K$  tím větší, čím menší je rozdíl teplot  $\Delta t$ , tj. čím nižší je

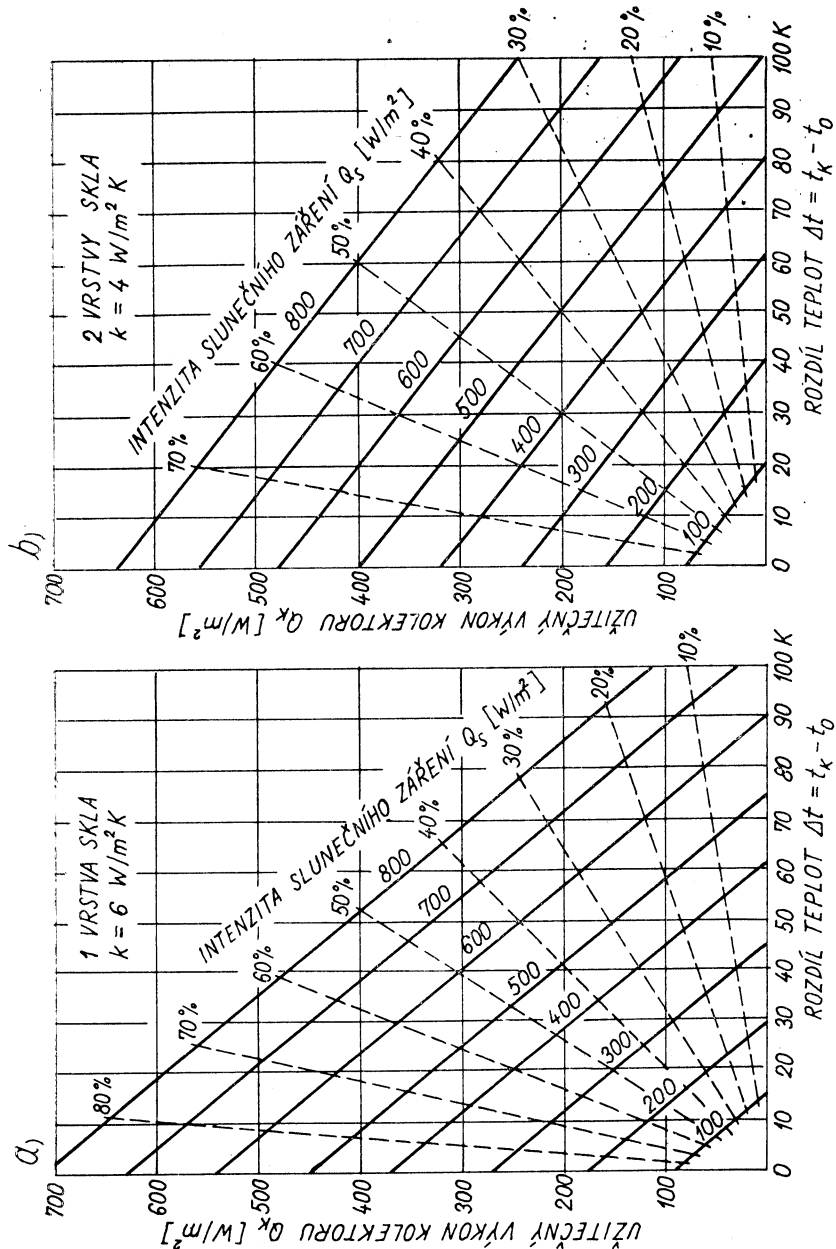
<sup>1)</sup> Při běhu naprázdno se tepelné ztráty kolektoru do okolí rovnají tepelnému toku dopadajícího slunečního záření.

<sup>2)</sup> Za účinnost kolektoru lze považovat poměr tepelných toků  $Q_{\text{abs.}}/Q_{\text{dop.}}$ , viz rovnice (1).

teplota  $t_K$ , se kterou pak je shodná i nabíjecí teplota akumulátoru. Nízká teplota  $t_K$  by ovšem vedla k příliš velkým a tedy i drahým akumulátorům, a proto se při volbě teploty

$t_K$  musí přihlížet jak k požadavkům na maximální účinnost kolektoru, tak také k investičním nákladům za akumulátor tepla.

Cihelka



Obr. 3. Závislost užitečného výkonu kolektoru  $Q_K$  [W/m<sup>2</sup>] na rozdílu mezi teplotou kolektoru a teplotou okolí  $\Delta t = t_K - t_0$   
 při různé intenzitě slunečního záření  $Q_s$  [W/m<sup>2</sup>]: a) pro kolektor s jednou vrstvou skla,  $k = 6 \text{ W/m}^2\text{K}$ ,  
 b) pro kolektor se dvěma vrstvami skla,  $k = 4 \text{ W/m}^2\text{K}$ .

## VENTILÁTORY RSF PRO MOKRÉ HLADINOVÉ ODLUČOVAČE

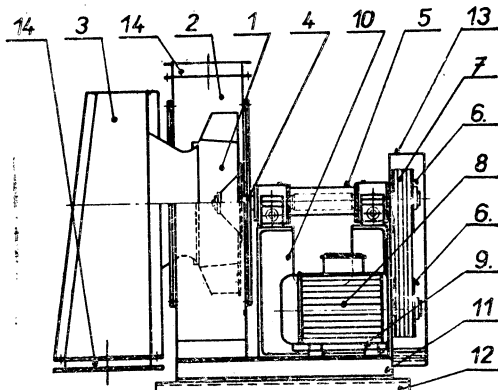
Mezi účinné odlučovače prachu patří mokré hladinové odlučovače, které vyrábí a dodává n. p. ZVVZ Milevsko. Při zavádění dokonalejších typů odlučovačů MHE a MHG bylo třeba nahradit staré ventilátory RSA dokonalejšími. Z toho důvodu byly vyvinuty a zavedeny do výroby nové ventilátory RSF, které vyrábí závod ZVVZ Prachatic.

### Popis a konstrukce

Ventilátor RSF (obr. 1) je řešen pro zabudování na horní část konstrukce mokrého hladinového odlučovače. Radiální středotlaký ventilátor se vyrábí ve velikostech 400, 630 a 1000 (cca  $\varnothing$  oběžného kola v mm). Oběžné kolo je

tíciho momentu slouží řemenový převod, který umožňuje u každé velikosti ventilátoru získat široký rozsah vzduchotechnických parametrů. Napínání řemenu se provádí posunovacíky u elektromotoru. Řemenový pohon má ochranný kryt opatřený oranžovým nátěrem.

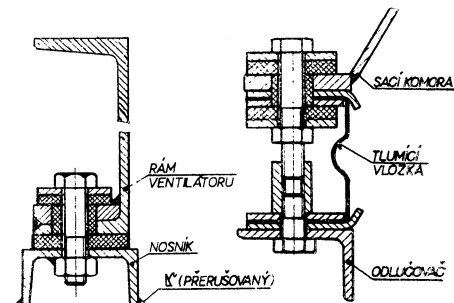
Ventilátory jsou určeny pro mokré hladinové odlučovače a všude tam, kde svými parametry vyhovují. Mohou doprovázet čistou vzdušinu do teploty  $+100^{\circ}\text{C}$  s maximální vlhkostí. Teplota okolí ventilátoru může být v rozmezí  $-15^{\circ}$  až  $+40^{\circ}\text{C}$ .



Obr. 1. Radiální středotlaký ventilátor RSF (1 — oběžné kolo, 2 — spirální skříň, 3 — sací komora, 4 — hřídel, 5 — ložisková skříň, 6 — řemenice, 7 — klínové řemeny, 8 — elektromotor, 9 — posuvováky, 10 — stolička, 11 — rám, 12 — nosníky, 13 — kryt řemenu, 14 — tlumící vložky).

nasazeno letmo na hřídeli uloženém ve dvou valivých ložiskách zabudovaných v ložiskové skříni. Rotor s ložisky je uložen na litinové stoličce, která zaručuje tuhý základ a snižuje chvění. Spirální skříň je z plechu třídy 11 svařované konstrukce opatřená otvorem a víkem pro kontrolu oběžného kola. Skříň umožňuje připevnění sací komory a připevnění na výtláčné potrubí přes tlumící vložky. Rám ventilátoru je od nosníků izolován pryží. Detaily spojení ventilátoru jsou uvedeny na obr. 2.

Elektromotor pro pohon ventilátoru je umístěn na společném rámě. K přenosu krou-



Obr. 2. Detaily pružného spojení ventilátoru RSF s odlučovačem.

### Technické parametry

Projektant určuje přiřazení ventilátoru k odlučovači podle určitých podmínek v provozu. Vychází z celkových charakteristik ventilátorů RSF 400, 630 a 1000 (obr. 3). Podrobné charakteristiky udávají navíc účinnost a křivky výkonu elektromotorů v závislosti na průtoku a celkovém tlaku ventilátoru při měrné hmotnosti  $\rho = 1,2 \text{ kg} \cdot \text{m}^{-3}$  (vzduch  $+20^{\circ}\text{C}$ ) viz obr. 4. Při jiné měrné hmotnosti platí vztah:

$$\Delta p_{\text{cv}} = \Delta p_{\text{cv}} \frac{\rho_1}{1,2}.$$

Minimální výkon motoru:

$$P_m = k \cdot \frac{Q \cdot \Delta p_{\text{cv}}}{1000 \cdot \eta_{\text{cv}}}$$

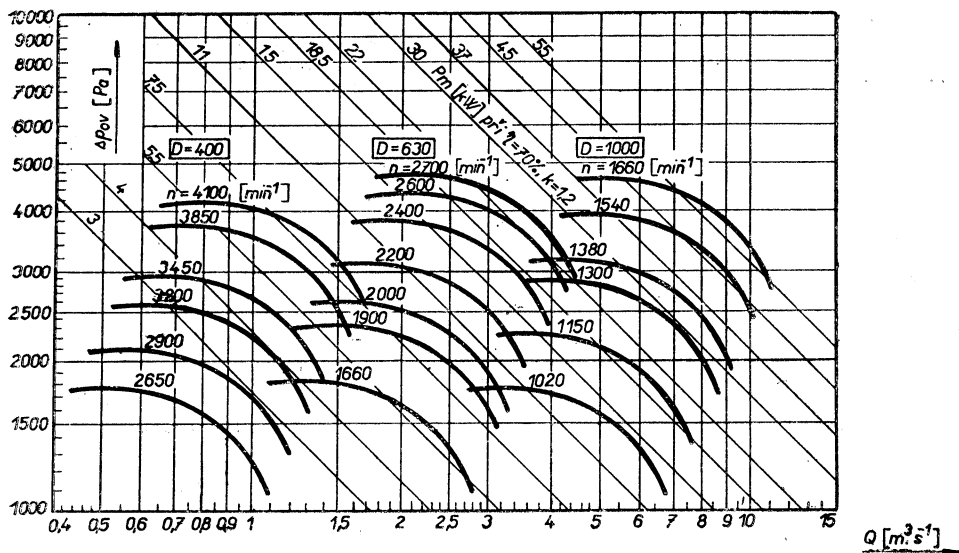
$P_m$  — potřebný výkon motoru [kW],

$Q$  — průtok vzdušiny [ $\text{m}^3 \cdot \text{s}^{-1}$ ],

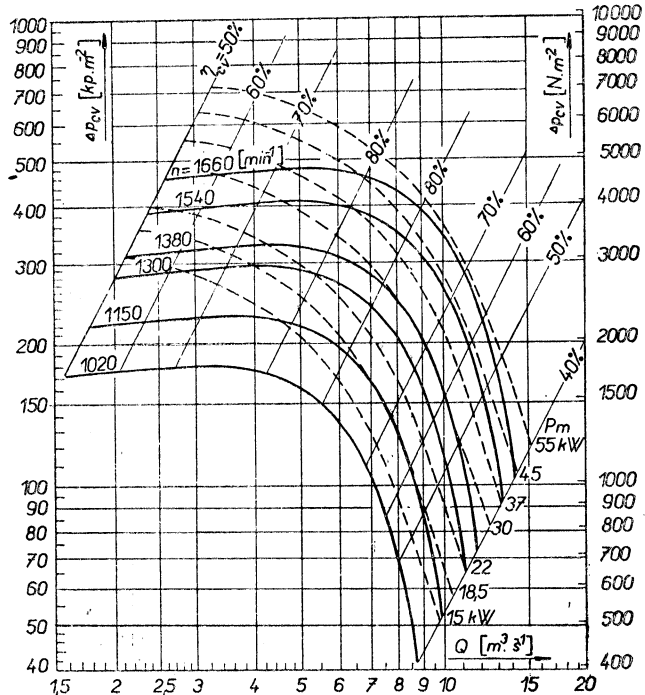
$\Delta p_{\text{cv}}$  — celkový tlak ventilátoru [Pa],

$\eta_{\text{cv}}$  — celková účinnost ventilátoru podle charakteristiky,

$k$  — rozbehový součinitel.



Obr. 3. Charakteristiky ventilátorů RSF 400, 630 a 1000.



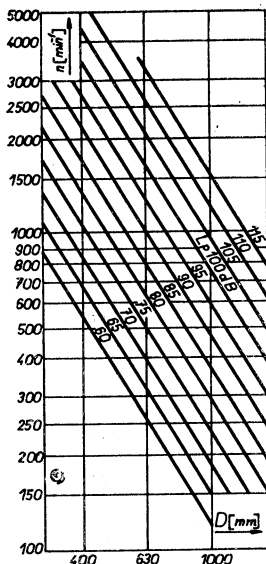
Obr. 4. Detailní charakteristika RSF 1000.

Rozběhový součinitel  $k$ :

Velikost ventilátoru	400	630	1000
$k$	1,4	1,3	1,2

### Hlučnost

Celková hladina akustického výkonu ventilátoru v bodě nejvyšší účinnosti  $L_p$  přecházející do sacího nebo výtlacného potrubí je uvedena na obr. 5 a určuje se podle velikosti ventilátoru.



Obr. 5. Celková hladina akustického výkonu ventilátorů RSF v bodě maximální účinnosti v dB při referenčním akustickém výkonu  $10^{-12} \text{ W}$  a  $\varrho = 1,2 \text{ kg} \cdot \text{m}^{-3}$ .

Celková hladina akustického výkonu  $L_{pc}$  pro danou charakteristiku ventilátoru je různá podle polohy provozního bodu. V závislosti na průtoku podle obr. 6 platí, že:

$$L_{pc} = L_p + \Delta L_p \quad [\text{dB}].$$

Hladina akustického výkonu v oktávových pásmech

$$L_{pp} = L_{pc} - L_{pr} \quad [\text{dB}].$$

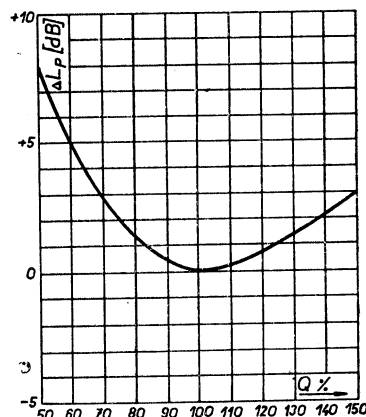
$L_{pr}$  — relativní hladiny akustického výkonu v oktávových pásmech.  $L_{pr}$  pro rozsah otáček viz obr. 7.

Ve vzdálenosti 1 m od obrysu ventilátoru je celková hladina akustického tlaku při pripojeném sání a výtlaku rovna:

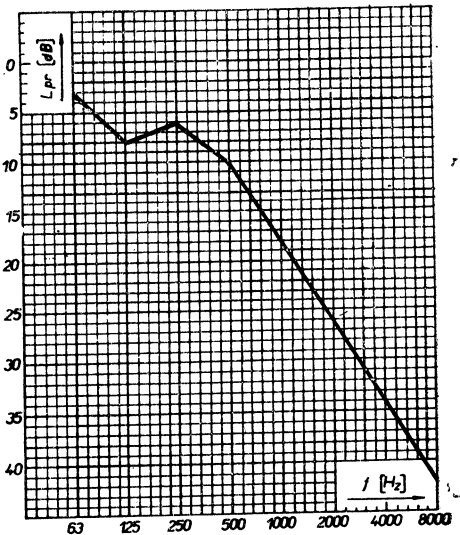
$$L_{d1} = L_{pc} - 18 \quad [\text{dB}].$$

1 m od otevřeného sání při pripojeném výtlaku je celková hladina akustického tlaku přibližně:

$$L_{d1} = L_{pc} - 15 \quad [\text{dB}].$$



Obr. 6. Změna celkové hladiny akustického výkonu pro různý průtok. Průtok při maximální účinnosti je roven 100 %.



Obr. 7. Relativní hladiny akustického výkonu ventilátorů RSF v oktávových pásmech pro otáčky v rozsahu  $1000—2000 \text{ min}^{-1}$ .

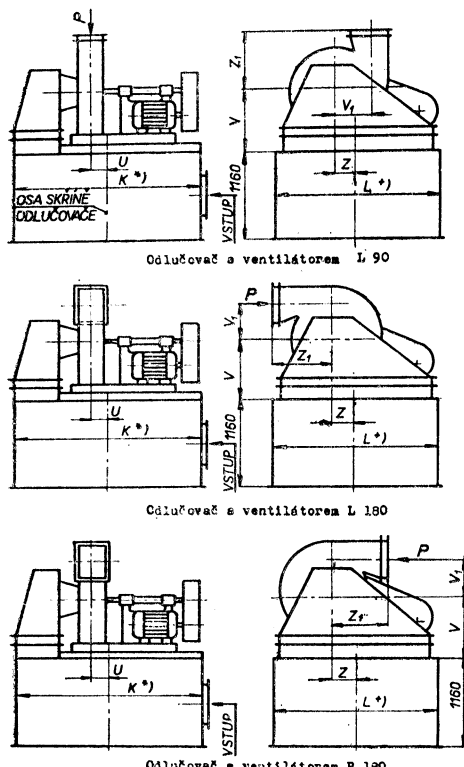
Má-li vzdušina jinou měrnou hmotnost  $\rho_1$ , pak celková hladina akustického výkonu bude:

$$L_{pc1} = L_{pc} + 20 \cdot \log \frac{\rho_1}{1,2} \quad [\text{dB}].$$

Jestliže takto stanovené hodnoty hlučnosti ventilátoru přesahnu nejvyšší přípustné hodnoty podle hygienických předpisů (pro dané prostory) musí být navržena vhodná doplňková zařízení, např. tlumiče hluku, hluková izolace apod. Tato zařízení za účelem snížení hluku řeší příslušné projektové pracoviště nebo se uplatní požadavek u n. p., Stavební izolace Kolín.

### Materiál, provedení, povrchová úprava

Ventilátory *RSF* jsou vyrobeny převážně z plechu a profilového materiálu tř. 11 — konstrukční oceli. Ze sedě litiny nebo ocelolitiny jsou zhotoveny náboje oběžných kol, skříňky ložisek, řemenice a stolička ventilátoru. Vzájemné spojení plechů a profilového materiálu je svařováním. Polohy spirální



Obr. 8. Různá uspořádání ventilátoru s odlučovačem.

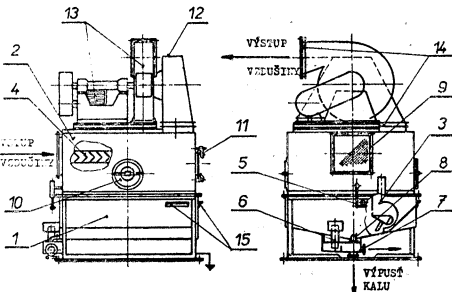
skříně jsou *L 90*, *L 180* a *P 180* (obr. 8), přičemž poloha elektromotoru je stále stejná *P* (motor vpravo při pohledu ze strany sání). Nátěr ventilátorů je uvnitř základní  $2 \times O 2106$  a vrchní  $2 \times O 2302$ , vně je nátěr základní  $1 \times S 2003$  a vrchní  $2 \times S 2013$ . S každým ventilátorem je dodávána rezervní 1 sada klínových řemenů.

### Montáž

Pro montáž, provoz a údržbu je nezbytné dodržovat předpisy stanovené výrobcem tak, aby byl zaručen spolehlivý, hospodárný a bezpečný provoz ventilátoru. Montáž musí být provedena odborně. Doporučuje se, aby montáž prováděla montážní organizace ZVVZ. Nejprve je třeba zkontrolovat, zda ventilátor není poškozen dopravou nebo nevhodným skladováním a případné závady se odstraní. Je nezbytné zaměřit pozornost na všechny šroubové spoje, hlavně u rotujících částí, připevnění ochranných krytů, vůli v zámku mezi oběžným kolem a sacím ústím, hladinu oleje v ložiskové skříně atd. Ventilátory se montují na horní část mokrých hladinových odlučovačů tak, že po vyrovnání a propojení ventilátoru se nosníky, na kterých je uložen rám, přiváží. Kontrola elektromotoru, jeho připojení na síť a provedení elektroinstalace musí provádět odborník podle platných předpisů a norm.

### Užití

Ventilátory *RSF* se používají u mokrých hladinových odlučovačů *MHE* (obr. 9) určených

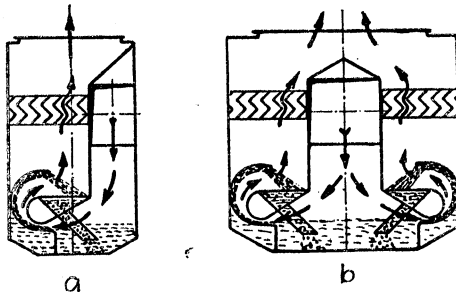


Obr. 9. Mokrý hladinový odlučovač *MHE* (1 — vodní nádrž s nosnou konstrukcí, 2 — horní skříň, 3 — odlučovační štěrbina, 4 — eliminátor kapek, 5 — rozvod tlakové vody, 6 — sifonová komůrka, 7 — žlab kalové vody s výstupním hrdelem, 8 — výpust kalu se šoupátkem, 9 — ochranná mříž, 10 — průlez, 11 — dvířka k eliminátorům, 12 — sací komora, 13 — radiální ventilátor s elektromotorem, 14 — tlumící vložky, 15 — lišta pro vodováhu).

ných k čistění vzdušin s koncentrací prachu do  $50 \text{ g} \cdot \text{m}^{-3}$ . Odlučovače jsou určeny pro začichování prachu ve slévárnách, hutích, keramických provozech, úpravnách uhlí atd. Jsou vhodné všude tam, kde je možno zajistit centrální kalové hospodářství.

Odlučovače MHE mohou být zařazeny pouze do podtlakové části vzduchotechnického zařízení s maximálním podtlakem 5000 Pa. Odlučovaný prach nesmí silně lepit, pěnit nebo chemicky reagovat.

Z odsávacího potrubí do odlučovače vstupuje znečistěná vzdušina (obr. 9 a 10) přes ochrannou mříž vstupní komorou k odlučovací štěrbině (štěbinám). Prach obsažený ve vzdušině se zachytí ve vodním filtru, který tvoří voda stržená vzdušinou do odlučovací štěrbiny.



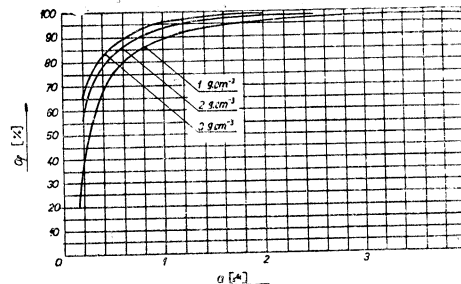
Obr. 10. Průchod vzdušiny odlučovačem MHE (a — velikosti 1 a 2, b — velikosti 3 až 6).

Odloučený prach vytéká ve formě kalu sifonovou komrkou z odlučovače.

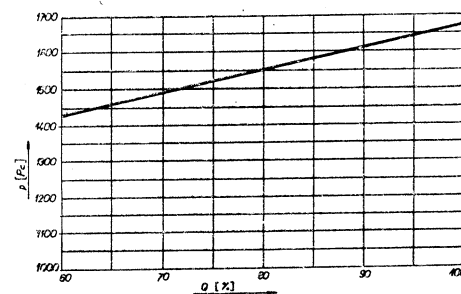
Vzdušina bez prachu vystupuje se strženými kapkami ze štěrbiny do eliminátorů, kde je zbavena vodních kapk a dále do ventilátoru. Hladina vody v odlučovači musí být za provozu udržována na určité výši — v malém rozmezí. To je zajištěno přepadem v sifonové komrkce, odkud kalová voda teče do kalového hospodářství nebo k dalšímu technologickému zpracování.

Frakční odlučivost při dynamické vaznosti vzdušiny  $\eta = 18,2 \cdot 10^{-6} \text{ N} \cdot \text{sm}^{-2}$  a měrné hmotě  $\varrho = 1 \text{ až } 3 \text{ g} \cdot \text{cm}^{-3}$  je uvedena na obr. 11. Údaje platí při průtoku vzdušiny v rozmezí 60 až 100 % jmenovitého průtoku.

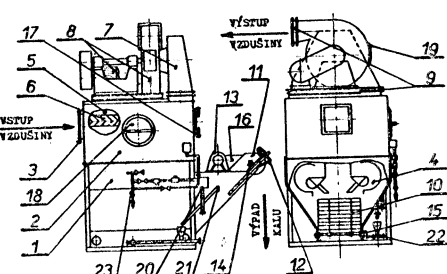
Celkový tlakový spád odlučovače, tj. rozdíl statických tlaků mezi vstupní a výstupní přírubou odlučovače udává obr. 12. Při nižším množství, menším než 60 %, nastává nepravidelné a nedostatečné strhávání vody od odlučovací štěrbiny, které snižuje odlučivost. Při vyšším množství než je jmenovité, je strhávána voda až k ventilátoru.



Obr. 11. Závislost frakční odlučivosti na průtoku.



Obr. 12. Celkový tlakový spád odlučovače v závislosti na průtoku.



Obr. 13. Mokrý hladinový odlučovač MHG s vyhrobavacím kalu (1 — vodní nádrž s rámem, 2 — horní skřín, 3 — vstupní komora, 4 — odlučovací štěrbina, 5 — výstupní komora, 6 — eliminátor kapek, 7 — sací komora, 8 — ventilátor s elektromotorem, 9 — tlumící vložky, 10 — vyhrobavací ústrojí, 11 — kryt vyhrobavacího ústrojí, 12 — stírací ústrojí, 13 — převodovka s elektromotorem, 14 — hnací hřídel, 15 — vodicí trubka, 16 — řetěz pohonu s krytem, 17 — dvířka k eliminátorům, 18 — kontrolní dvířka, 19 — revizní víko, 20 — sifonová komrka, 21 — havarijní přepad, 22 — vypouštěcí kohout, 23 — vodoinstalace).

Tam, kde není vybudováno centrální kalové hospodářství, se používají mokré hladinové odlučovače *MHG* s vyhrabovačem (obr. 13).

Vstup vzdušiny od odlučovače může být buď nad vyhrabovačem nebo na protější straně vyhrabovače. Odlučovače *MHG* s ventilátory *RSF* tvoří samostatnou odlučovací jednotku. Výstupní příruba ventilátoru je nastavena na úhel  $L\ 90$ ,  $L\ 180$  nebo  $P\ 180$ .

Princip odloučení prachu a způsob použití odlučovačů *MHG* je obdobný jako u odlučovačů *MHE* s tím, že odloučený prach, který klesl ke dnu, je vynášen vyhrabovacím ústrojím odlučovače z prostoru vodní nádrže.

Odlučovače *MHE* a *MHG* spolu s ventilátory *RSF* projektuje a dodává n. p. ZVVZ Milevsko.

Ing. Slavomil Novotný

## Měření a regulace ve vytápění

Ing. J. Cikhart, CSc.

Kniha je určena především pracovníkům se středním odborným vzděláním, kteří se zabývají navrhováním, stavbou a provozem tepelných sítí, předávacích stanic a otopných soustav. Jejím účelem je poskytnout pracovníkům a zájemcům v oboru vytápění základní přehled o možnosti použití a vlastnostech přístrojů měřících a regulačních techniky při zásobování teplem z ústředních zdrojů. Autorem zámeřem tedy nebylo hlouběji se zabývat teorii měření nebo regulace.

Publikace je rozdělena na dva samostatné oddíly — měření a regulace a automatizace. V oddíle měření se autor nejprve zabývá obecnými základy měření, názvoslovím a rozdělením měřicích přístrojů. Pojednává o fyzikálních základech měření, o volbě jednotek, popisuje druhy a základní vlastnosti chyb měření a zabývá se poměrně podrobně i náhodnými chybami veličin měřených přímo i vypočítaných hodnot. Pak se autor soustředí na měřicí přístroje, a to především na jejich podstatu a rozdělení a základní statické i dynamické vlastnosti těchto přístrojů.

Další kapitola se zabývá měřením tlaku. Postupně je v ní pojednáno o základních pojmech při měření, o jednotkách tlaku a především o přístrojích na měření tlaku. Autor se postupně soustředí na kapalinové (hydrostatické) tlakoměry, tlakoměry se silovým účinkem, deformační tlakoměry, elektrické a jiné speciální tlakoměry i na připojování tlakoměrů a způsob odběru tlaku.

V následující kapitole autor popisuje měření teploty. Opět nejdříve vypočítává základní jednotky a pojmy a pak se zabývá přístroji na měření teploty, které dělí na dotykové a bezdotykové. Kapitola „měření hladiny“ se postupně zabývá průhledovými vodoznaky (vodoznakové trubice) a plovákovými, hydrostatickými, pneumatickými, elektrickými a izotopovými stavoznaky.

Další kapitola pojednává o měření průtoku

a množství tekutin. Autor v ní popisuje objemová měřidla s přerušovanou i nepřerušovanou činností, rychlostní měřidla, tj. rychlostní sondy, žhavené anemometry a lopatkové anemometry a vodní křídla. Dále se autor soustředí na průřezová měřidla, velmi podrobně uvádí základní výpočtové vztahy a pojednává i o plovákových průtokoměrech.

V kapitole měření spotřeby tepla se autor nejprve zabývá nejdůležitějšími problémy při měření bytové spotřeby tepla a pak popisuje měřicí kalorimetrické, které dělí na mechanické, elektrické a měřicí s konstrukcí založenou na měření kondenzátoru, a měřicí rozdělení tepla (proporcionalní měřidla), které zase rozděluje na měřicí termočlánkové a odpárovací, na měřicí rozdělení Topart, měřicí na principu únavy a na měřicí tepla Calom. Je zde rovněž pojednáno o zjednodušení kalorimetrické metod měření tepla a o úloze tarifních opatření při použití proporcionalních měřicí.

Následující kapitola pojednává o měření vlastností tepelných izolací a autor v ní postupně popisuje charakteristické vlastnosti tepelných izolací, měření tepelné vodivosti izolace, a to jak laboratorní měření za ustáleného i neustáleného stavu, tak i provozní měření.

V kapitole analýza plynu se autor zabývá různými typy analyzátorů, tedy chemickými, elektrickými, magnetickými, infračervenými, polarografickými a chromatografickými. Poslední kapitola první části knihy popisuje měření vlastností vody a vodní páry. Pojednává o odběru vzorků, rozboru a kontrole různých vlastností vody, tedy tvrdosti, celkového množství solí, obsahu plynu a měření koncentrace vodíkových iontů (hodnoty pH) a konečně o kontrole vlastností technické páry, tedy čistoty páry a měření vlhkosti páry.

V úvodních kapitolách druhé části publikace se autor zabývá názvoslovím z oboru automatizace a regulační techniky a základy teorie regulace. Uvádí veličiny samočinné regulace, druhy regulace a signálů, popisuje regulační obvod a jeho členy, přenosy a charakteristiky lineárních regulačních obvodů a jejich členů.

s konstantními parametry a soustřeďuje se na regulátor, jeho části, regulovanou soustavu, regulační orgán, zpětnou vazbu a regulační pochod a jeho stabilitu. Zabývá se i volbou a optimálním seřízením regulátorů.

Následující kapitola pojednává o automatizačních prostředcích. Autor v ní postupně popisuje čidla a vysílače, tj. pneumatické a elektrické, řídící členy a obvody, tj. opět pneumatické a elektrické, ústřední členy, tedy regulátory spojité pneumatické, spojité elektrické, nespojité elektrické a spojité hydraulické, převodníky, tj. elektropneumatické, pneumatickoelektrické a nelineární pneumatické, a akční členy, tedy pohony pneumatické, elektrické a hydraulické.

V další kapitole se autor zabývá stroji na zpracování informací, tedy číslicovými, analogovými a hybridními počítači, jejich srovnáním a použitím. Kapitola regulace a automatizace v praxi vytápění nejprve pojednává o regulaci ústředních otopných soustav s domovními kotelnami, přičemž autor postupně podrobňuje soustavy s kotelnami na pevná, kapalná a plynná paliva, potom se zabývá regulací soustav centralizovaného zásobování teplem, soustav ohřevu užitkové vody, zabezpečovacím a signalizačním zařízením pro předčuvací stanice a otopné soustavy a ústředním teplárenským dispečinkem.

V poslední kapitole se autor soustřeďuje na prvky regulačních systémů v praxi ústředního vytápění a SCZT. Postupně popisuje čidla, regulátory, tj. regulátory teploty, tlaku a tlakové diferenze a průtokového množství, a akční orgány, tedy regulační ventily, regulovatelné směšovací ejektoru a regulátory odtoku kondenzátu (omezovače).

Knihu je doplněna velkým množstvím obrázků, fotografií a tabulek. Může rovněž sloužit jako pomůcka pro studující průmyslových i vysokých škol strojního směru.

Vydalo SNTL v roce 1974 v řadě strojírenské literatury, 364 stran, 321 obrázků, 20 tabulek, cena vázaného výtisku 42 Kčs.

### ● Aktivní uhlí

Ve vzduchotechnice k odstraňování zá-pachů se v rostoucí míře používá aktivního uhlí. V literatuře lze nalézt tabulky o jeho adsorpčních schopnostech na určité plyny a páry. Pro praxi jsou však výhodné údaje, které jsou na základě zkušeností odvozeny

pro konkrétní použití. Dvě z takovýchto tabulek uvádíme, samozřejmě s upozorněním, že se jedná o průměrné hodnoty, které třeba případně zkorigovat s ohledem na danou situaci.

Tab. 1. Potřeba aktivního uhlí pro místnosti

obytné místnosti	0,25 kg na rok a osobu
jídelny	0,125 kg
kuchyně	0,125 kg
koupelny, WC	0,125 kg
ložnice	0,07 kg
školy	0,6 kg
kanceláře	1,0 kg
nemocnice (na lůžko)	1,25 kg
místnosti pohostinství a pod.	2,0 kg

Tab. 2. Zátěž vzduchu pachovými látkami  
v místnostech

Místnost	Sku-pina	Místnost	Sku-pina
bary	C	letiště	A
divadla	B	nemocnice	C
drogerie	C	obchodní domy	B
expedice		obytné	
masa	D	místnosti	A
fotokomory	C	odpočívárny	C
hotely	B	posluchárny	B
kanceláře	B	prosektury	C
konferenční		restaurace	B
místnosti	C	sklady jablek	C
kosmetické		školy	C
salony	C	záchody veřejné	C
kuchyně	C	zvěřince	D

S 1 kg aktivního uhlí za rok může být vyčištěno ve skupině:

A — 125 m<sup>3</sup>, B — 50 m<sup>3</sup>, C — 18,5 m<sup>3</sup>,  
D — 6,5 m<sup>3</sup>.

(Ku)

**Gesundheits-Ingenieur 96 (1975), č. 5**

- Der Einfluss der Schadgas-Emissionen auf die Stadtatmosphäre (Vliv emisí škodlivých plynů na městskou atmosféru) — *Lahmann E.*, 121—126.
- Neue Grundlage für die Innenraumbeleuchtung durch Tageslicht (Nový základní poznatek pro vnitřní prostorové osvětlení denním světlem) — *Wegner J.*, 127—131.
- Aussenseitige Wärmedämmung und Wittringsschutz (Vnější tepelná izolace a ochrana proti povětrnostním vlivům) — *Künzel H.*, 132—139.
- Meteorologische, topographische und bau-technische Einflüsse auf den Regenabfluss in Kanalisationsnetzen (Meteorologické, topografické a stavebně technické vlivy na dešťový odtok do kanalizačních sítí) — *Pfeiff S.*, 140 až 142.

**Gesundheits-Ingenieur 96 (1975), č. 6**

- Wärmedämmung von Außenwänden und Schallschutz (Tepelná izolace vnějších stěn a ochrana proti zvuku) — *Gösele K., Kühn B.*, 149—155.
- Die Auswirkungen des urbanen Energieumsatzes auf das Stadtklima (Účinky městské přeměny energie na městské klimatické podmínky) — *Geiger B.*, 156—160, 165.
- Das Mitwirken der öffentlichen Gesundheitsdienste bei der Gestaltung der Wohnbereiche (Spolupůsobení veřejných zdravotních služeb při utváření obytných oblastí) — *Helfer O.*, 165—168.
- Haushaltsgroßesse und Wasserverbrauch (Velikost domácnosti a spotřeba vody) — *Asemann K., Wirth N.*, 169—170.

**Gesundheits-Ingenieur 96 (1975), č. 7/8**

- Berechnung der instationären thermischen Raumlast mittels eines Iterations-verfahrens (Výpočet nestacionární tepelné prostorové zátěže iterativní metodou) — *Zöllner G.*, 177 až 182.
- Berechnung der instationären thermischen Gebäudelast (Výpočet nestacionární tepelné zátěže budovy) — *Zöllner G.*, 183—184.
- Arbeitsklimatische Gesichtspunkte für Grossraumbüros (Pracovné klimatické podmínky pro velkoprostorové kanceláre) — *Roedler F.*, 184—189.
- Experimentelle Bestimmung des Induktionsverhältnisses von Induktionskonvektoren nach der Druck-Kompensationsmethode (Experimentální stanovení indukčního poměru in-

dukčních konvektorů podle tlakové kompenzační metody) — *Protz H.*, 190—192.

— Die Analyse akustischer Probleme in der Klimatechnik (Analýza akustických problémů v klimatizační technice) — *Masuch J.*, 192 až 194.

— Hintereinanderschaltung von Wärmeverbrauchern (Sériové zapojení tepelných spotřebičů) — *Nehring G.*, 194, 199.

— Verfahren zur Ermittlung des Speicher-verhaltens von Fußbodenheizungen (Způsob zjištování akumulačního chování podlahového vytápění) — *Lehmann J.*, 200—202.

— Stützweiten von Rohrleitungen (Vzdálenost podpěr potrubí) — 202.

— Richtlinien für den Bau und Betrieb von Schwimmbädern (Směrnice pro stavbu a provoz plaveckých bazénů) — *Ridle K.*, 203—211.

**Heating, piping, air conditioning, 47 (1975), č. 4**

— School mechanical design: concepts versus cost (Návrh strojního vybavení školy: koncepte versus náklady) — *Stubblefield R. S.*, 37—43.

— Heat pump system judged best for compact school (Systém tepelného čerpadla je nejvhodnější pro kompaktní školu) — *Ratai W. R.*, 44—48.

— Piping penetrations for nuclear power plants (Potrubní průniky pro jaderné elektrárny) — *Purdy D. C., Bacharier J., Berzak N.*, 49—55.

— Commercial and institutional buildings: replacement, modernization, upgrading (Obchodní budovy a budovy institucí: nahraď, modernizace, vzestup) — *Gamze M. G.*, 56 až 61.

— Replacement, modernization and upgrading existing industrial plants (Náhrada, modernizace a vzestup existujících průmyslových závodů) — *Smith O. F.*, 62—64.

— Nomograph calculates *U*-values for straight and coiled pipe (Výpočet *U*-hodnot pro rovné a vinuté trubky) — *Zanker A.*, 67—68.

— Trans-European pipelines link energy, cooperation (Transevropský plynovod znamená energii a spolupráci) — *Field A. A.*, 71—72, 74.

**Heating, piping, air conditioning, 47 (1975), č. 5**

— Proven ways to save energy in commercial buildings (Cesty k úspoře energie v obchodních budovách) — *Imperatore T.*, 48—53.

- Proven ways to save energy in institutional buildings (Cesty k úspoře energie v budovách institucí) — *Kegel R. A.*, 54—57.
- Proven ways to save energy in industrial plants (Cesty k úspoře energie v průmyslových závodech) — *Robinson K. E.*, 58—63.
- Hotel upgraded with fan-coil units (Hotel vybavený vytápěcími a větracími jednotkami) — *Marino M. A.*, 64—66.
- What is energy? (Co je energie?) — *Coad W. J.*, 67.
- Temperature measurement: the state of the art (Měření teploty — současný stav) — *Field A. A.*, 73—74, 76—79.
- Evaporative cooling (Odpařovací chlazení) — *Pannkoke T.*, 81—86.

### **Heizung, Lüftung, Haustechnik 26 (1975), č. 7**

- Regelung von Ventilatoren in grossen lüftungstechnischen Anlagen (Regulace ventilátorů ve velkých vzduchotechnických zařízeních) — *Rákóczy T.*, 244—248.
- Kältemaschinen mit Turboverdichtern. Teil 1: Aufbau und Funktion (Chladicí stroje s turbokompresory. Část 1.: Konstrukce a funkce) — *Hartmann K.*, 249—252.
- Hygienische Aspekte der Luftfeuchtung in Klimaanlagen (Zvlhčování vzduchu v klimatizačních zařízeních z hlediska hygienického) — 252.
- Informationsliste für die Zentrale Leittechnik (Výkaz informací pro ústřední řídící techniku) — *Hadré E.*, 253—256.
- Sonnenwand für Gebäudeheizung — ein Beitrag zur Energieeinsparung in Grossbritannien (Sluneční stěna pro vytápění budov — příspěvek k úspoře energie ve Velké Británii) — *Davies M. G.*, 257—260.
- Regelung und Überwachung von Klimaanlagen für die zentrale Datenverarbeitung (Regulace a kontrola klimatizačních zařízení pro ústřední výpočetní středisko) — *Eggert W.*, 261—263.
- Einfluss von Wärmespeichervorgängen in Aussenbauteilen auf die Kühllast von Warenhäusern (Vliv postupu akumulace tepla ve vnějších stavebních dílech na chladicí zátěž obchodních domů) — *Schramek E. R.*, 264 až 273.

### **Klima- Kälte-Technik 17 (1975), č. 4**

- ish 1975: Die Klimabranche war zufrieden (Mezinárodní výstava zdravotní techniky a vytápění v r. 1975: Obor klimatizace byl uspokojivý) — 85—86,
- Wärmepumpen mit Turbokältemaschinen in Kaskaden-Schaltung (Tepelná čerpadla

- s chladicími turbostroji v kaskádovém zapojení) — *Hartmann K.*, 88—92.
- Die Planung einer „zentralen Luftkühlstation“ für ein Hochhaus (Schluss) (Plánování ústředního chladicího zařízení vzduchu pro výškový dům. Závěr) — *Müller A.*, 92, 95 až 97.
- Klima-Konvektoren im Krankenhaus (Klimatizační konvektory v nemocnici) — 100
- Regelung von Klimaanlagen mit direkter Verdampfung (Regulace klimatizačních zařízení s přímým odpařováním) — 104.

### **Klima- Kälte-Technik 17 (1975), č. 5**

- Klimatechnik und künftige Energieversorgung (Klimatizační technika a budoucí zásobování energií) — 110.
- Wasserbehandlung in Kälte- und Klimaanlagen (Úprava vody v chladicích a klimatizačních zařízeních) — *Scharmann R.*, 112 až 116.
- Luftverhältnisse in einem Operationssaal mit vertikaler Kolbenströmung in Operationsfeld (Podíly vzduchu v operačním sále s vertikálním pístovým prouděním v operačním poli) — *Neugart H.*, 116, 118—120.
- Klima- und Kältetechnik auf der ish '75 (Klimatizační a chladicí technika na mezinárodní výstavě zdravotní techniky a vytápění v r. 1975) — 126—128.

### **Klima- Kälte-Technik 17 (1975), č. 6**

- Hygienetechnologische Gesichtspunkte bei der Planung und Überwachung von Klimaanlage für Räume mit besonderen Reinheitsanforderungen (Hygienicko-technologická hlediska při navrhování a kontrolovaní klimatizačních zařízení pro místo se zvláštními požadavky na čistotu) — *Krüger D., Melchert H.*, 137—144.
- Strahlgesetze und Raumströmung (Zákony vyzařování a prostorové proudění) — *Regenscheit B.*, 147—149.
- Klima- und Kältetechnik auf der ish '75 (Klimatizační a chladicí technika na mezinárodní výstavě zdravotní a vytápěcí techniky 1975) — 150, 152.

### **Light and Lighting 68 (1975), č. 3/4 March—April**

- Edinburgh Castle (Osvícení zámku v E.) — *Harris J. B., Jackson M. G. A., McDougall A. D.*, 50—53.
- GLC Country Hall Island Block (Osvětlení administrativní budovy) — 54—57.

— Modular courses in lighting: some specimen examination questions and answers (Modulový systém v osvětlování: několik příkladů zkoušebních otázek a odpovědí — pokrač.) — *Pickup J. F., Farrell M. J.*, 67—69.

— Solar energy and environmental design (Sluneční energie a návrh prostředí) — *Szokolay S. V.*, 70—73.

— Trends in education for environmental design (Vývojové směry ve výchově pro navrhování prostředí) — 73.

— Art Galery of Ontario, Toronto (Galerie umění v O.) — 74—75.

— Development of a lighting system (Vývoj osvětlovací soustavy — kazety) — *Wood-Robinson M.*, 76—77.

### Lichttechnik 27 (1975), č. 3

— Die Beleuchtung rund ums Wohnhaus (Osvětlení v okolí domu) — *Schnetger H.*, 81—84.

— Größtes Einrichtungshaus Europas allelektrisch versorgt (Největší obchodní dům s bytovým zařízením v Evropě je zcela elektrizovaný) — *Kurzemann L.*, 85—86.

— Kaltes Licht für weissen Sport (Umělé osvětlení hokejových hal) — *Abitzsch P. H.*, 89, 90.

— Sicherer Fahren durch Hamburger Elbtunnel (Bezpečná jízda hamburským tunelem pod Labem) — 97.

— Erstmals auf den Strassen Europas (Svítící dělící čáry použity prvně na vjezdech do hamburského tunelu) — 98—99.

### Lighting design and application 5 (1975), č. 3

— Chestnut Hill Mall — shopping with a theatrical background (Obchodní středisko s divadelním sálem) — *Barr V.*, 6—9.

— Retrofit fluorescent lamps and maintenance benefits (Speciální zářivky a užitek údržby) — *Dickey F. A.*, 12—13.

— An architect's viewpoint (Architektovy záměry) — 14—15.

— Winners and sinners (Vítězové a poražení — přehled prací) — 22—27.

— How architects view electrical distribution (Jak se architekt dívá na el. instalaci) — *Padula C. H.*, 29—29.

— The fallacy of lighting energy conservation — a look at consumer usable fuels (Klamná úspora energie — pohled na využívání paliva) — *Southward K.*, 31—33.

### Lighting design and application 5 (1975), č. 4

— Landscape lighting from concealed sources (Venkovní osvětlení skrytými zdroji) — *LaGuise F. F.*, 6—10.

— Computerized methods for outdoor lighting design (Použití počítače pro venkovní osvětlení) — *Lewin I.*, 16—19.

— HPS for Washington, D.C. (Vysokotlaké sodíkové výbojky pro W.) — *Basaran S.*, 26—27.

— Low-wattage, low-voltage HPS lamps design and application (Nízkonapěťové vysokotlaké sodíkové výbojky o malém příkonu — návrhy a použití v praxi) — *Collins B. R., Smyser W. E., Suter J. T.*, 30—36.

— Specialized illumination systems for pedestrian crosswalks (Zvláštní osvětlovací soustava pro pěší komunikace) — *Janoff M. S., Charles J. W., Freedman M.*, 43—48.

### RAS — Rohr-Armatur-Sanitär-Heizung 30 (1975), č. 3

— Trend zu hochwertigen Sanitäramaturen wird weiter anhalten (Vývoj k dražším sanitárním armaturám má trvalou tendenci) — 129—130.

— Die Heizkörperindustrie — ökonomische Aspekte einer Branche (Ekonomická hlediska průmyslu topných těles) — *Läge F. K.*, 131 až 135.

— Wohnbad 75 (Příloha RAS o „obyvatelných koupelnách“ — sortiment výrobků a koncepte zřizování) — S 1 — S 70.

— Küchentechnik 2 — März 1975 (Příloha „Technika v kuchyni“) — K 46 — K 174.

— Küchennormung — muss das sein? (Je nutno v kuchyni normovat?) — *Flury S.* K 70, K 72 — K 74.

### RAS — Rohr-Armatur-Sanitär-Heizung 30 (1975), č. 4

— Streiflichter von der 8. ish (Přehledně z 8. ish) — 276—278.

— Die Bransche vertraut auf ihre Leistungsfähigkeit (Obor důvěruje svým schopnostem) — 278—285.

— Rohrfernleitungsbrücke aus Aluminium (Přemostění toku hliníkovou konstrukcí umožní položení dálkového potrubí) — 294.

— Zur Qualität wird verstärkter technischer Service kommen (Ke kvalitě přispěje účinný technický servis) — 298—300.

### Sanitär- und Heizungstechnik 40 (1975), č. 3

— Optimaler Ablauf der Ausbauarbeiten (Optimální čas pro dokončovací práce) — 99—100.

— Standard für Luxusbäder? (Podporují současné normy luxus v koupelnách) — 101.

- Kunststoff-Verrohrung in einem Mineral-Sole-Stadtbad (Použití trub z umělých hmot v městských halových lázních s minerální vodou) — *Zäsar J.*, 106—113.  
 — Vieles noch Theorie (V protikorozivní ochrané je ještě mnoho teorií) — *Genath B.*, 114—116.  
 — Schnelltemperierende Bade-Mischarmaturen (Rychle pracující koupelnové směšovací armatury) — *Thummernicht W.*, 117—118.  
 — Das Trinkwasser und sein Transportsystem Hausinstallation (Pitná voda jako médium v domovní instalaci) — *Werner G.*, 117—118.  
 — Zielvorstellung der Ingenieurausbildung im Fachgebiet Heizungs-, Klimate- und Sanitärtechnik (Nasměrování inženýrského vzdělání v oboru vytápění, klimatizace a zdravotní techniky) — *Doering E.*, 126—128.  
 — Erfahrungen im Hart- und Weichlöten von Kupferrohren mit grösseren Abmessungen (Zkušenosti s letováním měděných trub větších průřezů na měkkoo a na tvrdoo) — *Szederjei E.*, 129—131.  
 — Nasszellen aus Leichtbeton (Sanitární buňky z lehkého betonu) — 131.  
 — Viele Ansätze zur Rationalisierung (Mnoho úsilí pro racionalizaci — použití závitových trubek ve zdravotní technice) — *Beccard R. K.*, 132—135.  
 — Treffpunkt Frankfurt (Setkání na 8. ish ve Frankfurtu v březnu t. r.) — 136—138, 140, 142, 146, 148—149, 152, 154, 165, 158.

#### **Sanitär- und Heizungstechnik 40 (1975), č. 3 zvláštní číslo k 8. ish veletrhu 1975 ve Frankfurtu n. M.**

- Was geschieht mit Heizungsanlagen, die nicht mehr dem Bundes-Immissionsschutzgesetz entsprechen? (Co bude s otopnými zařízeními, která neodpovídají spolkovému zákonu na ochranu životního prostředí) — 166.  
 — Bauwettbewerb „Therma“ — Heizenergiesparen durch besseren Wärmeschutz (Soutěž s tématem na úspory energie lepší tepelnou ochranou) — 167—168.  
 — Der Verbrauch von Energie in Gebäuden-Messungen in zwei Wohnblocks (Spotřeba energií v budovách — výsledky měření ve dvou obytných blocích) — 170—171.  
 — Prinzip und Anwendungsbereich der Wärmeumpe (Princip a oblast použití tepelného čerpadla) — *Waterkotte K.*, 176—177.  
 — Kein Gewinn mit der Zentralversorgung (Ústřední zásobování teplou vodou neprináší žádný zisk) — *Hadenfeldt A.*, 178—185.  
 — Quo vadis Ingenii? (Koncepcie oboru vytápění) — *Eisenschink A.*, 186—189.  
 — Gute Erfahrungen mit Additiven und Feuerungszusätzen (Dobré zkušenosti s přísadami zvyšujícími hořlavost topných olejů) — *Murr J.*, 190—193.  
 — Noch manche Unklarheiten im Regelwerk (Ještě některé nejasnosti v regulaci při ohřívání užitkové vody) — *Mayr E.*, 194—201.  
 — Forschung in der Heizungs- und Bautechnik (Výzkumné práce v oboru vytápění a výstavby) — 202—204.  
 — Heizungs- und Lüftungs-Regelungstechnik [7] (Regulace ve vytápění a větrání — 7. pokrač.) — 205—208 pokrač.  
 — Treffpunkt Frankfurt (Setkání na 8. ish ve Frankfurtu v březnu t. r.) — 201—212, 214, 216, 128, 220, 222, 224, 226, 228, 230—232.

#### **Sanitär- und Heizungstechnik 40 (1975), č. 4**

- Wozu ist Brauchwasser zu gebrauchen? (K čemu se používá užitková voda?) — *Fleurich H.*, 242—243.  
 — An den Bedürfnissen des Marktes orientiert (Zaměření na požadavky trhu) — 244—248.  
 — Spar-Systeme (Úsporné soustavy na 8. ish) — 249—252,  
 — Brandschutzechnische Anforderungen an Lüftungsleitungen bei Abgasführung (Požárně technické požadavky na větrací potrubí pro odvod spalin) — *Weise E.*, 253—254.  
 — Chancen in der Fernwärme (Naděje v dálkovém vytápění) — 255—256.  
 — Realer Wasserverbrauch in Wohngebäuden (Reálná spotřeba vody v obytných budovách) — *Knoblauch H. J.*, *Bauer H. W.*, 157—160.  
 — Heizungs- und Lüftungs-Regelungstechnik [8] (Regulace ve vytápění a větrání — pokrač. 8) — 261—264, 266 pokrač.  
 — Serienmässige Stahlkessel für individuelle Wünsche (Sériové ocelové kotly pro individuální požadavky) — 270.  
 — Stahlabflussrohre als tragende Elemente (Ocelová odpadní potrubí nosnými prvky) — 272, 274.

#### **Schweizerische Blätter für Heizung + Lüftung 42 (1975), č. 2**

- Klimafenster (Klimatizační okno) — *Kostrz B.*, 20—21.  
 — Klimafassade SIS (Klimatizační povrch — fasáda „SIS“) — *Kostrz B.*, 21—23.  
 — Die SIS-Fassadenkonstruktion (Konstrukce fasády „SIS“) — *Emmer H.*, 23—25.  
 — Erfahrungen im Grossraum mit Klimafassade (Zkušenosti ve velké místnosti s klimatizační fasádou) — *Kalckreut H.*, 25—27.  
 — Das „KICON“-Klimafassaden-System (Systém klimatizačních fasád „KICON“) — *Schuchardt H. F.*, 27—32.





— Stickstoffoxide als phytotoxische Luftverunreinigungen (Kysličníky dusnaté jako fytoxicke znečištěniny vzduchu) — *MacLean D. C.*, 205—210.

### **Staub Reinhaltung der Luft 35 (1975), č. 6**

— Wasserlösliche Inhaltsstoffe und Mikroorganismen in Feinstaubfiltern von Klimaanlagen (Složky rozpustné ve vodě a mikroorganismy ve filtroch na nejjemnější prach u klimatizačních zařízení) — *Rüden H., Thofern E., Schmitz M.*, 215—219.

— Wirkungsprüfung eines Luftfiltergerätes bei Heufieberkranken — eine Doppelblindstudie. (Zkoušení účinnosti filtru na vzduch u nemocných alergických na seno — dvojí studie) — *Stresemann E., Oswald W. D., Dhonau H.*, 219—220.

— Die Aufladung von polydispersen Staubsystemen in einem, durch gleichgerichtete Spannung gespeisten, Plattenelektrofilter (Nabíjení polydisperzních prachových systémů v deskovém elektrickém odlučovači, napájeném usměrněným napětím) — *Böhm J.*, 220—226.

— Methoden zur Aerosolherstellung aus vorgegebenen Feststoffhaufwerken (Metody na výrobu aerosolů z tuhých narubaných hornin) — *Zahradníček A.*, 226—231.

— Systemanalyse Entschwefelungsverfahren (Systémové analytické odstraňovací způsoby) — 231—233.

— VGB-Konferenz „Kraftwerk und Umwelt 1975“ (VGB-konference „Elektrárna a životní prostředí 1975“) — 223—234.

— Eine Möglichkeit zur zeitkontinuierlichen Bestimmung von Verteilungsparametern an Aerosolen (Možnost časově plynulého stanovení parametrů rozdělení na aerosolech) — *Kraus F. J.*, 234—237.

— Erste Betriebserfahrungen mit einer Rauchgasentschwefelungsanlage nach dem Höller-Verfahren (První provozní zkoušení s odstraňovacím zařízením plynů podle Höllerova způsobu) — *Esche M., Hofmann F., Meyer W.*, 237—239.

### **Svetotechnika 44 (1975), č. 3**

— Rásčet effektívnych sily sveta svetilníkov dlja osvěščenija ulic i gorod (Výpočet optimálních izokandelových křivek svítidel pro osvětlování ulic) — *Žitova N. P., Ostrovskij M. A., Ponomarenko L. A.*, 2—5.

— O količestvennych pokazateľach nadežnosti svetilníkov (O kvalitatívnych ukazateľoch spôsobilosti svítidel) — *Zareckij V. I., Kotljarov L. K., Nestorovič I. I.*, 5—6.

— Charakteristiky lamp-svetilníkov s zamknutými difúzno propuskajúcimi pokrytiami (Provozní vlastnosti tzv. tvarovaných žárovek,

jež mají uvnitř rozptylující povlaky) — *Šindin M. A.*, 7—8.

— Metodika opredelenija trebovanij k jarkosti svetilníkov na osnove issledovanij diskomforta (Metodika určování požadavků na jas svítidel na základě výzkumu rušivého oslnění) — *Epanešnikov M. M., Undasynov G. N., Fedjukina G. V.*, 8—10.

— K voprosu o racionalnom ispolzovanii svetovogo potoka pri vyraščivani rassady na vertikalnykh kultivacionnykh ustrojstvach (K dotazu o racionalním využívání světelného toku při pěstování sazeniček na svislých kultivačních zařízeních) — *Šapovalov L. V.*, 16—17.

— O kačestve osvěščenija švejnych fabrik (Vlastnosti osvětlení v továrnách na konfekci) — *Voronkova S. V.*, 21—23.

— Opyt konstruirovaniya nestandardnykh ljustr na osnove ispolzovanija modulnyh sistem (Zkušenosti s konstruováním netypových lustrů pomocí modulových soustav) — *Lakin G. D.*, 23—25.

### **Svetotechnika 44 (1975), č. 4**

— Osveščenie restorana „Nevskij“ v Lenigrade (Osvětlení restaurace v L.) — *Volockoj N. V., Paškovskij R. I.*, 1—4.

— Vlijanie širiny granci meždu objektom i fonom na kontrastnuju čuvstvitelnost zrenija (Vliv šíře přechodového pásmá mezi objektem a pozadím na kontrastní citlivost vidění) — *Raskuzov V. I.*, 6—7.

— K voprosu sozdanija avtomatizirovannoj sistemy upravlenija naružnym osvěščeniem Leningrada (K dotazu o vytváření automatizovaného systému ovládání venkovního osvětlení v L.) — *Borozdin L. N., Klebanov L. D., Ševkopljasov P. M.*, 7—9.

— K voprosu o výbere optimalnych charakteristik svetomuzyklanych ustrojstv (K dotazu o volbě optimálních charakteristik zařízení pro světlo a hudbu) — *Melnikov L. N.*, 16—17.

— Ešče o roli sveta v architekture interera (Ještě o úloze světla v architektuře interiéru) — *Gusev N. M.*, 17—19.

— Svet i prostranstvo interera (Světlo a prostor interiéru) — *Kurbatov Ju. I.*, 19—21.

— O razrabotke „Otraslevych norm osvěščenosti pomeščenij zreliščnych zdanij“ (Rozpracování „Oborové normy pro osvětlování sálowych staveb“) — *Lachuti G. G., Smolko N. I.*, 24—26.

### **Vodosnabženie i sanitarnaja technika (1975), č. 5**

— Organizacija racional'nogo vozduchoobmena v bol'nicach povyšenoj etažnosti (Organizace racionální výměny vzduchu ve

vícepatrových nemocnicích) — *Konstantinova V. E., Sumbat'janc T. L.*, 18—22.

— Rasčet odnotrubnoj sistemy cholodosnabženja ežekcionnych dovodčikov (Výpočet jednopotrubního chladicího systému ejektorových konvektorů) — *Karpis V. E.*, 23—27.

— K voprosu primenění sistem otoplenija s estestvennoj cirkulacijej, nezavisimo pri soedinennych k centralizovanomu teplosnabženiju (Užití vytápěcích systémů s přirozenou cirkulací, nezávisle připojených na centrální rozvod tepla) — *Turkin V. P., Tyščenko Ju. D., Lapšin L. V.*, 28—29.

— Fil'tr tonkoj očistki dlja rozdači pritočnogo vozducha (Účinný filtr pro rozvod proudícího vzduchu) — *Nonezov R. G., Znamenskij R. B.*, 29—30.

— Vlijanie neravnomernosti vozdušnogo potoka na teplotechničeskie charakteristiky kamer orosenija central'nych kondicionerov (Vliv nerovnoměrnosti vzdūšného proudu na tepelně-technické charakteristiky vlhčících komor centrální klimatizace) — *Bjalyj B. I., Dincin V. A., Ščekin I. R., Vladimirov V. I.*, 35.

#### Vodosnabženie i sanitarnaja technika (1975), č. 6

— Issledovanie ciklonov bol'sogo diametra (Výzkum cyklónu o velkém průměru) — *Karpuchovič D. T.*, 15—17.

— Povyšenie nadēžnosti cirkulacii vody v sístemech gorjačego vodosnabženija (Zvýšení spolehlivosti cirkulace vody v systémech zásobování horkou vodou) — *Ždanov I. A.*, 18—19.

— Puti ulučenija vozdušno-teplovogo režima žilých zdanij (Cesty zlepšení teplovzdušného režimu v obytných budovách) — *Ivjanskij A. Z., Pavlinova I. B.*, 20—21.

— Otopitel'no-ventiljacionnyj agregat dlja predvižnyh i sborno-razbornych žilých domov Krajinego Severa (Vytápěcí a větrací agregát pro mobilní a montovaná obydli Dálného Severu) — *Kazancev I. A., Brodskij G. E.*, 22 až 24.

— Primeneie teplovych trub dlja sistem otoplenija (Užití teplosměnných trubek ve vytápěcích systémech) — *Chudenko A. A.*, 29—30.

Ztv  
6

Zdravotní technika a vzduchotechnika. Ročník 18, číslo 6, 1975. Vydává Česká vědeckotechnická společnost, komíté pro techniku prostředí, v Akademii, nakladatelství Československé akademie věd, Vodičkova 40, 112 29 Praha 1. Adresa redakce: Dvorecká 3, 147 00 Praha 4. — Tiskne Tisk, knižní výroba, n. p., 656 01 Brno, závod 1, — Vychází šestkrát ročně. Objednávky a předplatné příjemá PNS, admin. odbor. tisku, Jindřišská 14, 125 05 Praha 4. Lze také objednat u každého poštovního úřadu nebo doručovatele. Cena jednoho čísla Kčs 8,—, roční předplatné 48,—. (Tyto ceny jsou platné pouze pro Československo.)

Sole agents for all western countries with the exception of the German Federal Republic and West Berlin JOHN BENJAMINS B.V., Amsteldijk 44, Amsterdam (Z.), Holland. Orders from the G.F.R. and West Berlin should be sent to Kubon & Sagner, P.O.Box 68, 8000 München 34 or to any other subscription agency in the G.F.R.

Annual subscription: Vol. 18, 1975 (6 issues) Dutch Gld. 40,— (DM 40,—).  
Toto číslo vyšlo v prosinci 1975.

© Academia, Praha 1975.